

12



**UNIVERSIDAD NACIONAL AUTONOMA  
DE MEXICO**

**FACULTAD DE ESTUDIOS SUPERIORES  
CUAUTITLAN**

**SISTEMA PARA ORIENTACION ESPACIAL  
DE SENSORES AEROPORTADOS EN EL  
ESPACIO GEOGRAFICO**

**T E S I S**

**QUE PARA OBTENER EL TITULO DE  
INGENIERO MECANICO ELECTRICISTA**

**P R E S E N T A**

**MARCELO BASTIDA TAPIA**

**ASESOR: DR. RICARDO PERALTA Y FABI**

**CUAUTITLAN IZCALLI, EDO. DE MEXICO 2000**

*264227*



Universidad Nacional  
Autónoma de México



**UNAM – Dirección General de Bibliotecas**  
**Tesis Digitales**  
**Restricciones de uso**

**DERECHOS RESERVADOS ©**  
**PROHIBIDA SU REPRODUCCIÓN TOTAL O PARCIAL**

Todo el material contenido en esta tesis esta protegido por la Ley Federal del Derecho de Autor (LFDA) de los Estados Unidos Mexicanos (México).

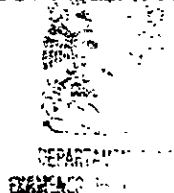
El uso de imágenes, fragmentos de videos, y demás material que sea objeto de protección de los derechos de autor, será exclusivamente para fines educativos e informativos y deberá citar la fuente donde la obtuvo mencionando el autor o autores. Cualquier uso distinto como el lucro, reproducción, edición o modificación, será perseguido y sancionado por el respectivo titular de los Derechos de Autor.



LIBERTAD NACIONAL  
JUSTITIA  
MEXICO

FACULTAD DE ESTUDIOS SUPERIORES CUAUTITLAN  
UNIDAD DE LA ADMINISTRACION ESCOLAR  
DEPARTAMENTO DE EXAMENES PROFESIONALES

C. N. A. M.  
FACULTAD DE ESTUDIOS  
SUPERIORES CUAUTITLAN  
ASUNTO: VOTOS APROBATORIOS



DR. JUAN ANTONIO MONTARAZ CRESPO  
DIRECTOR DE LA FES CUAUTITLAN  
PRESENTE

ATN: Q. Ma. del Carmen García Mijares  
Jefe del Departamento de Exámenes  
Profesionales de la FES Cuautitlán

Con base en el art. 28 del Reglamento General de Exámenes, nos permitimos comunicar a usted que revisamos la TESIS:

"Sistema para Orientación Espacial de Sensores Aeroportados en el  
Espacio Geográfico"

que presenta el pasante: Marcelo Bastida Tapia  
con número de cuenta: 9137737-5 para obtener el título de :  
Ingeniero Mecánico Electricista

Considerando que dicho trabajo reúne los requisitos necesarios para ser discutido en el EXAMEN PROFESIONAL correspondiente, otorgamos nuestro VOTO APROBATORIO.

ATENTAMENTE

"POR MI RAZA HABLARA EL ESPIRITU"

Cuautitlán Izcalli, Méx. a 30 de Junio de 2000

PRESIDENTE	<u>Ing. Ubaldo Ramírez Urizar</u>	
VOCAL	<u>Ing. Blanca de la Peña Valencia</u>	
SECRETARIO	<u>Dr. Ricardo Peralta y Fabi</u>	
PRIMER SUPLENTE	<u>Ing. Norma Reyes Cruz</u>	
SEGUNDO SUPLENTE	<u>Ing. Adriana Corina Sandoval García</u>	

---

***A Mis Padres***

***A mis Hermanos***

*Quienes siempre me han  
apoyado para seguir  
adelante.*

*A todas aquellas personas  
que contribuyeron a la  
realización de esta Tesis.*

---

---

---

# *Índice*

---

---

	<i>Índice.</i>
	Página.
<i>Índice</i>	II
<i>Índice de Imágenes</i>	IV
<i>Introducción.</i>	
El motivo de este trabajo.	VII
Descripción del contenido.	VII
<i>Capítulo 1.</i>	
<i>Descripción y aplicación del equipo empleado.</i>	
GPS	2
Giróscopo Vertical	7
Acelerómetros	9
Brújula electrónica	11
Microcontrolador MC68HC11	13
Microcomputadora	15
<i>Capítulo 2.</i>	
<i>Sistema Basado en el Microcontrolador</i>	
Digitalización de las señales	19
Procesamiento de las señales	25

**Capítulo 3.****Evaluación del Sistema.**

Sistema de adquisición de datos.

- \* Brújula electrónica. 30
- \* Giroscopio Vertical. 31
- \* Acelerómetros. 31

Digitalización de las señales. 36

Sistema del Microcontrolador y comunicación con la PC. 36

Análisis de Resultados y Corrección de Fallas. 40

**Capítulo 4.****Manejo y Mejoras del Aparato.**

El manejo. 43

Mejoras 46

**Conclusiones.** 49**Apéndices.**

A. Recomendaciones 52

B. Programas Usados. 54

C. Negativos de los circuitos. 82

D. Especificaciones de componentes. 87

**Bibliografía.** 108

*Índice de Imágenes.*

**Página.**

***Imágenes***

Esquema giro libre del giróscopo	7
Estructura interna del giróscopo	8
Circuito equivalente del acelerómetro piezoresistivo típico	10
Diagrama a bloques del módulo del acelerómetro	11
Diagrama a bloques de la brújula	12
Diagrama a bloques del Microcontrolador MCU MC68HC11	16
Circuito integrado con terminales MC68HC11F1	17
Circuito de amplificación para la señal de la brújula	21
Circuitos amplificadores usados para el giróscopo	22
Circuitos amplificadores usados para los acelerómetros	23
Convertidor Analógico Digital con circuito de reloj	24
Conexión común del cristal	25
Interfaz de comunicación serial (RS232)	26
Microcontrolador con circuitería para operación en modo simple	28
Sistema completo	39
Presentación del programa en pantalla (SOE)	41
Pantalla principal del programa SOE	44
Pantalla mostrando submenú GPS	45
Diagrama Circuito Eléctrico	83
Vista inferior del circuito	84



## *Índice de Imágenes.*

---

	Página.
Carátula frontal	85
Conectores de los dispositivos	85
Sistema de acoplo óptico para el giróscopo	85
Carátulas frontal y posterior, con especificaciones	86

## *Gráficas*

Voltaje & Orientación de la Brújula	32
Voltaje & Orientación de la Brújula con Amplificador	33
Voltaje & Inclinación del Alabeo del Giróscopo	34
Voltaje & Inclinación del Cabeceo del Giróscopo	35
Convertidor Analógico Digital	37

---

## *Introducción*

---

**Introducción.**

**El motivo de este trabajo.**

Dotar de orientación espacial a sensores aeroportados que deben localizar, registrar y clasificar objetos en el espacio geográfico. Además, lograr desarrollos propios en instalación aeroespacial y con aplicaciones en otros campos.

**Descripción del contenido.**

En el capítulo 1 se describen brevemente los dispositivos utilizados en el desarrollo del sistema, como trabajan y cual es su función..

En el capítulo 2 se hace una reseña detallada de la integración del sistema, incluyendo algunos comentarios sobre mejoras o inconvenientes que se hicieron evidentes durante su desarrollo.

En el capítulo 3, se muestran los análisis realizados al sistema, que permitieron la evaluación del funcionamiento y desempeño, para mejor servir en su aplicación.

En el capítulo 4 se describe la forma en que el sistema puede ser utilizado y las posibles modificaciones que se pueden realizar, así como algunas mejoras que amplíen su uso previsto.

Al final se encuentran las conclusiones, recomendaciones y los apéndices, en los cuales se presenta la información necesaria para desarrollar y/o modificar este sistema, de acuerdo a las necesidades futuras.

---

## ***Capítulo 1***

### ***Descripción y aplicación del equipo empleado***

---

**Capítulo 1.**

***Descripción y aplicación del equipo empleado.***

Para el desarrollo del subsistema se requiere del uso de diferentes dispositivos, tales como el GPS (receptor para localizarse en el espacio geográfico), una brújula electrónica, un giróscopo vertical, varios acelerómetros, un microcontrolador y una microcomputadora o computadora personal (PC). En este capítulo se dará una breve descripción de cada uno de estos dispositivos así como la forma en la que funcionan.

***GPS***

El sistema GPS o Sistema de Posicionamiento Global, nació en los EUA y la URSS con el objetivo de mejorar anteriores sistemas militares de satélites de navegación, y es además utilizado en técnicas geodésicas en todo el mundo. De esta forma se pretendía conseguir una navegación en tiempo real, precisa y de forma continua en tierra, mar o aire (incluso en órbita), sin importar las condiciones meteorológicas y bajo un sistema unificado de cobertura global con precisiones de unos pocos metros en coordenadas geográficas.

Una vez funcionando el sistema, sus enormes aplicaciones no pasaron desapercibidas al sector científico, que aprovechando que se obtiene un posicionamiento en tiempo real de precisión, inicio su utilización y subsecuente divulgación entre la comunidad comercial.

El Sistema de posicionamiento global está constituido por tres segmentos claramente diferenciados:

## *Capítulo 1.*

---

### *Segmento espacial.*

Comprende hasta hoy dos constelaciones de satélites denominadas NAVSTAR o GLONASS (nombre que designa al conjunto y tipo de los satélites utilizados por EU y Rusia, respectivamente). Cada constelación está formada por cerca de 24 Satélites, de los cuales cuando menos 4 están en línea de vista al mismo tiempo, a cualquier hora del día y desde cualquier punto de la superficie terrestre. En un caso, por ejemplo, los satélites se distribuyen en 6 órbitas circulares con una inclinación de 55° respecto al plano ecuatorial terrestre y 60° con respecto a las órbitas adyacentes, a una altitud aproximada de 20,200 Km., lo cual resulta en un periodo orbital cada 12 horas.

### *Segmento de control.*

Está constituido por cinco estaciones de control repartidas alrededor del mundo y con coordenadas muy precisas. Todas ellas reciben continuamente las señales GPS con receptores de 2 frecuencias y provistos de osciladores de cesio. También se registran de forma precisa, otra serie de parámetros como presión y temperatura que afectan de manera importante a la propagación de la información que se recibe de los satélites.

Los datos se transmiten a una estación principal para EU, situada en Colorado Springs, en donde se procesa la información, obteniendo de esta manera todas las posiciones de los satélites en sus órbitas (sus efemérides) y los estados de los relojes, de la más alta precisión que llevan cada uno de ellos, para que con posterioridad los mismos satélites radiodifundan dicha información a los usuarios; haciendo posible localizar, geográficamente al receptor con base en triangulación.

### *Segmento utilitario.*

Está formado por todos los equipos utilizados para la recepción de las señales emitidas por los satélites, así como por el programa necesario para la comunicación del receptor con el ordenador y el procesado de la información para la obtención de los resultados.

## *Capítulo 1.*

---

Podemos considerar el "equipo GPS" compuesto por tres unidades principales: receptor, antena y accesorios.

La antena es el elemento al cual viene referido el posicionamiento, se conecta a través de un preamplificador al receptor, directamente o mediante cable. La función de la antena es la de conversión de energía electromagnética en corriente eléctrica que es conducida al receptor.

El receptor consta de una serie de elementos que se encargan de la recepción de las radiofrecuencias enviadas por los satélites. Además cuentan con diferentes canales para recibir simultáneamente la señal de varios satélites; un procesador interno con su correspondiente apoyo lógico; una unidad de memoria para el almacenamiento de información; teclado de control; pantalla de comunicación con el usuario, diferentes conectores para funciones varias y una fuente de alimentación, interna o externa.

Por último, también pueden emplearse accesorios como: tripodes, cables especiales, equipos de control meteorológico y diverso material auxiliar.

### *Obtención de la información.*

Una vez estacionados en el punto requerido y con el equipo en funcionamiento, el receptor proporciona al operador, a través de la pantalla y con ayuda del teclado, una gran cantidad de información sobre la recepción que estamos realizando, tal como:

- Número y nombre de los satélites localizados.
- Satélites en seguimiento.
- Acimut de cada satélite en seguimiento.
- Elevación de cada satélite en seguimiento.
- La posición aproximada actual del receptor. (Longitud, latitud y altitud).
- Dirección y velocidad del movimiento, para navegación.
- Bondad de la geometría de observación

- Bondad de la medida que puede hacerse sobre cada satélite.
- Edad o antigüedad de la información ofrecida.
- Progreso de la observación: satélites que se pierden y captan, y número de observaciones realizadas a cada uno.
- Nombre y número de la sesión que damos a la estación de observación, así como la identificación del operador y notas varias.
- Registros meteorológicos y datos locales introducidos.
- Estado de la fuente de alimentación.

*Estructura de la señal.*

Cada satélite va provisto de un reloj-oscilador que provee una frecuencia fundamental de 10.23 MHz, sobre la que se estructura todo el conjunto de la señal radiodifundida por el satélite. El satélite emite información sobre dos portadoras, la primera es el resultado de multiplicar la fundamental por 154 (1,575.42 MHz) y se denomina L1. La segunda, utiliza un factor de 120 (1,227.60 MHz) y se denomina L2. El término "L" viene determinado porque los valores usados están en la banda L de radiofrecuencias que abarca desde 1 GHz a 2 GHz (1000 a 2000 MHz). El utilizar 2 frecuencias permite determinar por comparación el retardo ionosférico, difícilmente predecible por otros medios.

Sobre estas dos portadoras se envía una información modulada compuesta por dos códigos y un mensaje, generados también a partir de la frecuencia fundamental correspondiente. El primer código denominado C/A (course /acquisition) o S (standard), es una moduladora con la frecuencia fundamental dividida por 10 es decir 1.023 MHz. El segundo código llamado P (precise) modula directamente con la frecuencia fundamental de 10.23 MHz y por último el mensaje se envía con la bajísima frecuencia moduladora de 50 Hz.

Los códigos consisten en una secuencia de dígitos binarios o bits (ceros y unos). La modulación de las portadoras con éstos códigos genera un ruido electrónico que, en principio, no sigue ninguna ley y parece aleatorio, pero en realidad sus secuencias están establecidas mediante desarrollos polinómicos, este fenómeno se conoce con el término



## Capítulo 1.

ruido pseudo-aleatorio (Pseudo Random Noise, PRN), y tiene la característica de que puede correlacionarse con una réplica generada por otro instrumento.

Cada uno de éstos códigos posee una configuración particular para cada satélite y constituye el denominado PRN característico, con el que se identifica los satélites del sistema GPS.

Sobre la portadora L1 se modulan los dos códigos vistos, el C/A y el P, además del mensaje correspondiente. En la L2 sólo se modula el mensaje y el código P.

El sistema que se utiliza en GPS para modular los códigos binarios se denominan Modulación Binaria por Cambio de Fase o Modulación Binaria Bifase.

El mensaje modulado sobre ambas portadoras tiene una duración de 12 min. y 30 s. Debido principalmente a su longitud y su baja velocidad de transmisión. La información que contiene viene referida a:

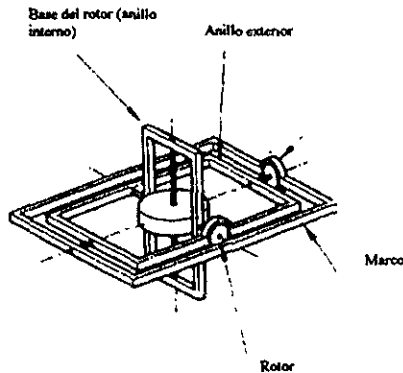
- Precisión y estado del satélite, ya que los satélites pueden encontrarse inoperantes.
- Antigüedad de la información y de las efemérides radiodifundidas.
- Almanaque y el estado de los relojes.
- Un modelo ionosférico, para el cálculo de los retardos.
- Información UTC (hora universal).
- Dos claves: - TLM, de telemetría, por si la órbita del satélite desde tierra.  
-HOW, que da acceso, para los usuarios autorizados, al código P.

### *Giróscopo Vertical*

El giróscopo vertical es un instrumento que establece una referencia en relación a un sistema cartesiano. Generalmente, se utiliza para referirse a un eje en posición vertical, con respecto al plano de la superficie terrestre; por lo que normalmente coincide con el vector de gravedad, que une cualquier punto sobre la superficie con el centro teórico de la tierra.

Esa referencia es ampliamente utilizada en navegación en todos los medios conocidos: tierra, aire, mar, órbita, espacio interplanetario, y subsuelo. Asimismo, es una referencia esencial para establecer la orientación de un instrumento o sensor en el espacio geográfico: objetivo central de este trabajo.

Un giróscopo es un dispositivo electromecánico, donde el elemento esencial es un cilindro metálico o rotor, girando a alta velocidad angular sobre su eje. Para tener un giro libre, el rotor primero se encuentra pivoteando sobre una base, que a su vez se encuentra ortogonalmente sobre una segunda base, esto es la primer base gira en el eje 'x', la segunda en el eje 'y' y el rotor en el eje 'z'. Como se muestra en la figura 1.1, esto le permite al rotor girar libremente independientemente de la orientación del marco.



*Figura 1.1. Esquema que muestra el giro libre del Giróscopo.*

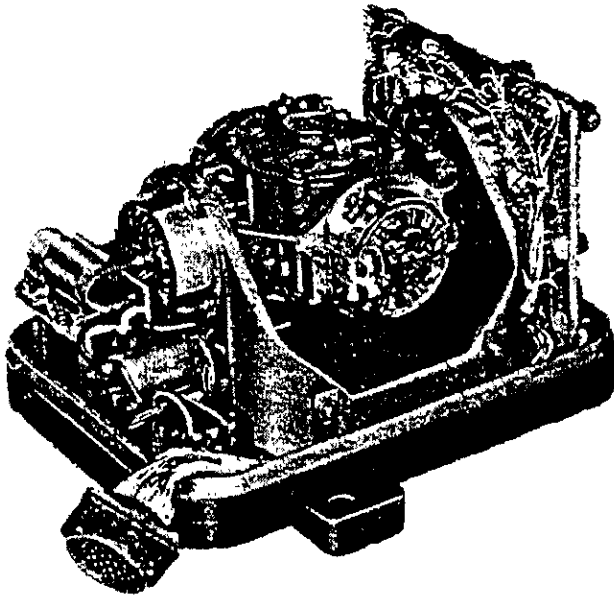
## Capítulo 1.

---

En operación, el giróscopo posee dos propiedades fundamentales importantes: la inercia giroscópica o rigidez y la precesión. Estas propiedades dependen del principio de que el momento angular de un cuerpo rotando en un eje dado permanece constante, a menos que alguna fuerza aplicada perturbe este estado.

### *Rigidez.*

Esta propiedad resiste una fuerza cuando tiende a cambiar el plano de rotación del rotor de un giróscopo, y depende de tres factores: 1) la masa del rotor, 2) el momento angular del rotor, y 3) la distancia de la masa al eje de rotación.



*Figura 1.2 Estructura interna del Giróscopo.*

## **Capítulo 1.**

---

### ***Precesión.***

La precesión es el cambio de velocidad angular en la dirección del plano de rotación bajo la influencia de la fuerza aplicada. El cambio de velocidad es proporcional a la intensidad de la fuerza aplicada, e inversamente proporcional al momento de inercia y momento angular del rotor. La fuerza resulta de la fricción de las monturas en pivote.

### ***Acelerómetros***

Los acelerómetros son dispositivos para de detectar movimiento lineal o curvilíneo y oscilatorio del objeto al cual están sujetos. Para que un acelerómetro detecte y genere datos útiles, debe estar correctamente fijado al objeto de prueba lo que requiere de que el montaje del acelerómetro sea rígido dentro del intervalo de frecuencias de trabajo.

### ***Acelerómetros piezoresistivos.***

Los materiales piezoresistivos tienen la característica de cambiar su resistencia bajo la influencia de presión física o de trabajo mecánico, así que si es sometida a sollicitaciones mecánicas, esta resistencia interna cambiará y permanecerá fija hasta restablecer el estado original del material. Para detectar el cambio de resistencia, es necesaria una fuente de alimentación estable. Los acelerómetros de banda utilizados en esta tesis son dispositivos pasivos.

La mayoría de los diseños del acelerómetro piezoresistivo utilizan el principio de viga libre, y están fabricados de silicio monocristalino como elemento sensor. Su marco de referencia como se dijo, se inmoviliza por fijación al objeto de prueba. El componente (piezoresistivo) de la resistencia variable se configura como puente de Wheatstone, en el cual la salida es un voltaje proporcional al cambio en resistencia, y por ello a las fuerzas asociadas

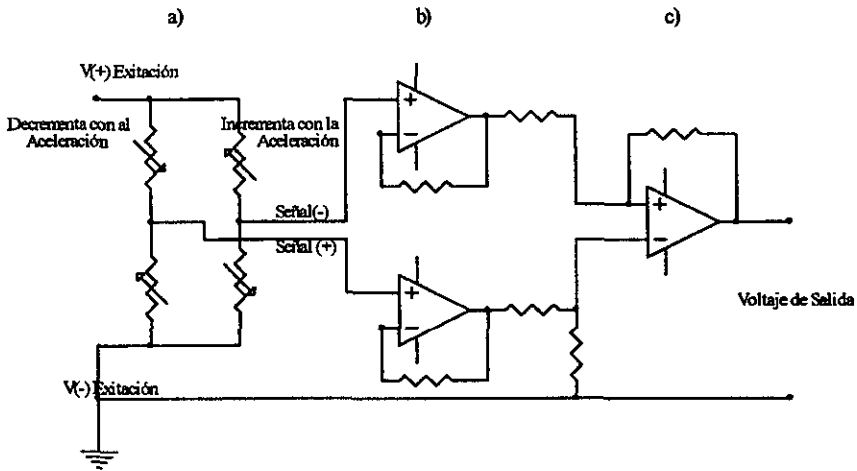


Figura 1.3. Circuito equivalente del acelerómetro piezoresistivo típico

La figura 1.3 muestra un ejemplo simplificado del circuito para la detección y amplificación de la temperatura usado por los acelerómetros de viga de silicio. El circuito se divide en tres partes principales:

- a) El puente de Wheatstone, mide el cambio de tensión en la resistencia de la celda del acelerómetro y proporciona una diferencia correspondiente al voltaje de salida.
- b) Los amplificadores actúan como almacén intermedio para reducir al mínimo la corriente trazada del puente y de amplificación de señales del puente, aumentando la diferencia del voltaje
- c) El amplificador diferencial, mide la diferencia final del voltaje y entrega el voltaje de salida.

El circuito del puente de Wheatstone del acelerómetro piezoresistivo se puede utilizar también para negar la sensibilidad de la temperatura del sensor. Si los cuatro resistores en el puente se hacen del mismo material que la viga, los efectos de la sensibilidad de la temperatura deben cancelar del circuito

En este caso se utilizó un acelerómetro de silicio micromaquinado. El acelerómetro está contenido en un módulo, junto con el elemento de detección (viga libre), preamplificador de la señal, compensador de temperatura, regulador de voltaje, referencia de voltaje y una salida lineal de  $\pm 2$  volts de corriente directa para una aceleración de  $\pm 2g$ 's. En la figura 1.4 se muestra un diagrama de bloques del módulo.

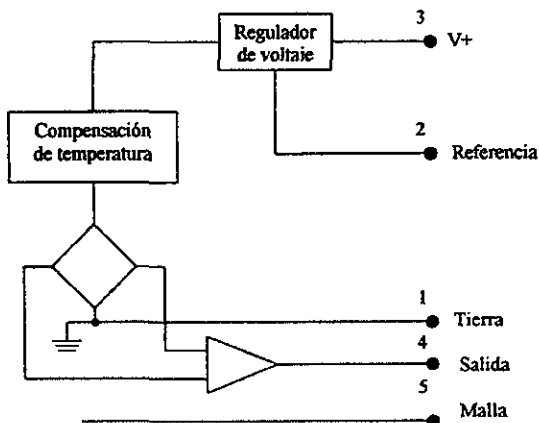


Figura 1.4. Diagrama de bloques del módulo del acelerómetro.

### Brújula electrónica

La brújula del sistema es un sensor para aeronáutica comercial que utiliza como transductor una bobina sensible al campo magnético de la tierra, de modo que ofrece la orientación de la aeronave con respecto al Norte. La bobina se encuentra suspendida en un fluido dentro de un contenedor, cuyo propósito es amortiguar las vibraciones de vuelo y que junto con el arreglo mecánico que lo sujeta a la nave, permite mantener la referencia respecto al norte, aun en inclinaciones de  $\pm 45^\circ$  en los ejes de alabeo y cabeceo que son ortogonales respecto a la vertical.

El sensor emplea un magnetómetro toroidal con un núcleo flotando libremente en su centro, que esta compuesto de una bobina de acero inoxidable enrollado con cinta magnética. Una señal de excitación de campo es aplicada al núcleo y el campo magnético terrestre interactúa con este, produciendo un campo asimétrico de flujo en el núcleo. Este flujo cambiante es detectado por dos bobinas y la señal resultante se procesa para obtener la orientación.

El sensor incluye un sistema de compensación de desviación basado en una bobina de Helmholtz, que es utilizada para corregir las anomalías del campo magnético local. La corrección de la desviación generada de esta manera no es afectada por el ángulo de inclinación, como lo son las brújulas convencionales y electrónicas. El campo magnético lineal generado por la bobina de Helmholtz se compensa cuando el núcleo está inclinado o nivelado.

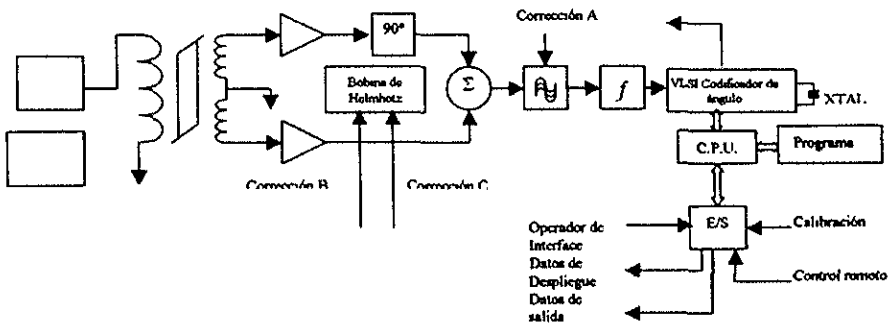


Figura 1.5. Diagrama a bloques de la brújula

## **Capítulo 1.**

---

El sistema que conforma la brújula se divide en tres partes:

- La circuitería del magnetómetro, que incluye el manejo de la circuitería estabilizadora y un núcleo con una bobina primaria y dos secundarias.
- El circuito de acondicionamiento de señal, que realiza la suma vectorial de las dos salidas en cuadratura. La señal resultante es filtrada en un pasa banda y alimenta a un circuito limitador para eliminar todos los efectos de variación de la intensidad del campo magnético.
- El codificador de ángulo y el microprocesador, el cual proporciona datos aislados, la corrección de la desviación y el formato de conversión de datos para transmisión serial o en otros formatos.

### ***Microcontrolador MC68HC11F1***

El microcontrolador usado es el MC68HC11F1, de Motorola, esta fabricado con tecnología HCMOS (Alta densidad Metal Oxido Semiconductor Complementaria). Es un MCU (Unidad microcontroladora) avanzado de 8 bits con funciones periféricas de alta complejidad dentro del mismo integrado. Contiene un ducto de datos no multiplexado con una velocidad nominal de 2 MHz (con un reloj de 8 MHz). Debido a la tecnología CMOS muestra una alta inmunidad al ruido, además de un bajo consumo de energía ( 50 mA ).

El microcontrolador MC68HC11 es utilizado ampliamente en aplicaciones como por ejemplo: en sistemas de inyección electrónica de automóviles, equipos de monitoreo atmosférico, alarmas, equipos biomédicos, control de motores eléctricos, conmutadores telefónicos, tacómetros, velocímetros, etc.

Entre sus principales ventajas se encuentra el que pese ha ser un microcontrolador de 8 bits, cuenta con instrucciones para realizar algunas operaciones de 16 bits, como sumas y



## Capítulo 1.

---

divisiones, además de tener integrados varios sistemas que lo hacen ideal para realizar funciones de control. En la figura 1.6 se muestra el diagrama a bloques de este microcontrolador.

A continuación se mencionan las principales características de MCU, y en los capítulos siguientes se describe más a fondo acerca de aquellas que se usaron para el desarrollo de la tarjeta de adquisición de datos, como parte de este trabajo.

- Interfaz de comunicación serie (SCI) mejorada, con formato registro sin retorno a cero.

Este sistema SCI puede ser usado para conectar una terminal CRT o una computadora personal al MCU, o diversos MCUs distribuidos a grandes distancias pueden usar sus subsistemas SCI para formar una red de comunicación serie.

El SCI utiliza un formato estándar de no retorno a cero (NRZ) con una variación en la velocidad de transmisión (baud rate) derivada del circuito del cristal del reloj. La interfaz se realiza mediante las terminales del puerto D. D0 es usada para la recepción de datos (RxD) y D1 para la transmisión (TxD).

- Convertidor Analógico-Digital (A/D) de 8 bits.

Convierte voltajes de 0 V a 5 V, con 255 valores, esto es 0V= 00 y 5V= FF

- Encapsulado de 68 terminales.
- La figura 1.7 nos muestra el encapsulado con el número y nombre de cada una de las terminales.

## Capítulo 1.

---

- Interfaz periférica serie (SPI).

La interfaz periférica serial (SPI) es uno de los dos subsistemas periféricos incluidos en el MCU. Es usado principalmente para permitir al MCU comunicarse con dispositivos periféricos y también puede interprocesar comunicaciones dentro de un sistema maestro múltiple, y ser configurado como un dispositivo maestro o como dispositivo que forme parte de un subsistema mayor.

- 512 bytes de EEPROM.

Esta memoria al ser eléctricamente borrable y programable, se puede manejar desde programa y guarda el programa principal con el cual se programa el MCU.

- Mecanismo de protección de bloques de memoria para EEPROM y CONFIG.
- Ducto de datos expandido no multiplexado.
- Modos "STOP y WAIT" de ahorro de consumo de energía.
- Capacidad de direccionamiento de memoria de 64 K.
- Circuito acumulador de pulsos de 8 bits.
- 1024 bytes (1K) de RAM estática.
- Instrucciones de brinco y prueba de bits
- Circuito de interrupción de tiempo real.
- Cuatro "chip selects" programables
- Sistema vigilante de operación correcta del computador (COP).

### *Microcomputadora.*

La computadora utilizada se basa en un microprocesador Intel 386, es una computadora AT compatible, que incorpora la capacidad de una computadora convencional en un sistema de 3.3 kilogramos de peso. Tiene una velocidad de reloj de 20 MHz, y conmuta a 4 MHz cuando no se utiliza, ahorrando energía. Sus principales características son la presencia de



**Capítulo 1.**

microprocesador. La computadora funciona con baterías propias de Níquel-Cadmio, durante periodos que alcanzan hasta dos horas. Esta equipada con un disco duro de 60 MB y uno flexible de 1.44 MB, y cuenta con un compartimiento para expansión de memoria de tipo DRAM, y una serie de indicadores que describen el estado de funcionamiento en la pantalla de las baterías, la velocidad del procesador, tiene incluido el teclado. Por ser una computadora portátil su diseño incluye tolerancia a vibraciones, como las presentes normalmente en vuelo.

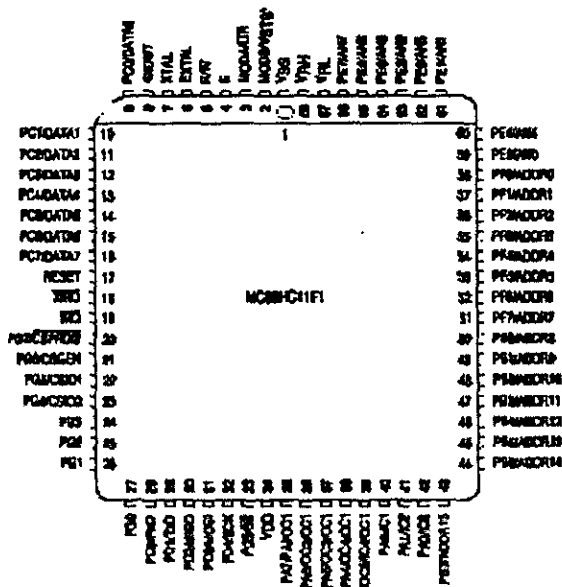


Figura 1.7. Asignación de patas para el encapsulado del MC68HC11F1.



## *Capítulo 2*

### *Sistema Basado en el Microcontrolador*



## **Capítulo 2.**

### ***Desarrollo del sistema basado en el microcontrolador.***

Este capítulo trata sobre como se integran los dispositivos a la tarjeta receptora de datos provenientes de los sensores analógicos; por lo que en primer lugar se tienen que digitalizar para que el microcontrolador pueda leerlos y procesarlos.

#### ***Conversión de las señales analógicas en digitales.***

El convertidor utilizado es el AD574A, con un voltaje de 0 a 10 V, lo que proporciona una salida de 12 bits que va de h000 a hFFF, o 4096 valores de voltaje.

La salida de los dispositivos no es mayor a 5 V, esto ocasiona que al convertirlos en binario sólo se puedan tener 2048 valores, desperdiciando la mitad de la capacidad del convertidor, por lo tanto lo primero que se hace es amplificar estas señales para aprovechar al máximo la resolución del convertidor.

#### ***Amplificación de las señales.***

La primera parte de la tarjeta se basa en una serie de amplificadores para incrementar el valor del voltaje de las señales, estos amplificadores son también no inversores.

## Capítulo 2.

---

### *Circuito de la brújula.*

La brújula proporciona una salida lineal de 0.1 V a 5.1, para manejar un intervalo de 0 a 10 V se conecto un amplificador operacional sumador no inversor. Por medio de un divisor de tensión se suma a la entrada una señal de  $-0.1$  V, y la señal es amplificada al doble, con esto obtenemos la señal deseada de 0 a 10 V.

De acuerdo a las mediciones realizadas, para una orientación de  $0^\circ$  respecto al Norte el voltaje de salida de la brújula es de 0.1 V y para una orientación de  $359.9^\circ$  respecto al norte un voltaje de salida de 5.1 V. De acuerdo a esto tenemos que cada variación de  $0.1^\circ$  equivale a 13.89 mV., pero al pasar a través del convertidor analógico digital, el valor de 5.1 V equivale a una salida con un valor decimal de 2047, lo cual para la resolución de la brújula no era adecuado, por lo tanto se agrego un amplificador operacional entre la salida de la brújula y el convertidor de manera que la señal a la salida sea de amplitud suficiente para que proporcione una salida en valor decimal de 0 a 3599, para un valor de 8.7866 V.

El diseño se realizó con base en un amplificador sumador, que elimina la deriva generada por la brújula, de manera que el voltaje a la salida del amplificador varíe de 0.0 V a 8.7866 V, esto se logro agregando en la entrada del sumador un voltaje negativo de 0.1 V y así amplificar solo la señal de entrada que se encuentra en el intervalo de 0.0 V a 5.0 V. El circuito completo se encuentra en la figura 2.1.

Este arreglo nos permite que la señal que llega al convertidor, tenga una mayor resolución a la salida del mismo. El diodo zener a la salida del operacional se encuentra limitando el voltaje, para evitar que sea mayor al que puede recibir el convertidor.

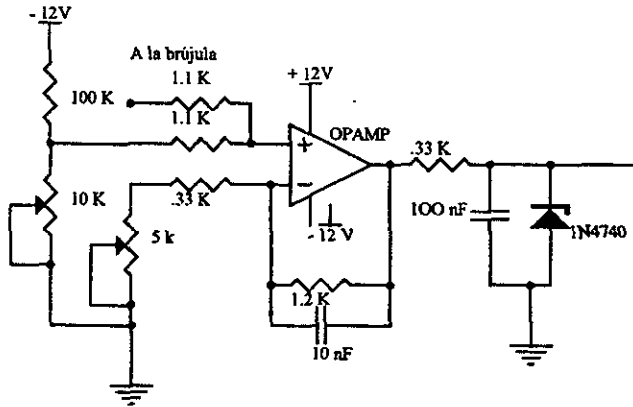


Figura 2.1. Circuito de amplificación para la señal de la brújula.

### Giróscopo.

Al igual que a la brújula, al giróscopo se le acondicionaron amplificadores operacionales, uno para cada salida (alabeo y cabeceo).

El giróscopo también entrega una salida lineal que dependiendo de la inclinación varía según el ángulo del giróscopo; de esta manera cuando se obtiene una señal de 2.4 V en reposo ( $0^\circ$  de inclinación), se amplifica ésta hasta tener 5 V, para así permitir una salida en valor decimal de 2048, cuando el giróscopo se encuentra la posición horizontal ( $0^\circ$  alabeo,  $0^\circ$  cabeceo) y de acuerdo al movimiento en una dirección u otra, este valor aumenta o disminuye, traduciéndose en una lectura directa para la PC. Para la elaboración de este amplificador se tomó como base el de la brújula, pero sólo se tiene la entrada del giróscopo en la entrada no inversora del operacional, en este caso se utilizó un TL081 (un circuito dual) para así combinar los dos amplificadores en un integrado de 8 patas.



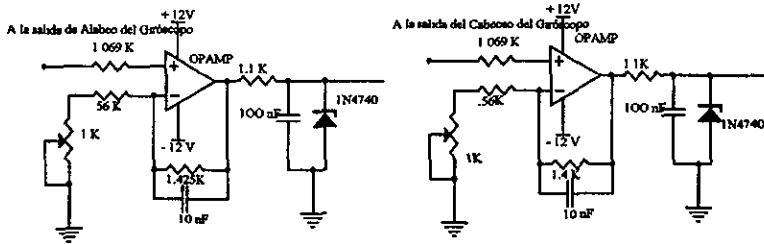


Figura 2. 2. Amplificadores usados para el giróscopo.

### Acelerómetros.

Los acelerómetros usados son los piezoresistivos que responden al intervalo de 0 a 1 KHz, y proporcionan una salida analógica de 2.488 V en aceleración de 0 g, con variaciones de  $\pm 2g$ 's de acuerdo a la orientación del dispositivo.

Se acondicionó la señal que proporciona cada acelerómetro a manera de tener 5 V en 0 g, 1 V para  $-2g$  y 9 V para  $2g$ , como se muestra en la figura 3.3. Estos son los circuitos que amplifican la señal de cada acelerómetro.

### Multiplexaje de las señales.

Una vez amplificadas las señales, se digitizan, para lograr esto con un sólo convertidor, se requiere de un multiplexor para que cada una de las señales sea digitizada por separado. En este caso como las señales son analógicas, se requiere de un multiplexor analógico, que no afecte a la señal de entrada, y proporcione la señal de salida.

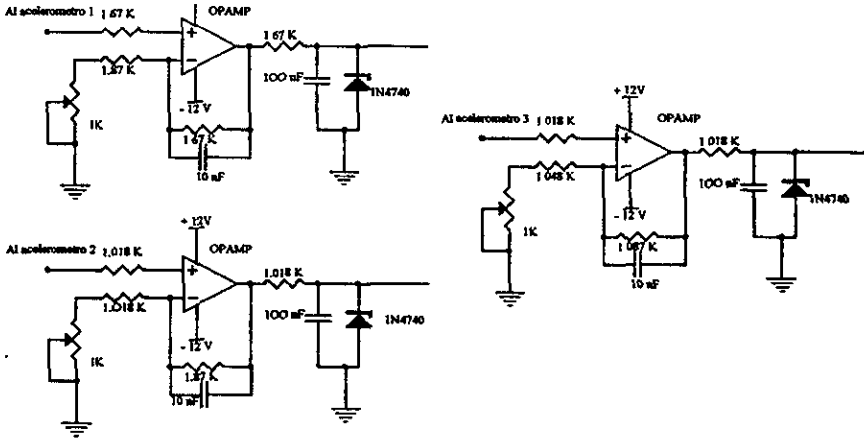


Figura 2.3. Circuitos amplificadores para los acelerómetros.

Se utiliza un multiplexor analógico de ocho entradas y una salida, lo que permite manejar los seis dispositivos que requieren convertir sus señales analógicas en digitales. El multiplexor no requiere de circuitería externa, sólo de una alimentación de 12 V, conectándose directamente las salidas de los operacionales a las entradas del multiplexor, y de la salida de este a la entrada de 0 a 10 V del convertidor.

*Conversión de las señales analógicas en digitales.*

El convertidor analógico digital usado es el AD574A, que es un convertidor con salidas en paralelo y resolución de 12 bits, proporcionando una salida de 0 a 4096 valores según sea la intensidad del voltaje.

Para operar se requiere alimentar con +5, +12 y -12 V, así como una circuitería externa que le permita convertir en el intervalo de 0 a 10 V, ya que este convertidor funciona en diferentes intervalos de V como son -5 a 5 V, -10 a 10 V, 0 a 20 V y 0 a 10 V los cuales

son de interés. Además requiere de un reloj para realizar la conversión, ya que cuando la pata 3 se encuentra en alto, toma la señal analógica que se encuentra en ese momento y al cambio a bajo realiza la conversión. El circuito de reloj se implementó con un multivibrador 555, ya que la frecuencia del AD574 es baja, pues tiene que ser menor a 26 KHz.

En el arreglo externo se cuenta con dos potenciómetros que regulan el balance y la ganancia del convertidor. La señal digital (salida paralela de 12 bits) se encuentra conectada a dos puertos del microcontrolador. La figura 2.4 muestra la conexión y circuitería empleados en el ADC.

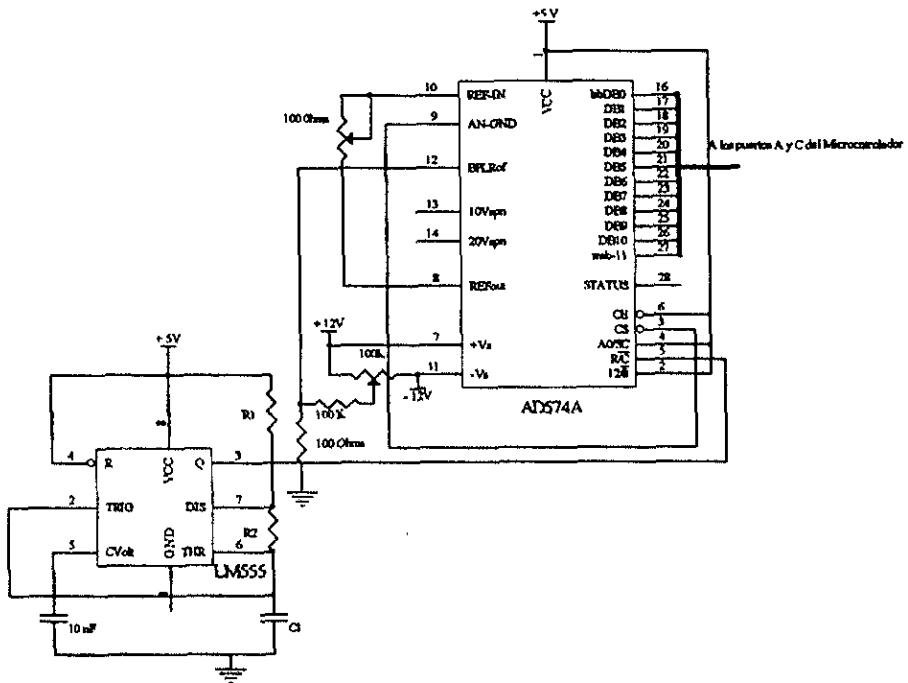


Figura 2.4 Convertidor Analógico Digital con circuito de reloj.

---

## Capítulo 2.

### Procesamiento de las señales.

La última sección de la tarjeta está formada por la circuitería necesaria para que el microcontrolador pueda funcionar y conectarse a una PC.

Para que el microcontrolador pueda operar y comunicarse con la PC, requiere de ciertos circuitos adicionales para esa tarea. Los circuitos mínimos que necesita para su operación son: un circuito de reloj, un circuito que proporcione un bajo voltaje para el restaurador, una interfaz RS232 para la comunicación serial.

#### Circuito de reloj.

El reloj, que determina la velocidad a la que se ejecutan las instrucciones, es en este caso de 8MHz, conectándose en las terminales XTAL y EXTAL del encapsulado, estas terminales habilitan la interfaz para un cristal o circuito de reloj compatible con CMOS, para controlar la circuitería interna generadora del pulso del tiempo.

Este reloj se conforma de un cristal conectado en paralelo a las terminales XTAL y EXTAL, así como una resistencia de 100 MΩ y dos capacitores conectados a tierra como se muestra en la figura 2.6.

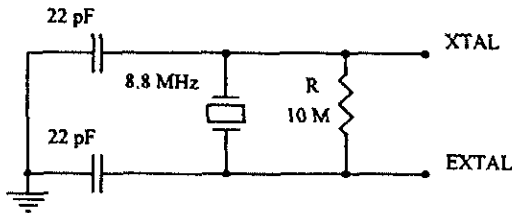


Figura 2.6. Conexión común del cristal.

Circuito de comunicación.

Para comunicar el microcontrolador con la PC, se emplea el CI Max232, que posibilita una comunicación serial, y se conecta a las terminales del puerto D. Dichas terminales RxD (PD0) y TxD (PD1), se habilitan para la transmisión y recepción de datos. En el Apéndice B, se muestra el programa que maneja las configuraciones para habilitar las salidas del puerto D.

El arreglo de este CI proporciona una interfaz serie RS232 (DB9) común en las computadoras personales. En la figura 2.7, se muestra el circuito de dicha interfaz.

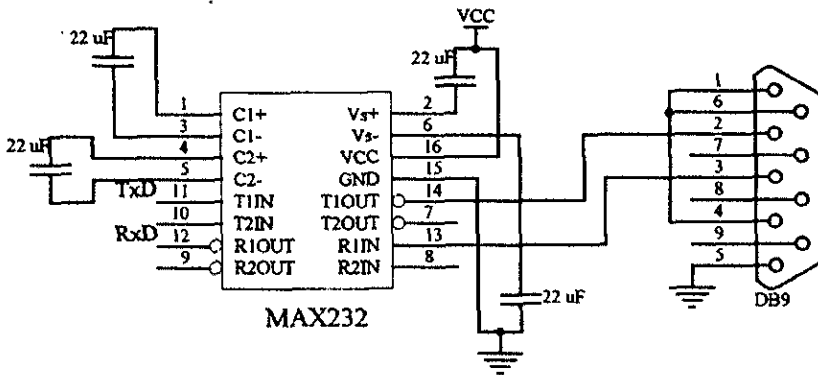


Figura 2.7. Interfaz de comunicación serial (RS232)

*Microcontrolador.*

Una vez que todos los circuitos que requiere el microcontrolador para operar se encuentran armados, se conectan en cada uno de las patas correspondientes. Al microcontrolador, además del reloj y la interfaz de comunicación serie se agrega un circuito para poder aplicar un bajo voltaje en la pata de restituir el funcionamiento, por medio del cual se inicia el microcontrolador, así como algunos filtros para eliminar armónicas y voltaje de Vcc y Vss a las patas 2 y 3 para indicarle el modo de operación.

Para nuestro propósito, el microcontrolador opera en modo simple, por lo que se coloca Vcc (5V) a la pata 2 y Vss (0V) a la pata 3. Con estos voltajes, el microcontrolador inicia la ejecución del programa previamente cargado en EEPROM. Al momento de presionar el botón de restituir la tarjeta, este programa selecciona cada dispositivo que va a entrar al ADC según sean requeridos; así como comunicar al microcontrolador con la PC y enviar los datos obtenidos de los dispositivos para su procesamiento y muestra en pantalla: los detalles se verán más adelante.

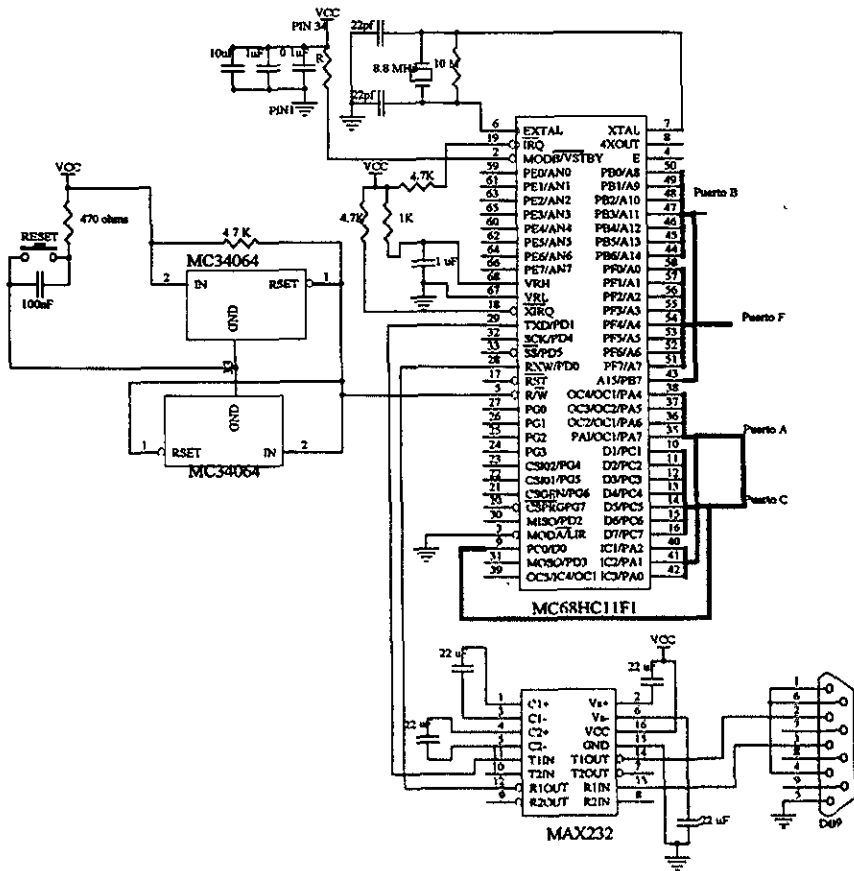


Figura 2.8. Microcontrolador con circuitería para operación en modo simple.

---

---

## *Capítulo 3*

### *Evaluación del Sistema*

---

---



***Capítulo 3.***  
***Evaluación del Sistema.***

En este capítulo se verá el funcionamiento de cada uno de los dispositivos creados, primero por separado y después en conjunto para así demostrar el cumplimiento de los objetivos del trabajo.

Para ello primero se diseñaron cada uno de los amplificadores necesarios y se evaluaron en forma individual. Una vez evaluados y al verificar un funcionamiento correcto, se procedió a la evaluación por partes:

- Sistema de adquisición de datos.
- Digitalización de las señales.
- Comunicación con la PC.
- Finalmente se evaluó el sistema completo.

La información se obtuvo básicamente por medio de gráficas que describen el comportamiento del parámetro a evaluar en función del voltaje o algún otro parámetro.

***Sistema de adquisición de datos.***

***Brújula electrónica.***

Una vez que se terminaron los circuitos necesarios para la amplificación de la señal, se procedió a realizar las pruebas necesarias para evaluar su desempeño. Se conectó la brújula a la entrada y se orientó al Norte para tener una salida de 0.0 V, al ubicarla en esta posición se detectó una pequeña inestabilidad ( $\pm 0.2^\circ$ ) debido a que falta una rejilla de compensación

### *Capítulo 3.*

---

en la brújula ( la cual se extravió antes de que se realizara este proyecto), por lo que no pudo ser corregida. Cuando la estabilidad fue máxima, por medio de los potenciómetros de calibración del circuito amplificador se establecieron los valores a la entrada y salida del amplificador de acuerdo a como se muestran en las graficas 3.1 y 3.2. Esta prueba se realiza lejos de materiales ferrosos, y campos magnéticos artificiales, con el fin de minimizar el error de lectura.

#### *Giróscopo Vertical.*

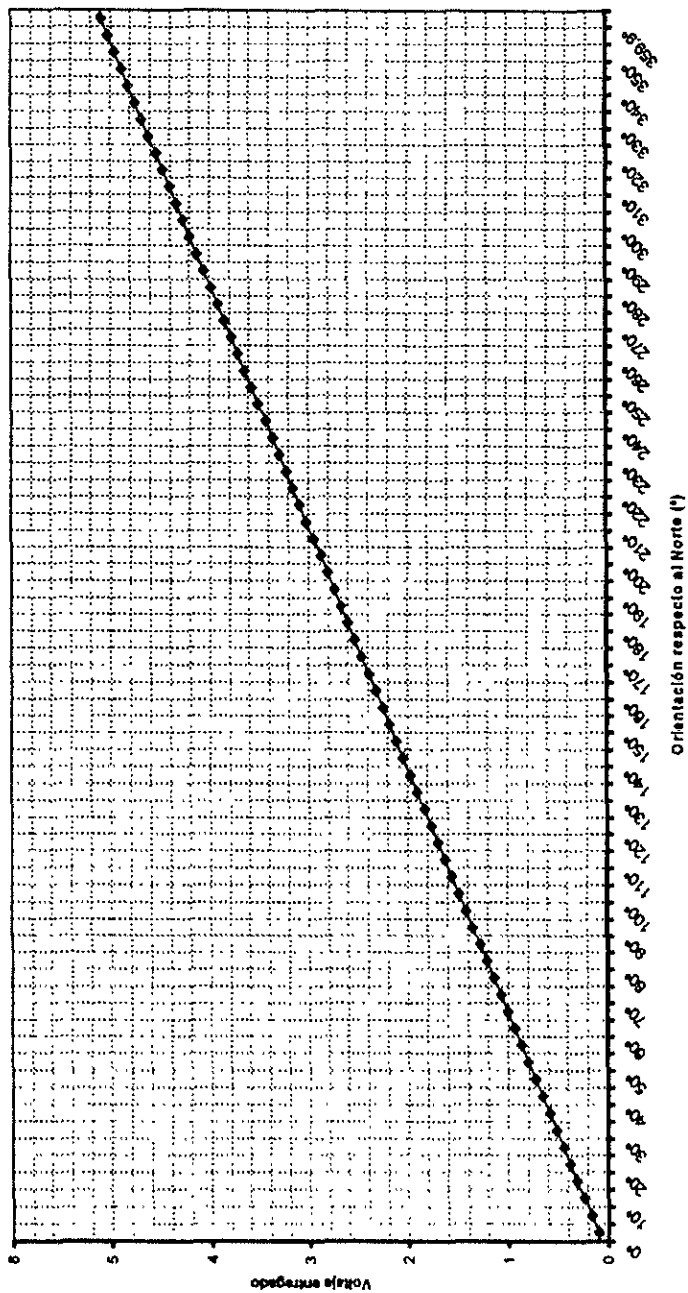
El giróscopo maneja dos salidas analógicas, una para el alabeo y otra para el cabeceo, dicha salida varía en amplitud de voltaje según la orientación. En las graficas 3.3 y 3.4 se puede apreciar como las variaciones de voltaje proporcionadas por las salidas del aparato no tienen una gran variación ( $\pm 1$  V), por lo cual es indispensable amplificar la salida para tener una mejor resolución.

Debido a que el giróscopo consume mucha corriente (10 Amp.), se utilizaron unos optoacopladores para realizar una conexión segura entre este y los amplificadores, ya que el circuito del microcontrolador requiere de muy poca corriente y podría dañarse.

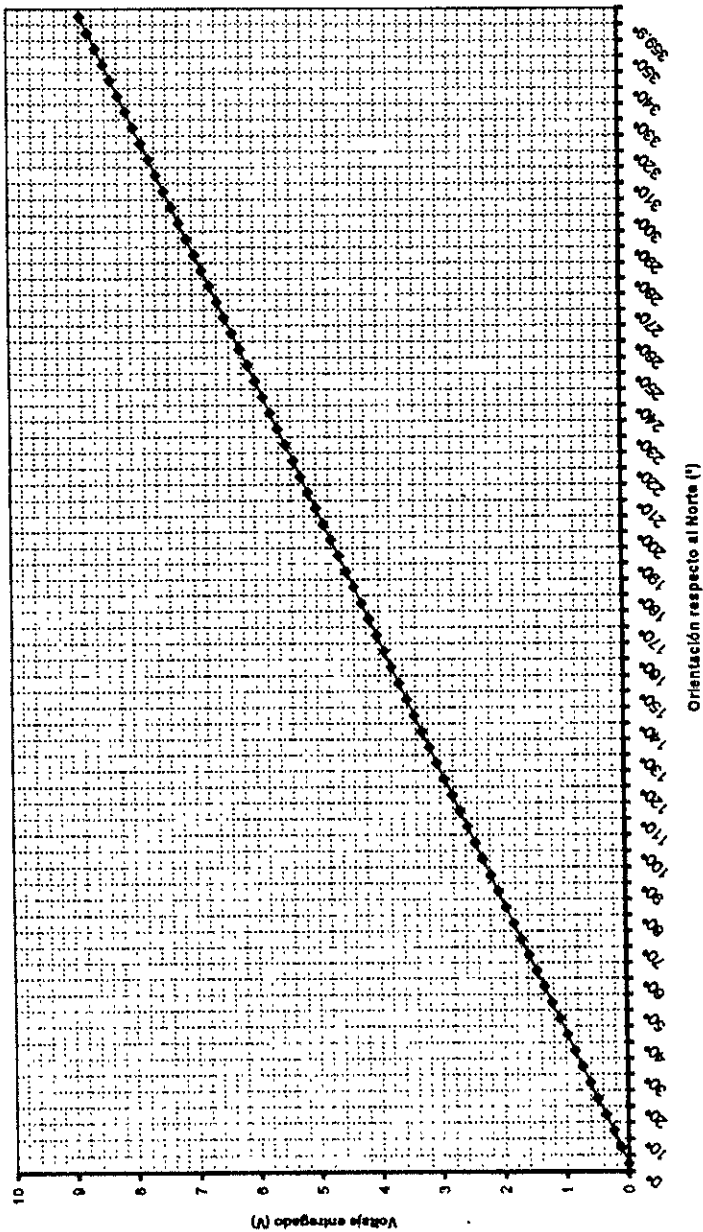
#### *Acelerómetros.*

Para el correcto uso de los acelerómetros se ajustaron a 5 Vcd para una aceleración de 0 g's, de tal manera que para  $-2$  g's se cuente con  $+1$  Vcd y para una aceleración de 2 g's se tenga una salida de 9 V cd, respectivamente.

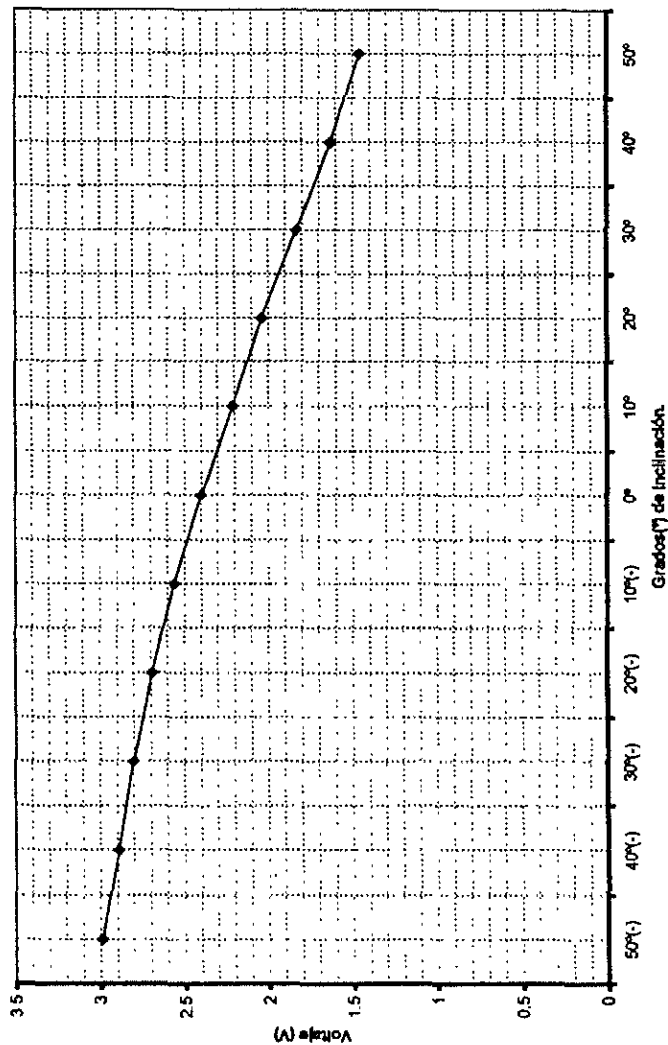
Grafica de Voltaje & Orientación de la Brújula



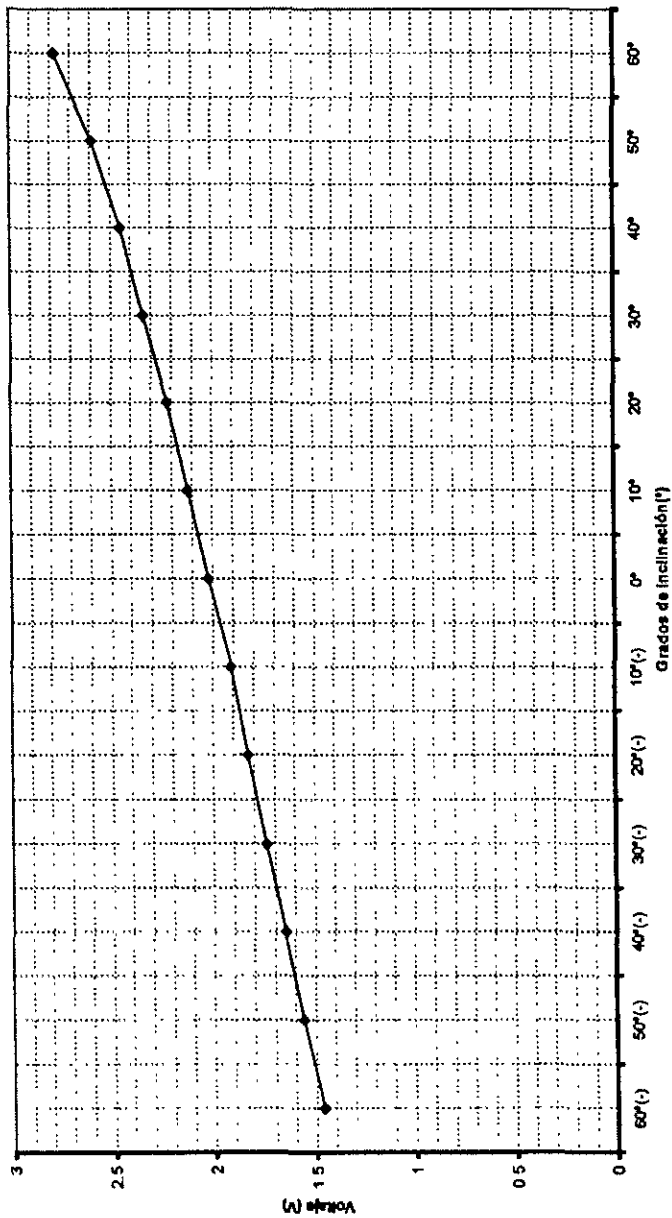
Grafica de Voltaje & Orientación de la Brújula con Amplificador



Gráfica de Voltaje vs. Inclinación del Alabeo del Giroscopio



Grafica de inclinación & Voltaje del Cabeceo del Giróscopo



***Digitalización de las señales***

Para que el microcontrolador pueda leer los datos es necesario que las señales analógicas sean convertidas en digitales, para este propósito se diseñó el circuito del convertidor analógico-digital. Para la evaluación de su desempeño, y aprovechar al máximo la velocidad de conversión, se diseñó el reloj (multivibrador estable) en una frecuencia de 10 KHz, velocidad que se encuentra cercana a la máxima que puede aceptar el convertidor (26 KHz). Una vez que el reloj está en la frecuencia necesaria, se conectó a una fuente variable con un voltaje de 0.0 sin compensación, se varía la fuente como se indica en la tabla 3.5 desde 0.0 V hasta 10.0 V para así obtener los diferentes valores del dato en forma hexadecimal, necesaria para el microcontrolador (000 para 0 V y FFF para 10 V).

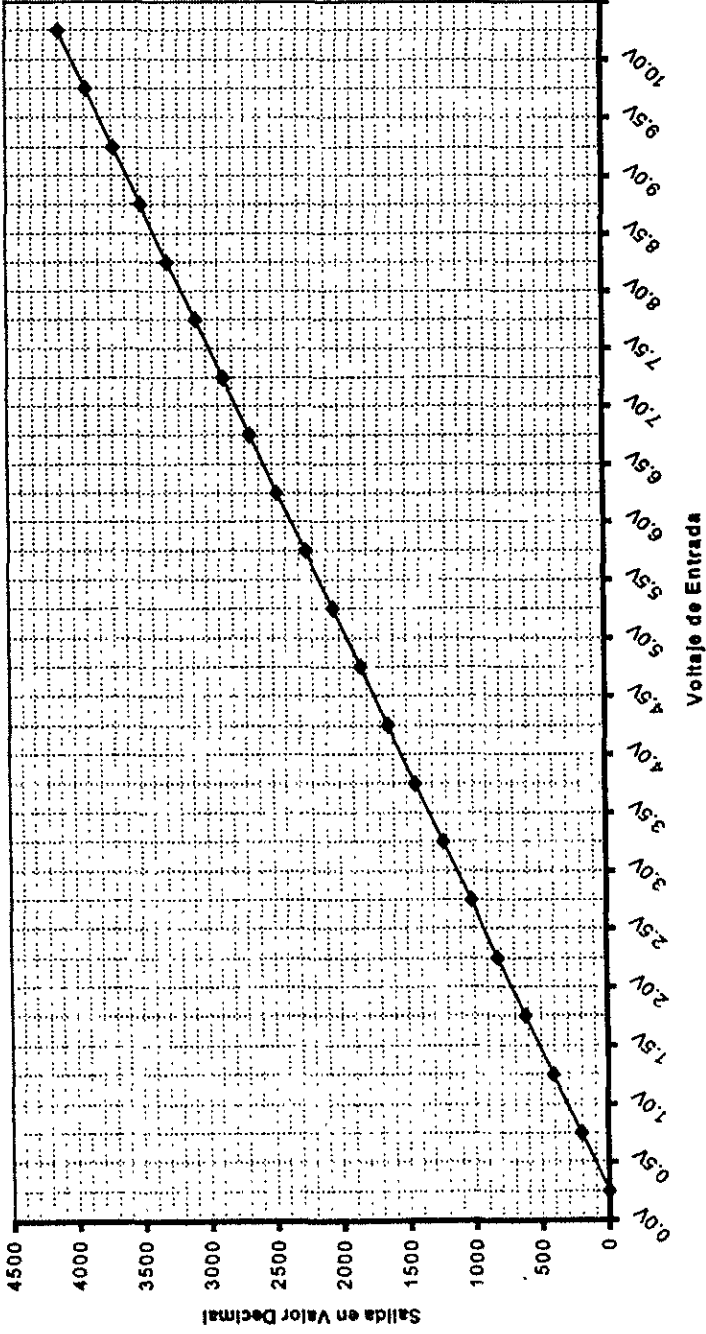
El circuito del convertidor cuenta con dos potenciómetros para la calibración del mismo, uno encargado de eliminar el balance o compensación que pueda encontrar a la entrada la señal analógica, y el otro de la precisión de la conversión; por medio de éstos se llegó a obtener una conversión lineal en relación a la señal de entrada.

***Sistema del Microcontrolador y comunicación con la PC.***

El microcontrolador se destina como interfaz entre el sistema de navegación y la PC, por lo que es necesario establecer una comunicación entre ambos, vía RS232 o puerto serial con conector DB9 (ambos comunes en las PC)

Para evaluar el microcontrolador, se diseñó un circuito formado por el microcontrolador, un circuito para restaurar, un reloj y un circuito de comunicación formado por el C.I. MAX232 y el conector DB9.

Gráfica del Convertidor Analógico/Digital





### Capítulo 3.

---

Las primeras pruebas se basaron en el programa Avsim11 que es un sistema de simulación del desempeño del microcontrolador; las pruebas se centraron en la lectura de datos por medio de un puerto, algún proceso con ese dato (como una suma o una división) y revisar la respuesta en otro puerto. Listo el programa, se grabó en la EEPROM (memoria de sólo lectura eléctricamente borrable-programable) y se procedió a evaluar si los puertos se encontraban en buen estado y si el microcontrolador podría explotarlos para los objetivos del trabajo. Con a esta prueba, se encontró que un primer microcontrolador venía con un puerto dañado, por lo que se sustituyó.

Durante las pruebas anteriores, el microcontrolador se encontraba conectado a la PC en modo de prueba, y las instrucciones se proporcionaban por medio del programa de evaluación; que en este caso es el programa PUMA, que indica donde inicia el programa y el tiempo de ejecución, ya sea instrucción por instrucción o todo el programa. Una vez operando correctamente el microcontrolador, se procedió a probarlo independientemente del programa de evaluación, se instaló el programa en una nueva dirección de memoria, asignada al momento de programar el microcontrolador y que debe especificarse en el programa. Para grabar el microcontrolador se utilizó el programa Pcbu11, el cual se carga con el microcontrolador funcionando en modo de prueba. Una vez cargado el programa, se colocó el microcontrolador en modo simple y con el botón de rehabilitar el microcontrolador empezó a ejecutar el programa; leía un dato por el puerto especificado y por medio de unos diodos luminosos (leds), era posible observar el resultado en el otro puerto, comprobando así que el microcontrolador puede operar sin la necesidad del programa de evaluación y del cable de conexión a la PC.

La prueba final, consistió en conectar el microcontrolador a la PC, sin el programa de evaluación, pero con un programa externo, que en este caso consistía en dos programas, uno cargado en el microcontrolador y otro en la PC. El programa de la PC, envía un dato a través del puerto serial, al recibir dicho dato, el microcontrolador le da salida en uno de sus puertos paralelos por medio de diodos luminosos, y a su vez, manda otro dato a la PC, para comprobar que la comunicación entre ambos se realiza sin problemas como resultado de varias pruebas, donde se varía el tiempo entre el envío y la recepción de los datos.

### *Sistema Completo*

Para evaluar el desempeño del sistema, se procedió a analizar las diferentes componentes del mismo, ya conectadas entre sí, esto es desde la adquisición de los datos proporcionados por los dispositivos, hasta su visualización en la pantalla de la PC.

Se conectaron los seis dispositivos a sus respectivos amplificadores, comprobándose su respuesta ante variaciones en el valor de la señal. Para el ingreso de las señales al convertidor, se incorporó un multiplexor analógico, para que sólo recibiera la señal del dispositivo requerido por la PC, para esto la PC manda un dato, que indica al controlador que está lista para leer el dato de un determinado dispositivo, el microcontrolador selecciona este dispositivo a través del multiplexor y así convierte la señal analógica del dispositivo deseado en un dato digital que puede ser interpretado por la PC.



*Figura 3 1. Sistema Completo*

### *Capítulo 3.*

---

El dato de salida del convertidor es almacenado en el acumulador D del microcontrolador para enviarse a la PC. El programa del microcontrolador separa en dos el dato para enviarlo de manera asíncrona en dos bytes, a una velocidad de 9600 baudios. Ya con los datos en la memoria temporal de la PC, el programa se encarga de unir los bytes para formar el dato original, y transformarlo en un dato coherente para la persona observando la pantalla de la PC.

Al inicio de esta tesis, se hace referencia a otro dispositivo el cual no se ha tratado aún, el GPS, el cual se integra en la PC, y no al sistema del microcontrolador. El programa que se encuentra cargado en la PC, es el encargado de leer los datos que llegan a través de los puertos seriales, en el puerto 1 se reciben los datos del GPS, que llegan en cadenas, cada cadena es precedida por un encabezado, que identifica la cadena. En estas cadenas viene toda la información que manda el GPS, como son las coordenadas; latitud y longitud, la altitud, el error estimado, los satélites visibles, la hora GMT, la fecha, etc, para el propósito de este trabajo, interesan, las coordenadas Latitud y Longitud, la altitud, así como la fecha y hora.

Al efectuar unas pruebas (de laboratorio, porque no se pudieron realizar de campo debido a suspensión de actividades en la UNAM por 10 meses), con el sistema completo: la brújula, el giróscopo, los acelerómetros y el GPS, el sistema de orientación nos proporcionó las coordenadas del laboratorio, la orientación en los tres ejes: nuestra orientación respecto al norte por medio de la brújula, y las inclinaciones en los ejes 'x' y 'y', con el giróscopo.

La forma en que se muestran los datos, se encuentra en la figura 3.2.

#### *Análisis de Resultados y Corrección de Fallas.*

El sistema integrado cumple con el objetivo inicial, muestra los datos para la orientación espacial de un vehículo autónomo en una posición dada. Muestra la orientación en coordenadas en latitud, longitud y altitud, con una precisión de  $\pm 15.0m$  (dado que es un GPS comercial), la orientación con respecto al norte esta dada con una precisión de  $0.1^\circ$ ,

que es la proporcionada por la brújula, y en el giróscopo se pueden detectar inclinaciones hasta de  $\pm 60^\circ$ , con resolución de  $\pm 0.25^\circ$ .

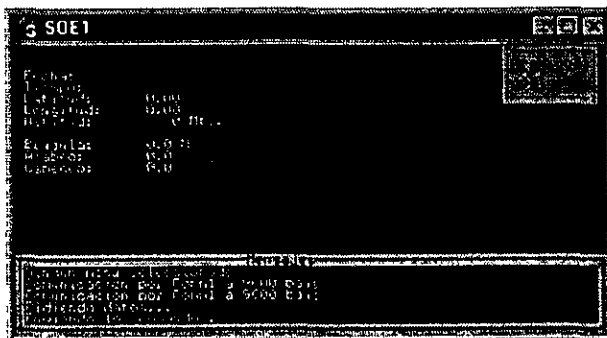


Figura 3.2. Presentación del Programa en la Pantalla.

Las principales imprecisiones se encuentran en la brújula, ya que por la falta de una rejilla, da incertidumbre de  $\pm 0.2^\circ$ , pues la falta de estas rejillas permite el paso de señales parásitas (ruido), que alteran la posición de la brújula.

---

---

## *Capítulo 4*

### *Manejo y Mejoras del Aparato*

11/11/2014

**Capítulo 4.**  
***Manejo y Mejoras del Sistema.***

***El manejo.***

El sistema de orientación puede ser usado en cualquier computadora personal que tenga dos puertos seriales, y que sea 486 o mejor. Sin embargo para un desempeño optimo se recomienda que se use una computadora Pentium a 200 MHz, con sistema operativo Windows 95, o más reciente.

El sistema sólo requiere de los programas incluidos en el Apéndice B, para su funcionamiento.

***Instrucciones Específicas***

El sistema, en la carátula frontal tiene el interruptor de encendido y un botón de rehabilitar; en caso de que no responda al encendido, basta con oprimir el botón y funcionará de inmediato. Así mismo, en la parte posterior se encuentran cinco entradas, una con siete patas para la brújula, una con cuatro para el giróscopo y tres con cinco para los acelerómetros.

En el caso de la brújula y los acelerómetros, la alimentación es proporcionada por el sistema, ya que no requieren de fuentes dedicadas para su funcionamiento. El giróscopo requiere de una alimentación de +27 V con un amperaje de 10 A. Por lo cual necesita de una fuente externa para funcionar. En la entrada para el giróscopo tenemos una alimentación de + 12 V, que se requieren para el acoplamiento óptico necesario entre el sistema y el giróscopo y sin el cual el nivel de ruido es inadecuado.

Como ya se menciona, para que el sistema nos de una referencia de donde estamos, es necesario que la PC tenga dos puertos seriales DB9, en el puerto serial 1, se coloca el cable del GPS, en el puerto serial 2 se coloca el cable del sistema integrado para esta tesis. Ya que se encuentran conectados ambos dispositivos, se encienden y se ejecuta el programa.

El programa desarrollado, es el que se encuentra en el Apéndice B, Una vez instalados los dispositivos, al ejecutarse el programa, aparece una pantalla como la de la figura 4.1., con tres opciones, estas son:

- Archivos>
- SOE>
- GPS>

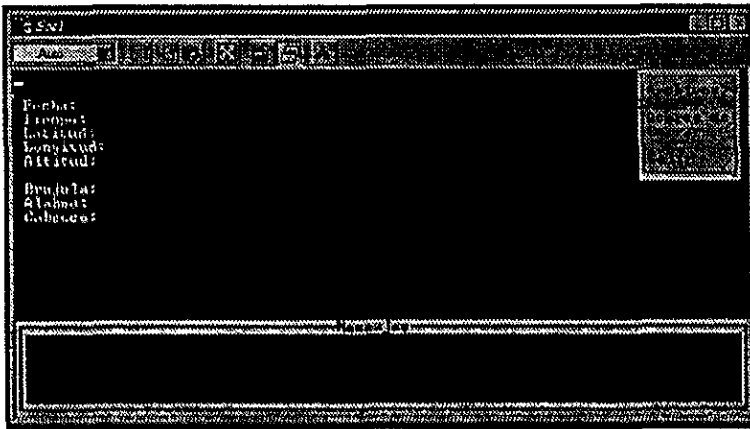


Figura 4.1. Pantalla principal del SOE.

En la sección de “Archivo”, solo proporciona información acerca del programa.

Al seleccionar el submenú “SOE”, los datos que provienen del sistema del microprocesador, se muestran automáticamente y en este caso son los datos correspondientes a la orientación en los tres ejes: brújula (eje z), alabeo (eje y) y cabeceo (eje x)

En la sección “SOE”, se encuentra el submenú:

- FIN

En el Menú GPS, se encuentran los submenús:

- Inicializa
- Mensajes
- Datos
- Reiniciar
- Fin

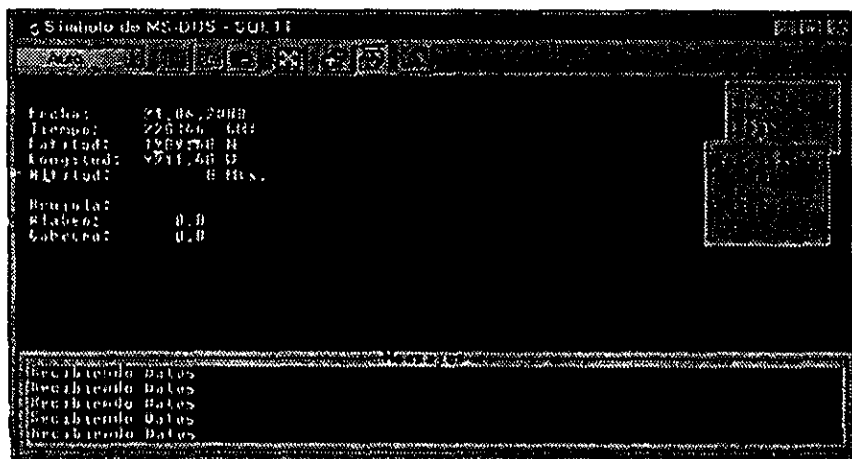


Figura 4.2. Pantalla mostrando submenú GPS.

Para que el GPS inicie es necesario seguir los siguientes pasos:

- Seleccionar Inicializa y oprimir <enter>.
- Seleccionar Mensajes, oprimir <enter> y en la parte inferior en azul aparece “mensaje”, se escribe GPGGA.
- Y por ultimo seleccionar el submenú Datos y Oprimir <enter>.



El GPS tarda en ubicarse en el espacio geográfico aproximadamente 20 minutos, dependiendo de interferencias y bloqueo de señales por edificaciones.

*Mejoras*

Para una mejor resolución y una disminución del error en el GPS, es necesario que la integración de los acelerómetros sea más precisa, esto se puede resolver con una mejora en el programa, específicamente en la rutina de la adquisición de datos del sistema, ya que de acuerdo al procesador que tenga la maquina, la velocidad entre una lectura y otra varia ligeramente, lo que ocasiona que la distancia “estimada”, no sea correcta en más de una lectura, así como reducir este tiempo lo más que se puede para tener una aproximación más exacta del movimiento del vehículo, ya que los acelerómetros trabajan en función de la aceleración, y de acuerdo a:

$$v(t) = \int_0^t a dt$$

$$v(t) = at + c$$

donde c es la velocidad inicial  $v_0$ .

Y sabiendo:

$$x = \int_0^t v(t) dt$$

o que:

$$x = \int_0^t at + v_0$$

obtenemos,

$$x = x_0 + v_0 t + \frac{1}{2} a_x t^2$$

donde el desplazamiento x depende directamente del tiempo en que se tomen las muestras de los acelerómetros, es por esto que si las muestras son tomadas en un lapso de tiempo

#### **Capítulo 4.**

---

menor, se tendrá un mejor cálculo de las distancias recorridas en esos intervalos, que si se toman en intervalos de tiempo mayores, como obliga la PC a disposición del proyecto.

Como se menciona al inicio de este trabajo, el sistema forma parte de un proyecto el cual tiene previsto ubicar desde el aire zonas de estudio en el espacio geográfico, para lo cual es recomendable que se agreguen, previo a vuelos de práctica imágenes de la zona de exploración y en estas imágenes se marquen todas las lecturas que proporcione el sistema para un mejor aprovechamiento del mismo; motivo de una tesis paralela y complementaria a este trabajo.

*Conclusiones.*

El equipo descrito en este trabajo cumple con las funciones para las que fue diseñado, construido y probado, como se muestra en las pruebas realizadas en el capítulo 3 y las imágenes de la pantalla en el capítulo 4. Se construyó un sistema económico, con la adaptación y uso de aparatos con los cuales se contaba en el Laboratorio, como son la brújula, el giróscopo, los acelerómetros y el GPS. Integrándolos de tal forma que en conjunto funcionen como un solo sistema que preste ayuda en la investigación científica de diversas zonas geográficas, por medio de tomas aéreas, con cámaras y otros sensores.

Dado el aprovechamiento de una microcomputadora más reciente (Pentium 400MHz), la velocidad del procesamiento de los datos se incremento considerablemente respecto a la 386, lo cual posibilita que sean tomadas más muestras en un menor tiempo, ayudando así a que el sistema tenga una mayor sensibilidad, por lo que es recomendable que al momento de integrar los dispositivos en una aeronave, se lleve consigo una microcomputadora portátil de una velocidad de 200MHz con procesador Pentium MMX o compatible.

La sencillez del diseño permite su uso aún sin el equipo de cómputo, lo cual lo vuelve más versátil, y aun más económico, ya que la microcomputadora se integra porque a futuro se desea emplear imágenes, en las cuales se registren las coordenadas y datos proporcionados por el sistema, para una ambientación más realista de los investigadores a bordo de la aeronave.

*Conclusiones.* 

---

El aspirante está convencido de que este sistema, al ser económico, haga posible aprovechar más los recursos dedicados a la investigación de los diversos fenómenos del territorio nacional y que con la información registrada en esta tesis sea aplicado y mejorado en pro de la labor científica de la teledetección.

***Recomendaciones***

Las recomendaciones que se presentan para una explotación adecuada del sistema son:

- El sistema del microprocesador debe de estar lo más cerca posible de los sensores y dentro de contenedor metálico, como medio de aislamiento térmico y para evitar interferencias electromagnéticas, provenientes del vehículo; aéreo o terrestre.
- Para la conducción de señales es deseable contar con cables no mayores a 5 m de largo, blindados y aterrizados en uno de sus extremos.
- Es recomendable, con base a las consideraciones de operación, que la ubicación más adecuada para los sensores sea la siguiente:
- La brújula opuesta al motor.
- Los acelerómetros y el giróscopo en el centro de masa de la aeronave, tomando referencia de los tres ejes cartesianos.

## Apéndice A.

---

Las recomendaciones para mejorar el sistema son:

- Corregir el programa en lenguaje C de tal manera que el tiempo entre la lectura de los acelerómetros sea lo más rápida posible, probablemente en el intervalo de los  $\mu$  segundos.
- Buscar en el mercado optoacopladores de corriente alterna (ca) para el acoplamiento óptico entre el sistema del microprocesador y el giróscopo, ya que los instalados se encuentran obsoletos y uno de ellos no funciona con suficiente fiabilidad.
- En este caso se empleó el sistema con base en una microcomputadora, ya que el propósito es que a futuro estos datos se registren en una base de datos con imágenes; debido a ello es necesario que los resultados puedan ser observados en una pantalla que permita el agregar imágenes. Pero si sólo se requiere del sistema de orientación, es posible usarlo sin la microcomputadora, en el puerto de comunicación RS232 del micro se puede conectar el GPS y mostrar los datos a través de una pantalla de cristal líquido (exhibidor alfanumérico LCD tipo AND491) que se conecta en el puerto B del microprocesador. Esto abre la posibilidad a más aplicaciones.

**Programas Usados.**

A continuación se presentan los listados de los programas usados en el sistema desarrollado. El primer programa está en lenguaje ensamblador y es el programa que se encuentra cargado en la EEPROM del microcontrolador MC68HC11. El segundo programa se encuentra en lenguaje C++ y es el encargado de mostrar en la pantalla de la PC los datos recibidos tanto del sistema como del GPS.

- Programa en Lenguaje ensamblador

```
.....  
*****"programa de comunicacion"*****  
.....  
porta equ $1000  
ddra equ $1001  
poric equ $1006  
ddrc equ $1007  
portd equ $1008  
ddrd equ $1009  
portf equ $1005  
baud equ $102h  
sscr1 equ $102c  
sscr2 equ $102d  
scsr equ $102e  
sodr equ $102f  
RDRE equ $20  
TDRE equ $80  
OR equ $08  
FE equ $02  
  
org $fe00  
lds #03ff  
.....  
*****"configuracion de puertos y transmision serial"*****  
.....  
ldaa #500 ;se configura el puerto a como entrada  
staa ddra  
staa ddrc ;se configura el puerto c como entrada  
ldaa #502 ;se configura para que bit 2 sea entrada en modo spi  
staa ddrd  
ldaa #530 ;se habilita velocidad de 9600 baudios  
staa baud  
ldaa #500  
staa sscr1 ;se configura para transmision y recepcion de 8 bits
```

## Apéndice B

ldaa #\$2c ;habilitar int. por rx e int generales, se encienden rx y tx  
staa scsr2

```
*****  
*****:programa principal*****  
*****  
***** salida de datos a la pc*****  
*****
```

```
inicio ldab #S01 ;se habilita la pc  
ldaa scsr ;leemos bandera de int. y se limpia  
bpl inicio ;espero  
stab scdr ;mandamos dato del acumulador b  
jnr retar  
dato ldaa scsr ;leemos bandera de int. y se limpia  
anda #RDRF  
beq dato  
ldab scdr ;leemos el dato que envia la pc  
cmpb #$10 ;compara con 10  
beq bruj1 ;brinca a bruj1  
cmpb #$11 ;comparamos con 11  
beq bruj2 ;brinca a bruj2  
cmpb #$12 ;compara con 12  
beq gala1 ;brinca a gala1  
cmpb #$13 ;comparamos con 13  
beq gala2 ;brinca a gala2  
cmpb #$14 ;compara con 14  
beq gcab1 ;brinca a gcab1  
cmpb #$15 ;comparamos con 15  
beq gcab2 ;brinca a gcab2  
cmpb #$16 ;compara con 16  
beq accl1 ;brinca a accl1  
cmpb #$17 ;comparamos con 17  
beq accl2 ;brinca a accl2  
cmpb #$1a ;compara con 1a  
beq accl1 ;brinca a accl1  
cmpb #$1b ;comparamos con 1b  
beq accl2 ;brinca a accl2  
cmpb #$18 ;compara con 18  
beq accl1 ;brinca a accl1  
cmpb #$19 ;comparamos con 19  
beq accl2 ;brinca a accl2  
jmp dato  
bruj1 ldab #S07 ;habilito lectura de la brujula  
stab portf  
jnr lect1 ;leemos parte alta  
jmp dato  
bruj2 ldab #S07 ;habilito lectura de la brujula  
stab portf  
jnr lect2 ;leemos parte baja  
jmp dato  
gala1 ldab #S06 ;habilito lectura del alabeo del giroscopo  
stab portf  
jnr lect1 ;leemos parte alta  
jmp dato  
gala2 ldab #S06 ;habilito lectura del alabeo  
stab portf  
jnr lect2 ;leemos parte baja  
jmp dato  
gcab1 ldab #S05 ;habilito lectura del cabeceo del giroscopo  
stab portf  
jnr lect1 ;leemos parte alta  
jmp dato  
gcab2 ldab #S05 ;habilito lectura del cabeceo  
stab portf  
jnr lect2 ;leemos parte baja  
jmp dato  
accl1 ldab #S02 ;habilito lectura del acelerometro x
```



## Apéndice B.

```

    stab portf
    jsr lect1 ;leemos parte alta
    jmp dato
aceb2 ldab #S02 ;habilito lectura del eje x
    stab portf
    jsr lect2 ;leemos parte baja
    jmp dato
acey1 ldab #S00 ;habilito lectura del acelerometro eje y
    stab portf
    jsr lect1 ;leemos parte alta
    jmp dato
acey2 ldab #S00 ;habilito lectura del eje y
    stab portf
    jsr lect2 ;leemos parte baja
    jmp dato
acez1 ldab #S04 ;habilito lectura del acelerometro eje z
    stab portf
    jsr lect1 ;leemos parte alta
    jmp dato
acez2 ldab #S04 ;habilito lectura del eje z
    stab portf
    jsr lect2 ;leemos parte baja
    jmp dato

*****Cargamos los datos de los puertos*****
lect1 ldaa acar ;leemos bandera de int. y se limpia
    bpl lect1 ;espero
    ldaa portc ;cargamos un dato "x"
    staa acdr ;mando parte alta del contador por el serial
    jsr rctar
    rts
lect2 ldaa acar ;leemos bandera de int. y se limpia
    bpl lect2 ;espero
    ldaa porta
    staa acdr ;mando parte baja
    jsr rctar
    rts
retar ldx #S0100
retard dex
    bnc retard
    rts
*****
*****Tabla de vectores de interrupcion (modo simple)*****
*****
    org $006 ; direccion del vector de interrupcion de Rx
    fcb $1c ; direccion de la rutina para recibir el dato(DAT)
    fcb $2f
    org $1ff ; vector de reset en modo simple
    fcb $fc ; inicio de eeprom (programa principal)
    fcb $00
    end

```

### • Programa en Lenguaje C.

```

/* Programa de Control del GPS */
#include <dos.h>
#include <conio.h>
#include <stdlib.h>
#include <stdio.h>
#include <math.h>
#include <bios.h>
#include <string.h>
#include <io.h>
#include "xcom.h"
#define GPGBA 0x01 /* Mensajes del GPS */
#define PMGLB 0x02
#define GPZDA 0x03
#define PMGLG 0x04
#define PMGLF 0x05

```

## Apéndice B.

```
#define VidNormal          0x71      /* Colores de caracteres en pantalla */
#define VidInverso        0x72
#define VidNormal1       0x07
#define VidNormal2       0xc1
#define VidNormal3       0x17
#define ColorMensaje     0x71
#define DirMemVid (char far *) 0x8000000; /* Dir memoria de video */
#define ESC              27         /* Tecla Escape */
#define Max_Frame       5          /* Maximo nivel de submenus */
#define Modo_Off        0
#define Modo_Soe        1
#define Modo_Gps        2
#define BYTE

/* Modulo de inicialización y Reestructuración del ambiente de la PC */
void ambiente(), restaura();

/* Modulo de información */
void ayuda(), activamenu(), dibujaborde(), despliegamenu(), submenu(), cierramenu();
void respuesta(), salir(), vtr(), ejecuta(), pulldown(), salvavideo(), restauravideo();
int make_menu(), esta_en(), validacion();

/* Modulo de presentación de información en pantalla */
void datosdelgps(), pantalla(), write_string(), write_char(), cls(), borrarcursor();
void cliensajes(), bordemensajes(), datosapantalla(), mensajes();

/* Modulo de comunicación con el GPS */
void inicializaom1(), com1reset(), gps();
void revisamensajesgps(), gpgga(), pmglb(), gzda(), pmglw(), pmglf();
int checagps(), npomensajesgps();
void generachecksun(), tx_gps(), al_gps(), leeomandogps(), inicializagps();
void pidedatosgps(), borragps(), generachecksunb();

/* Modulo de comunicacion con el SOE */
void soe(), inicializaom2(), datosbrujula(), datosgirocopo(), scal();
void borde(int lnx, int lny, int fnx, int fny, int atributo);

/* Modulo de manejo de archivos */
void almacena(), cerrar();

/* Variables Generales */
int dir_puerto, bparametro;
int num_menu, opcion, nueva_funcion, mensajesx, mensajey; /* De los menus */
float brujula, slabee, cabece;
struct registro { /* Formato de datos */
    float brujula, latitud, longitud, slabee, cabece;
    long altitud, tiempo,
    int error;
} datos;

int modo_operacion;
unsigned cual_gps, dato_gps, datos_gps; /* Comunicación con el GPS */
char cad_gps1[100], cad_gps2[100], mensaje_gps[100];
char caracter_gps[1];
int posicioncaracter=0;
struct menu_frame {
    int starx, endx, starty, endy;
    unsigned char *p;
    char **menu;
    char *llaves;
    int borde, contador;
    int activo;
} frame[Max_Frame];t;
char *Principal[] = { /* Menú Principal */
    "Archivos>", "SOE> ", "GPS> ",
    "Acerca de", "Cerrar ", " ", "Salir ",
    "Soe[] = {
    "Fin ";
    "Gps[] = {
    "Inicializa", "Mensajes ", "Datos ", "Reiniciar ", "Fin "};
```

```

/* Programa principal */
main()
{
    ambiente();
    for(;;){
        while(!kbhit());
        activamenu();
        switch(modo_operacion){
            case Modo_Off: if(nueva_funcion) ejecuta();
            case Modo_Soe: soe();
            case Modo_Gps: gps();
            default:;
        }
    }
}

/* Condiciones iniciales */
void ambiente()
{
    outportb(0x0021,0xB5);
    pantalla();
    bordermensajes();
    make_menu(0, Principal, "Tvg",3,0,68,1);
    make_menu(1, Archivos, "acvs", 4,2,68,1);
    make_menu(3, Soe, "T", 1,3,63,1);
    make_menu(4, Gps, "mdrf", 5,4,66,1);
    /* Inicializa variables globales */
    modo_operacion = Modo_Off;
    nueva_funcion = 0;
    num_menu = 0;
    opcion = 0;
    mensajesx = 19;
    mensajesy = 1;
    cual_gps = 0x01;
    dato_gps = 0x00;
    datos_gps = 0x00;
    poscioncaracter = 0;

    cad_gps1[0] = 0x00;
    cad_gps2[0] = 0x00;
    mensaje_gps[0] = 0x00;
    caracter_gps[1] = 0x00;
    /* Despliega el menu principal */
    salvavideo(num_menu);

    frame(num_menu).activo = 1;
    dibujaborde(num_menu);
    desplegamenu(num_menu);
    return;
}

/* Restaura el estado que existia antes del programa */
void restaura()
{
    outportb(0x0021,0xB5);
    return;
}

/* Despliega pantalla principal */
void pantalla()
{
    char *pantalla[] = {
        "Fecha", "Tiempo.", "Latitud", "Longitud", "Altitud",
        "Brujula", "Alabeo", "Cabeceo."};
}

```

## Apéndice B

```

cla();
write_string(2,1,pantalla[0],VidNormal1);
write_string(3,1,pantalla[1],VidNormal1);
write_string(4,1,pantalla[2],VidNormal1);
write_string(5,1,pantalla[3],VidNormal1);
write_string(6,1,pantalla[4],VidNormal1);
write_string(8,1,pantalla[5],VidNormal1);
write_string(9,1,pantalla[6],VidNormal1);
write_string(10,1,pantalla[7],VidNormal1);
return;
}

/* Borra pantalla */
/* Mensajes a pantalla */

/* Despliega una cadena con acceso directo a memoria de video */
void write_string(ren, col, p, atributo)
int ren, col;
char *p;
int atributo;
/* Renglon y columna de inicio */
/* Apunta al inicio de una cadena */
/* Color del caracter a desplegar */
{
    register int i;
    char far *v;

    v = DirMemVid;
    v += (ren*160) + col*2;
    for(i=col; i++;){
        *v++ = *p++;
        *v++ = atributo;
    }
    return;
}

/* Despliega un caracter con acceso directo a memoria de video */
void write_char(x,y,ch,atributo)
int x, y;
char ch;
int atributo;
/* Posicion en pantalla */
/* Caracter a mostrar en pantalla */
/* Color del caracter */
{
    register int i;
    char far *v;
    v = DirMemVid;
    v += (x*160) + y*2;
    *v++ = ch;
    *v = atributo;
    return;
}

/* Borra la pantalla */
void cla()
{
    union REGS r;
    r.h.sh=8;
    r.h.si=0;
    r.h.ch=0;
    r.h.cl=0;
    r.h.dh=24;
    r.h.dl=79;
    r.h.bh=7;
    int86(0x10, &r, &r);
    return;
}

/* Borra la ventana de mensajes */
void clrmenajes()
{
    char far *v;
    int i, j;
    v = DirMemVid;
    v += 19*160;
    for(i=19; i<=34; i++){
        for(j=0; j<=89; j++){
            *v++ = " ";
        }
    }
}

```

## Apéndice B

```
        *v++ = ColorMensaje;           /* Especifica atributo */
    }
    return;
}

/* Borra el cursor */
void borracursor()
{
    union REGS r;
    r.x.cx=0x2000;
    r.h.sh=0x01;
    int86(0x10, &r, &r);
    return;
}

/* Crea menu y asigna memoria para soportarlo */
int make_menu(num, menu, llaves, contador, x, y, borde)
int num;
char *menu[], *llaves;
int contador, x, y, borde;
{
    register int i, len;
    int endx, endy, eleccion;
    unsigned char *p;

    /* Evita errores */
    /* Demasiados menus */
    if((num>Max_Frame) {
        printf("Demasiados Menus\n");
        exit(0);           /* Suspende la ejecucion del programa */
    }

    /* Error en las coordenadas */
    if((x>24||x<0||y>79||y<0){
        printf("\nError en las coordenadas del menu\n");
        exit(0);
    }

    /* Error en el tamaño del menú */
    len = 0;
    for(i=0; i<contador; i++)
        if(strlen(menu[i])>len) len = strlen(menu[i]);
        endy=len+1+y;
        endx=contador+1+x;
        if((endx+1 > 34)||((endy+1 > 80))){
            printf("\n El menu no cabe\n");
            clrscr();
            exit(0);
        }

    /* Asigna suficiente memoria para soportarlo */
    p = (unsigned char *)malloc(2*(endx-x+1)*(endy-y+1)+10);
    if(!p) exit(1);      /* Aborta en caso de error */
    frame[num].starbx=x, frame[num].endx=endx;           /* Construye el marco del menu */
    frame[num].starby=y, frame[num].endy=endy;
    frame[num].p=p;
    frame[num].menu=(char **)menu;
    frame[num].borde=borde;
    frame[num].llaves=llaves;
    frame[num].contador=contador;
    frame[num].activo=0;
    return(1);
}

/* Activa menu o responde a la tecla presionada */
void activamenu()
{
    switch(frame[0].activo){
        case 1: respuesta();           /* Responde a la tecla presionada */
            break;
        case 0: num_menu = 0;           /* Activa el menu */
            opcion = 0;
            pulldown(0);
            blockey(0);           /* Elimina la tecla presionada */
    }
}
```

## Apéndice B.

```
    return;
}

/* Control de menus, respuesta a la tecla presionada */
void respuesta()
{
    union llave {
        char ch[2];           /* Tecla presionada */
        int i;
    } c;
    int llave_elegida, temporal;           /* Si es una tecla especial */

    c.i = bioskey(0);                     /* Lee la tecla */
    write_string(frame[num_menu].startx+1+opcion,           /* Video normal */
                frame[num_menu].starty+1,frame[num_menu].menu[opcion],VidInverso);
    if(c.ch[0]){                           /* Si es tecla normal */
        llave_elegida = esta_en(frame[num_menu].llaves,
                                tolower(c.ch[0]));          /* Checa si es letra especial */
        temporal = opcion;
        opcion = llave_elegida-1;
        if (llave_elegida && validacion()){                 /* Si es valida la nueva opción */
            write_string(frame[num_menu].startx+1+opcion,           /* Video inverso la nueva opción */
                        frame[num_menu].starty+1,frame[num_menu].menu[opcion],VidNormal);
            submenu();                                             /* Checa si existe submenu */
        } else opcion = temporal;                                 /* Restaura opción anterior */

        switch(c.ch[0]){                                         /* Checa si es enter o barra espaciadora */
            case '\r':
                write_string(frame[num_menu].startx+1+opcion,           /* Video inverso la nueva
opcion */
                            frame[num_menu].starty+1,frame[num_menu].menu[opcion],VidNormal);
                submenu();                                             /* Checa si existe submenu */
                break;
            case ' ':
                /* Checa validacion de la opción */
                do ++opcion; while(!validacion());
                break;
            case ESC:
                /* Cierra el menu abierto */
                cierramenu();
                if(!frame[num_menu].activo) return;
                break;
        }
    }
    else {
        switch(c.ch[1]){                                         /* Checa si se presiono una flecha */
            case '72':
                do --opcion; while(!validacion());                /* Validacion de opción */
                break;
            case '80':
                do ++opcion; while(!validacion());                /* Validacion de opción */
                break;
        }
        write_string(frame[num_menu].startx+1+opcion,           /* Video Inverso la nueva opción */
                    frame[num_menu].starty+1,frame[num_menu].menu[opcion],VidNormal);
        return;
    }
}

/* Activa el menu correspondiente */
void pulldown(num)
int num;
/* Numero de menu a activar */
{
    if(!frame[num].activo){                                     /* Activa el menu */
        salvavideo(num);                                       /* Salva la parte de video */
        frame[num].activo = 1;
        dibujaborde(num);                                     /* Dibuja el borde del menu */
        desplagemenu(num);                                    /* Despliega el menu */
    }
    return;
}

/* Dibuja el borde del menu */
void dibujaborde(num)
```

## Apéndice B.

```
int num;                                /* Número de menú */
{
    register int i;
    char far *v, far *t;
    v = DirMemVid;                       /* Dir memoria video */
    t = v;
    for(i=frame[num].startx+1; i<frame[num].endx; i++){
        v += ((*160) + frame[num].starty)*2;    /* calcula la dirección */
        *v++ = 179;                             /* Escribe caracter */
        *v = VidInverso;                         /* Especifica atributo */
        v = t;
        v += ((*160) + frame[num].endy)*2;      /* calcula la dirección */
        *v++ = 179;                             /* Escribe caracter */
        *v = VidInverso;                         /* Especifica atributo */
        v = t;
    }

    for(i=frame[num].starty+1; i<frame[num].endy; i++){
        v += (frame[num].startx*160) + i*2;      /* calcula la dirección */
        *v++ = 196;                             /* Escribe caracter */
        *v = VidInverso;                         /* Especifica atributo */
        v = t;
        v += (frame[num].endx*160) + i*2;      /* calcula la dirección */
        *v++ = 196;                             /* Escribe caracter */
        *v = VidInverso;                         /* Especifica atributo */
        v = t;
    }
    /* Caracteres 191,192,217,218 */
    write_char(frame[num].startx, frame[num].starty, 215, VidInverso);
    write_char(frame[num].startx, frame[num].endy, 191, VidInverso);
    write_char(frame[num].endx, frame[num].starty, 192, VidInverso);
    write_char(frame[num].endx, frame[num].endy, 214, VidInverso);
    return;
}

/* Dibuja el borde de la ventana de mensajes */
void bordemensajes()
{
    register int i;
    char far *v, far *t;
    v = DirMemVid;
    t = v;
    for(i=18; i<=24; i++){
        v += ((*160));                          /* Calcula la dirección */
        *v++ = 179;                             /* Escribe caracter */
        *v = ColorMensaje;                      /* Especifica atributo */
        v = t;
        v += ((*160)+158);                       /* Calcula la dirección */
        *v++ = 179;                             /* Escribe caracter */
        *v = ColorMensaje;                      /* Especifica atributo */
        v = t;
    }

    for(i=0; i<=79; i++){
        v += (2860) + i*2;                       /* Calcula la dirección */
        *v++ = 196;                             /* Escribe caracter */
        *v = ColorMensaje;                      /* Especifica atributo */
        v = t;
        v += (3840) + i*2;                       /* Calcula la dirección */
        *v++ = 196;                             /* Escribe caracter */
        *v = ColorMensaje;                      /* Especifica atributo */
        v = t;
    }

    /* Caracteres 191,192,217,218 */
    write_char(18, 0, 218, ColorMensaje);
    write_char(18, 79, 191, ColorMensaje);
    write_char(24, 0, 192, ColorMensaje);
    write_char(24, 79, 217, ColorMensaje);
    write_string(18, 35, "Mensajes", ColorMensaje);
    return;
}
```

## Apéndice B.

```
}

/* Despliega el menú */
void desplegamenu(num)
int num;                                /* Numero de menú */
{
    register int i, x,
    char **m;

    x = frame[num].startx+1;             /* Renglon en pantalla */
    m = frame[num].menu;                 /* Opciones del menú */
    for(i=0; i<frame[num].contador; i++) /* Video normal las opciones */
        write_string(x, frame[num].starty+1, m[i], VidInverso);

    write_string(frame[num].startx+opcion, frame[num].starty+1,
    m[opcion], VidNormal);               /* Video Inverso la opcion */
    return;
}

/* Checa si es una letra especial del menú */
int esta_en(s, c)
char *s, c;                              /* s->letras especiales, c->letra presionada */
{
    register int i;
    for(i=0; *s; i++) if(*s++ == c) return(i+1);
    return(0);
}

/* Salva porción de video utilizado por menú */
void salvavideo(num)
int num;                                /* Numero de menú */
{
    register int i, j;
    char *buf_ptr;
    char far *v, far *t;

    buf_ptr = frame[num].p;              /* Dir donde se almacenará la porcion de video */
    v = DirMemVid;                       /* Dir memoria de video */
    for(i=frame[num].starty; i<frame[num].endy+1; i++)
        for(j=frame[num].startx; j<frame[num].endx+1; j++){
            t = (v+(i*160) + j*2);        /* Dir de la porcion de video */
            *buf_ptr++ = *t++;           /* Salva el caracter de la porcion de video */
            *buf_ptr++ = *t++;           /* Salva su atributo */
            *(t-1) = '\0';               /* Limpia la porcion de video */
            *t = VidNormal;
        }
    return;
}

/* Restaura la porcion de video utilizado por el menú */
void restauravideo(num)
int num;                                /* Numero de menú */
{
    register int i, j;
    char *buf_ptr;
    char far *v, far *t;

    buf_ptr = frame[num].p;              /* Dir de respaldo de la porcion de video */
    v = DirMemVid;                       /* Dir memoria de video */
    t = v;
    for(i=frame[num].starty; i<frame[num].endy+1; i++)
        for(j=frame[num].startx; j<frame[num].endx+1; j++){
            v = t;
            v += (i*160) + j*2;           /* Calcula la dirección del renglon y columna */
            *v++ = *buf_ptr++;           /* Restaura caracter de la porcion de video */
            *v = *buf_ptr++;            /* Restaura atributo */
        }
    frame[num].activo=0;                  /* Desactiva menú */
    return;
}
```



## Apéndice B.

```
/* Cierra el menu correspondiente */
void cierramenu()
{
    if(frame[num_menu] activo){
        restauravideo(num_menu); /* Restaura la porcion de video utilizada */
        switch(num_menu){
            case 0: break;
            case 1: num_menu = 0; /* Menú activo principal */
                    opcion = 0;
                    break;
            case 3: num_menu = 0; /* Menú activo GPS */
                    opcion = 1;
                    break;
            case 4: num_menu = 0;
                    opcion = 2;
                    break;
        }
    }
    return;
}

/* Llamada al submenú */
void submenu()
{
    switch(num_menu){
        case 0: switch(opcion){
            case 0: num_menu = opcion+1;
                    if(modo_operacion != Modo_Off) opcion = 0;
                    pulldown(num_menu); /* Activa submenu Archivos */
                    break;
            case 1: modo_operacion = Modo_Soe;
                    num_menu = 3;
                    opcion = 0;
                    pulldown(num_menu);
                    break;
            case 2: modo_operacion = Modo_Gps;
                    num_menu = 4;
                    opcion = 0;
                    pulldown(num_menu); /* Activa submenu GPS */
                    break;
        }
        default: nueva_funcion = 1;
    }
    return;
}

/* Validación de la nueva opción del menu activo */
int validacion()
{
    if(opcion==frame[num_menu].contador) opcion=0; /* Filtro de tope de la opción */
    if(opcion<0) opcion = frame[num_menu].contador-1;

    switch(num_menu){
        case 0: switch(modo_operacion){
            case Modo_Off: break; /* Todas validas */
            case Modo_Soe: if(opcion == 2) return(0);
                    break;
            case Modo_Gps: if(opcion==1) return(0); /* Opcion no valida */
                    break;
        }
        break;
        case 1: switch(modo_operacion){
            case Modo_Off: if(opcion<3) return(0); /* Opciones no validas */
                    break;
            case Modo_Gps: if(opcion==2) return(0); /* Opcion no valida */
                    break;
        }
        default: return(1);
    }
}
```

```

    }
    return(1);
}

/* Ejecuta la funcion elegida */
void ejecuta()
{
    switch(num_menu){
        case 0: break; /* No realiza tareas */
        case 1: switch(opcion){
            case 0: ayuda(); /* Salir del programa */
            break;
            case 1: cerrar(); /* Salir del programa */
            break;
            case 2: ayuda();
            break;
            case 3: salir(); /* Salir del
                programa */
            break;
            default:}
        case 3: switch(opcion){
            case 0: modo_operacion = Modo_Off;
            cierramenu(3);
            break;
            default: }
        case 4: switch(opcion){
            case 0: inicializagps(); /* Comunicacion con el GPS */
            break;
            case 1: al_gps(); /* TX mensajes al GPS */
            break;
            case 2: pidedatosgps(); /* Datos utilizados */
            break;
            case 3: borragps(); /* Borra la memoria del GPS */
            break;
            case 4: modo_operacion = Modo_Off;
            cierramenu(4);
            break;
            default: break;}
        break;
        default:}
    nueva_funcion = 0;
    return;
}

/* Salida del programa */
void salir()
{
    cerrar(); /* Cierra el archivo */
    restaura(); /* Restaura estado de PC */
    clr(); /* Borra la pantalla */
    clrscr();
    exit(0); /* Aborta el programa */
}

/* Maneja la ventana de mensajes */
void mensajes(mensaje,atributo)
char *mensaje; /* mensaje a la ventana */
int atributo; /* Color */
{
    char far *v, far *t, far *z;
    int i, j;

    if(mensajesx == 24){ /* Recorra los renglones de la ventana */
        z = DirMemVid; /* Direccion memoria de video */
        for(i=20; i<=23; i++){
            t = z + ((i-1)*160)+2; /* Dir renglon anterior */
            v = z + (i*160) +2; /* Dir renglon */
        }
    }
}

```

## Apéndice B

```

        for(j=1;j<=78;j++){
            *i++ = *v;
            *i++ = *(v+1);
            *v++ = *i;
            *v++ = VidNormal3;
        }
        mensajesx=23;
    }
    write_string(mensajesx++,mensajesy,mensaje,atributo);
    return;
}

/* Opcion de cerrar archivos */
void cerrar()
{
    mensajes("Ningun menu seleccionado", VidNormal3);
}

/* Crea una ventana de mensaje */
void ayuda()
{
    mensajes("SOE version 1.1", VidNormal2);
    mensajes("Programa que muestra la orientacion de una aeronave", VidNormal2);
    mensajes("Realizado por:", VidNormal2);
    mensajes("    Marcelo Bastida Tapia", VidNormal2);
    mensajes("Julio de 1999", VidNormal2);
    delay(1000);
    return;
}

/* Fijar los parametros de comunicaciones */
void parcom(long velocidad,int paridad,int bdatos,int parada)
{
    unsigned int divisor;
    unsigned char lab,msb;
    BYTE bparametro;
    divisor=115200/velocidad;
    msb=divisor>>8;
    lab=(divisor<<8)>>8;

    outportb(REG_FDATOS,FDATOS_DLAB);
    outportb(dir_puerto,lab);
    outportb(dir_puerto+1,msb);

    bparametro=bdatos-5;

    /* Habilita acceso al registro */
    /* lab del divisor */
    /* msb del divisor */

    if (parada==2)
        bparametro|=FDATOS_PARADA;

    if (paridad==PARIDAD_NO)
        bparametro|=FDATOS_PARIDAD_SN;

    if (paridad==PARIDAD_PAR)
        bparametro|=FDATOS_PARIDAD_TIPO;

    outportb(REG_FDATOS,bparametro);
}

/* Inicializa el puerto para el SOE */
void inicializacom2()
{
    delay(1);
    dir_puerto= 0x2f8;
    parcom(9600,PARIDAD_NO,8,1);
    de_parada;
    delay(1);
}

```

## Apéndice B

```
    outports(0x2f9, 0x01);          /* Interrupción por RX habilitada */
    mensajes("Comunicacion por Comm2 a 9600 bauds", VidNormal3);
    return;
}

/* Inicializa el puerto para el GPS */
void inicializacom1()
{
    delay(1);
    dir_puerto= 0x3f8;              /* Comm1 */
    parcom(9600,PARIDAD_NO,8,1);   /* Velocidad de trans 9600, sin paridad, 8 bits de datos, 1 bit
de parada */
    delay(1);
    outports(0x3f9, 0x01);         /* Interrupción por RX habilitada */
    mensajes("Comunicacion por Comm1 a 9600 bauds", VidNormal3);
    return;
}

/* Reestablece Comm1 */
void com1reset()
{
    delay(1);
    dir_puerto= 0x3f8;              /* Comm1 */
    parcom(9600,PARIDAD_NO,8,1);
    delay(1);
    outports(0x3f9, 0x00);         /* Interrupción por RX deshabilitada */
    mensajes("Comunicacion por Comm1 a 9600 bauds", VidNormal3);
    return;
}

/* Reestablece Comm2 */
void com2reset()
{
    delay(1);
    dir_puerto= 0x2f8;              /* Comm2 */
    parcom(9600,PARIDAD_NO,8,1);
    delay(1);
    outports(0x2f9, 0x00);         /* Interrupción por RX deshabilitada */
    mensajes("Comunicacion por Comm2 a 9600 bauds", VidNormal3);
    return;
}

/* Muestra los datos en pantalla */
void datosapantalla()
{
    int i;
    gotoxy(12,5);
    printf("%8.2f",datos.latitud);
    gotoxy(11,6);
    printf("%9.2f",datos.longitud);
    gotoxy(13,7);
    printf("%6d Mts.", datos.altitud);
    gotoxy(16,9);
    printf("%3.1f",brujula);
    gotoxy(16,10);
    printf("%3.1f",siabeo);
    gotoxy(16,11);
    printf("%3.1f",cabecao);
    return;
}

/* Modo SOE condiciones iniciales */
void soe()
{
    inicializacom2();              /* Inicializa Com1 comunicacion SOE
*/
    while (modo_operacion == Modo_Soe){          /* Ciclo de espera para salida */
        datosbrujula();
        datosgiroscopo();
        if(kbhit()){ activamenu();              /* Atiende al usuario */
    }
}
```

## Apéndice B.

```
        if(nueva_funcion) ejecuta();
    }
    com2reset();
    cerrar();
    return;
}

/* Recibiendo los datos de la brújula */
void datosbrujula()
{
    int dato, dato1;
    float data;

    outportb(0x2f8,0x10); /* Solicita parte alta de la brújula */
    delay(10);
    dato=inportb(0x2f8); /* Lee lo que hay en el puerto COM2 */
    outportb(0x2f8,0x1f); /* Solicito parte baja de la brújula */
    delay(10);
    dato1=inportb(0x2f8); /* Lee lo que hay en el puerto COM2 */
    data=(dato*255)+dato1;
    brujula=data/10;
    if ( brujula==0 ) /* Mando el dato a pantalla */
    {
        gotoxy(16,9);
        printf("0.0 N",brujula); /* se pone en pantalla */
    }
    if ( brujula> 0 && brujula < 90 )
    {
        gotoxy(16,9);
        printf("%3.1f NW",brujula); /* se pone en pantalla */
    }
    if ( brujula==90 )
    {
        gotoxy(16,9);
        printf("0.0 W",brujula); /* se pone en pantalla */
    }
    if ( brujula > 90 && brujula < 180 )
    {
        brujula=180-brujula;
        gotoxy(16,9);
        printf("%3.1f SW",brujula); /* se pone en pantalla */
    }
    if ( brujula==180 )
    {
        gotoxy(16,9);
        printf("0.0 S",brujula); /* se pone en pantalla */
    }
    if ( brujula > 180 && brujula < 270 )
    {
        brujula=brujula-180;
        gotoxy(16,9);
        printf("%3.1f SE",brujula); /* se pone en pantalla */
    }
    if ( brujula==270 )
    {
        gotoxy(16,9);
        printf("0.0 E",brujula); /* se pone en pantalla */
    }
    if ( brujula > 270 && brujula < 360 )
    {
        brujula=360-brujula;
        gotoxy(16,9);
        printf("%3.1f NE",brujula); /* se pone en pantalla */
    }
    return;
}

/* Datos del SOE, parte giroscopo */
void datosgiroscopo()
{
```

## Apéndice B.

```
int dato2, dato3, dato4, dato5;

outportb(0x2f8,0x12);           /* Pide parte alta del alabeo */
delay(10);
dato2=inportb(0x2f8);           /* Lee lo que hay en el puerto COM2 */
outportb(0x2f8,0x13);         /* Pide parte baja del alabeo */
delay(10);
dato3=inportb(0x2f8);           /* Lee lo que hay en el puerto COM2 */
outportb(0x2f8,0x14);         /* Pide parte alta del cabeceo */
delay(10);
dato4=inportb(0x2f8);           /* Lee lo que hay en el puerto COM2 */
outportb(0x2f8,0x15);         /* Pide parte baja del cabeceo */
delay(10);
dato5=inportb(0x2f8);           /* Lee lo que hay en el puerto COM2 */
alabeo=(dato2*256)+dato3;
cabeceo=(dato4*256)+dato5;
if ( alabeo>=2550 )
{
    gotoxy(16,10);
    Datos a la pantalla /*
    pantalla /*          printf("Inclinación mayor a -50 Grados");;          /* se pone en
}
if ( alabeo > 2465 && alabeo < 2550 )
{
    alabeo=-(((alabeo-2465)/85)+40);
    gotoxy(16,10);
    Datos a la pantalla /*          printf("%3.1f Grados", alabeo);          /* se pone en pantalla */
}
if ( alabeo==2465 )
{
    gotoxy(16,10);
    Datos a la pantalla /*          printf("-40 Grados");;          /* se pone en pantalla */
}
if ( alabeo > 2388 && alabeo < 2465 )
{
    alabeo=-(((alabeo-2388)/77)+30);
    gotoxy(16,10);
    Datos a la pantalla /*          printf("%3.1f Grados", alabeo);          /* se pone en pantalla */
}
if ( alabeo==2388 )
{
    gotoxy(16,10);
    Datos a la pantalla /*          printf("-30 Grados");;          /* se pone en pantalla */
}
if ( alabeo > 2295 && alabeo < 2388 )
{
    alabeo=-(((alabeo-2295)/93)+20);
    gotoxy(16,10);
    Datos a la pantalla /*          printf("%3.1f Grados", alabeo);          /* se pone en pantalla */
}
if ( alabeo==2295 )
{
    gotoxy(16,10);
    Datos a la pantalla /*          printf("-20 Grados");;          /* se pone en pantalla */
}
if ( alabeo > 2184 && alabeo < 2295 )
{
    alabeo=-(((alabeo-2184)/11)+10);
    gotoxy(16,10);
    Datos a la pantalla /*          printf("%3.1f Grados", alabeo);          /* se pone en pantalla */
}
if ( alabeo==2184 )
```

*Apéndice B.*

```

{
    gotoxy(16,10);
    Datos a la pantalla */
    printf("-10 Grados");
    /* se pone en pantalla */
}
if ( alabeo > 2047 && alabeo < 2184 )
{
    alabeo=((alabeo-2047)/137);
    gotoxy(16,10);
    Datos a la pantalla */
    printf("%3.1f Grados", alabeo);
    /* se pone en pantalla */
}
if ( alabeo==2047 )
{
    gotoxy(16,10);
    Datos a la pantalla */
    printf("0 Grados");
    /* se pone en pantalla */
}
if ( alabeo > 1885 && alabeo < 2047 )
{
    alabeo=((alabeo-1885)/162);
    gotoxy(16,10);
    Datos a la pantalla */
    printf("%3.1f Grados", alabeo);
    /* se pone en pantalla
*/
}
if ( alabeo==1885 )
{
    gotoxy(16,10);
    Datos a la pantalla */
    printf("10 Grados");
    /* se pone en pantalla */
}
if ( alabeo > 1740 && alabeo < 1885 )
{
    alabeo=((alabeo-1740)/145)*10;
    gotoxy(16,10);
    Datos a la pantalla */
    printf("%3.1f Grados", alabeo);
    /* se pone en pantalla
*/
}
if ( alabeo==1740 )
{
    gotoxy(16,10);
    Datos a la pantalla */
    printf("20 Grados");
    /* se pone en pantalla */
}
if ( alabeo > 1561 && alabeo < 1740 )
{
    alabeo=((alabeo-1561)/179)+20;
    gotoxy(16,10);
    Datos a la pantalla */
    printf("%3.1f Grados", alabeo);
    /* se pone en pantalla
*/
}
if ( alabeo==1561 )
{
    gotoxy(16,10);
    Datos a la pantalla */
    printf("30 Grados");
    /* se pone en pantalla */
}
if ( alabeo > 1390 && alabeo < 1561 )
{
    alabeo=((alabeo-1390)/171)+30;
    gotoxy(16,10);
    Datos a la pantalla */
    printf("%3.1f Grados", alabeo);
    /* se pone en pantalla
*/
}
if ( alabeo==1390 )
{

```

*Apéndice B.*

```

Datos a la pantalla */      gotoxy(16,10);
                             printf("40 Grados");
                             /* se pone en pantalla */
    }
    if ( alabeo > 1245 && alabeo < 1390 )
    {
        alabeo=((alabeo-1245)/145)+40;
        gotoxy(16,10);
Datos a la pantalla */      /* se pone en pantalla
*/
    }
    if ( alabeo<=1245 )
    {
        gotoxy(16,10);
Datos a la pantalla */      /* se pone en
pantalla */
    }
    /* Datos del giroscopo (cabeceo) */
    if ( cabeceo<=1480 )
    {
        gotoxy(16,11);
Datos a la pantalla */      /* se pone en
pantalla */
    }
    if ( cabeceo > 1480 && cabeceo < 1581 )
    {
        cabeceo=-(((cabeceo-1480)/1101)+50);
        gotoxy(16,11);
Datos a la pantalla */      /* se pone en
pantalla */
    }
    if ( cabeceo==1581 )
    {
        gotoxy(16,11);
Datos a la pantalla */      /* se pone en pantalla */
    }
    printf("-50 Grados");
    if ( cabeceo > 1581 && cabeceo < 1672 )
    {
        cabeceo=-(((cabeceo-1581)/91)+40);
        gotoxy(16,11);
Datos a la pantalla */      /* se pone en
pantalla */
    }
    if ( cabeceo==1672 )
    {
        gotoxy(16,11);
Datos a la pantalla */      /* se pone en pantalla */
    }
    printf("-48 Grados");
    if ( cabeceo > 1672 && cabeceo < 1764 )
    {
        cabeceo=-(((cabeceo-1672)/92)+30);
        gotoxy(16,11);
Datos a la pantalla */      /* se pone en
pantalla */
    }
    if ( cabeceo==1764 )
    {
        gotoxy(16,11);
Datos a la pantalla */      /* se pone en pantalla */
    }
    printf("-30 Grados");
}

```



## Apéndice B.

```

    if ( cabeceo > 1764 && cabeceo < 1855 )
    {
        cabeceo=-((cabeceo-1754)/91)+20;
        gotoxy(16,11);
        Datos a la pantalla "/
        pantalla "/
        printf("%3.1f    Grados", cabeceo);
        /* se pone en
    }
    if ( cabeceo==1855 )
    {
        gotoxy(16,11);
        Datos a la pantalla "/
        pantalla "/
        printf("-20 Grados");
        /* se pone en pantalla */
    }
    if ( cabeceo > 1855 && cabeceo < 1936 )
    {
        cabeceo=-((cabeceo-1855)/81)+10;
        gotoxy(16,11);
        Datos a la pantalla "/
        pantalla "/
        printf("%3.1f    Grados", cabeceo);
        /* se pone en
    }
    if ( cabeceo==1936 )
    {
        gotoxy(16,11);
        Datos a la pantalla "/
        pantalla "/
        printf("-10 Grados");
        /* se pone en pantalla */
    }
    if ( cabeceo > 1936 && cabeceo < 2047 )
    {
        cabeceo=-((cabeceo-1936)/111);
        gotoxy(16,11);
        Datos a la pantalla "/
        pantalla "/
        printf("%3.1f    Grados", cabeceo);
        /* se pone en
    }
    if ( cabeceo==2047 )
    {
        gotoxy(16,11);
        Datos a la pantalla "/
        pantalla "/
        printf("0 Grados");
        /* se pone en pantalla */
    }
    if ( cabeceo > 2047 && cabeceo < 2149 )
    {
        cabeceo=((cabeceo-2047)/102);
        gotoxy(16,11);
        Datos a la pantalla "/
        pantalla "/
        printf("%3.1f    Grados", cabeceo);
        /* se pone en
    }
    if ( cabeceo==2149 )
    {
        gotoxy(16,11);
        Datos a la pantalla "/
        pantalla "/
        printf("19 Grados");
        /* se pone en pantalla */
    }
    if ( cabeceo > 2149 && cabeceo < 2250 )
    {
        cabeceo=((cabeceo-2149)/101)+10;
        gotoxy(16,11);
        Datos a la pantalla "/
        pantalla "/
        printf("%3.1f    Grados", cabeceo);
        /* se pone en
    }
    if ( cabeceo==2250 )
    {
        gotoxy(16,11);
        Datos a la pantalla "/
        pantalla "/
        printf("20 Grados");
        /* se pone en pantalla */
    }
}

```

## Apéndice B.

```

    if ( cabeceo > 2250 && cabeceo < 2372 )
    {
        cabeceo=((cabeceo-2250)/122)+20;
        gotoxy(16,11);
        Datos a la pantalla */
        pantalla */
        printf("%3.1f    Grados", cabeceo);
        /* se pone en
    }
    if ( cabeceo==2372 )
    {
        gotoxy(16,11);
        Datos a la pantalla */
        printf("30 Grados");
        /* se pone en pantalla */
    }
    if ( cabeceo > 2370 && cabeceo < 2483 )
    {
        cabeceo=((cabeceo-2370)/111)+30;
        gotoxy(16,11);
        Datos a la pantalla */
        pantalla */
        printf("%3.1f    Grados", cabeceo);
        /* se pone en
    }
    if ( cabeceo==2483 )
    {
        gotoxy(16,11);
        Datos a la pantalla */
        printf(" 40 Grados");
        /* se pone en pantalla */
    }
    if ( cabeceo > 2483 && cabeceo < 2625 )
    {
        cabeceo=((cabeceo-2483)/142)+40;
        gotoxy(16,11);
        Datos a la pantalla */
        pantalla */
        printf("%3.1f    Grados", cabeceo);
        /* se pone en
    }
    if ( cabeceo==2625 )
    {
        gotoxy(16,11);
        Datos a la pantalla */
        printf(" 50 Grados");
        /* se pone en pantalla */
    }
    if ( cabeceo > 2625 && cabeceo < 2818 )
    {
        cabeceo=((cabeceo-2625)/193)+50;
        gotoxy(16,11);
        Datos a la pantalla */
        pantalla */
        printf("%3.1f    Grados", cabeceo);
        /* se pone en
    }
    if ( cabeceo==2818 )
    {
        gotoxy(16,11);
        Datos a la pantalla */
        pantalla */
        printf("Inclinación mayor a 60 Grados");
        /* se pone en
    }

    return;
}

/* Recepción de datos acelerómetros */
void accel()
{
    int dato, dato1, dato2, dato3, dato4, dato5, dato10, dato11, dato12, dato13, dato14, dato15;
    int acebx, acebx1, acebx3, acey, acey1, acey3;
    int acez, acez1, acez3;
    outportb(REG_TX,0x10);

```

## Apéndice B.

```
delay(10);
dato=inporth(REG_RX);          /* Lee lo que hay en el puerto COM2 */
outportb(REG_TX,0x17);
delay(10);
dato1=inporth(REG_RX);        /* Lee lo que hay en el puerto COM2 */
aceb=(dato*256)+dato1;
outportb(REG_TX,0x1a);
delay(10);
dato2=inporth(REG_RX);        /* Lee lo que hay en el puerto COM2 */
outportb(REG_TX,0x1b);
delay(10);
dato3=inporth(REG_RX);        /* Lee lo que hay en el puerto COM2 */
acey=(dato2*256)+dato3;
outportb(REG_TX,0x18);
delay(10);
dato4=inporth(REG_RX);        /* Lee lo que hay en el puerto COM2 */
outportb(REG_TX,0x19);
delay(10);
dato5=inporth(REG_RX);        /* Lee lo que hay en el puerto COM2 */
acez=(dato4*256)+dato5;
delay(100);
outportb(REG_TX,0x16);
delay(10);
dato10=inporth(REG_RX);       /* Lee lo que hay en el puerto COM2 */
outportb(REG_TX,0x17);
delay(10);
dato11=inporth(REG_RX);       /* Lee lo que hay en el puerto COM2 */
acek1=(dato10*256)+dato11;
outportb(REG_TX,0x1a);
delay(10);
dato12=inporth(REG_RX);       /* Lee lo que hay en el puerto COM2 */
outportb(REG_TX,0x1b);
delay(10);
dato13=inporth(REG_RX);       /* Lee lo que hay en el puerto COM2 */
acey1=(dato12*256)+dato13;
outportb(REG_TX,0x18);
delay(10);
dato14=inporth(REG_RX);       /* Lee lo que hay en el puerto COM2 */
outportb(REG_TX,0x19);
delay(10);
dato15=inporth(REG_RX);       /* Lee lo que hay en el puerto COM2 */
acez1=(dato14*256)+dato15;

if ( aceb == acek1 )
{
  distanciaz=((.5*(acek1-2020)/86.67)^(.1))+ distanciaz;
}
else
{
  acek3=(acek1-aceb)/86.67;
  distanciaz=(.5*acek3^(.01))+distanciaz;
}
if ( acely == acely1 )
{
  distanciaz=((.5*(acely1-2020)/86.67)^(.1))+ distanciaz;
}
else
{
  acely3=(acely1-acely)/86.67;
  distanciaz=(.5*acely3^(.01))+distanciaz;
}
if ( acek1 == acek1 )
{
  distanciaz=((.5*(acek1-2020)/86.67)^(.1))+ distanciaz;
}
else
{
  acez3=(acez1-acez)/86.67;
  distanciaz=(.5*acez3^(.01))+distanciaz;
}
```

## Apéndice B.

```
}

/* Modo Gps condiciones iniciales */
void gps()
{
    int i;
    void interrupt rx_gps();           /* Servicio de interrupcion del GPS */
    void interrupt (*oldcom1)();      /* Inicializa Com1 comunicacion GPS */
    inicializaCom1();
    oldcom1 = getvect(0x0c);
    setvect(0x0c, rx_gps);           /* Nuevo servicio de interrupcion */

    /* Inicializa las variables */
    datos_gps = 0x00;
    dato_gps = 0x00;
    cual_gps = 0x01;
    *cad_gps1 = 0x00;
    *cad_gps2 = 0x00;
    posicioncaracter = 0;
    outportb(0x21, 0x20);           /* Habilita IRQ4=Com1=GPS */
    datosdelgps();
    while (modo_operacion == Modo_Gps) /* Ciclo de espera para salida */
    {
        almacena0();
        if(kbhit()){ activamenu(); /* Atiende al usuario */
        if(nueva_funcion) ejecuta();
    }
    outportb(0x21, 0xB8);
    /* Restaura controlador de int */
    setvect(0x0c, oldcom1);
    /* Restaura vector de int */
    cerrar();
    com1reset();
    return;
}

/* Servicio de interrupción para RX de datos del GPS */
void interrupt rx_gps()
{
    disable();                       /* Sin interrupciones Hardware */
    outportb(0x20, 0x64);           /* Borra IRQ4 */
    if(cual_gps){
        cad_gps1[posicioncaracter] = inportb(0x3f8); /* Lee caracter enviado por GPS */
        cad_gps1[posicioncaracter+1] = 0x00; /* Caracter de fin de cadena */
        if(cad_gps1[posicioncaracter] == 0x0A){ /* Caracter de fin de cadena */
            posicioncaracter=0; /* Actualiza apuntador */
            cual_gps = 0x00; /* Conmuta cadena */
            dato_gps = 0x01; /* Bandera de mensaje */
        }
        else posicioncaracter++;
    }
    else
    {
        cad_gps2[posicioncaracter] = inportb(0x3f8); /* Caracter de fin de cadena */
        cad_gps2[posicioncaracter+1] = 0x00; /* Caracter de fin de cadena */
        if(cad_gps2[posicioncaracter] == 0x0A){ /* Actualiza apuntador */
            posicioncaracter=0; /* Conmuta cadena */
            cual_gps = 0x01; /* Bandera de mensaje */
            dato_gps = 0x01;
        }
        else posicioncaracter++;
    }
    enable();
}

/* Recibiendo los datos del GPS */
void datosdelgps()
{
    float cadena, req;
    disable ();
    outportb(0x20, 0x64);           /* Borra IRQ4 */
    if(cual_gps){
```

## Apéndice B.

```

reg=inportb(0x3f8);
/* Checamos si caracter= '$' */
if (reg==0x24){
do {
cadena = inportb(0x3f8);
cad_gps1[posicioncaracter]=cadena;           /* Lee caracter enviado por GPS */
cad_gps1[posicioncaracter+1] = 0x00;         /* Caracter de fin de cadena */
posicioncaracter++;
delay(35);
/* Tiempo de espera */
} while (cadena != 0x0A);
/* Caracter de fin de cadena */
posicioncaracter=0;
/* Actualiza apuntador */
cual_gps = 0x00;
/* Conmuta cadena */
dato_gps = 0x01;
/* Bandera de mensaje */
}
else
{
reg=inportb(0x3f8);
/* Checamos si caracter= '$' */
if (reg==0x24){
do {
cadena = inportb(0x3f8);
cad_gps2[posicioncaracter] = cadena;           /* Lee caracter
enviado por GPS */
cad_gps2[posicioncaracter+1] = 0x00;         /* Caracter de fin de cadena */
posicioncaracter++;
delay(35);
/* Tiempo de espera */
} while (cadena != 0x0A);
/* Caracter de fin de cadena */
posicioncaracter=0;
/* Actualiza apuntador */
cual_gps = 0x01;
/* Conmuta cadena */
dato_gps = 0x01;
/* Bandera de mensaje */
}
}
enable();
}

/* Almacena en disco la informacion del gps */
void almacena()
{
dateadelgps();
/* Leemos mensaje */
if(dato_gps){
*(cual_gps) strcpy(mensaje_gps, cad_gps2); /* Actualiza mensaje del GPS */
revisamensajegps(); /* Revisa el mensaje */
cad_gps2[0] = 0x00; /* Restaura cadena para
otro mensaje */
}
else {
strcpy(mensaje_gps, cad_gps1); /* Actualiza mensaje del GPS */
revisamensajegps(); /* Revisa el mensaje */
cad_gps1[0] = 0x00; /* Restaura cadena para
otro mensaje */
}
date_gps=0x00;
dateesapantalla();
return;
}

/* Revisa el mensaje recibido del GPS */
void revisamensajegps()
{
if(checa_gps(mensaje_gps)==0){
switch(tipomensajegps(mensaje_gps)){
case GPQGA: gpgga(mensaje_gps);
break;
case PMGLB: pmglb(mensaje_gps);
break;
case GPZDA: gpzda(mensaje_gps);
break;
default: mensajes(mensaje_gps, VldNormal3);
break;}
}
}

```

## Apéndice B.

```
    }
    return;
}

/* Revisa si contiene error el mensaje del GPS */
int checa_gps()
{
    char sumcheck1[2], *apunta, asterisco="";
    int x = 1; /* Si error a menos que otra cosa */
    generachecksum(sumcheck1); /* Genera el caracter de erro para compararlo */
    sumcheck1[2] = 0x00; /* Fin de cadena */
    apunta = strchr(mensaje_gps, asterisco); /* Copia el caracter de comprobación de error */
    if(apunta) /* Si existe y son iguales */
        if((sumcheck1[0] == *(apunta+1)) && (sumcheck1[1] == *(apunta+2))) x=0;
    return(x);
}

/* Genera caracteres de chek sum, protocolo de comunicación con GPS */
void generachecksum(sumcheck2)
char *sumcheck2;
{
    unsigned chk_gps;
    int temp=2;
    chk_gps = *(mensaje_gps+1); /* A partir del primer caracter */
    for(temp=2*(mensaje_gps+temp)!=="", temp++) /* Calcula checksum */
        if(*(mensaje_gps+temp) != 0x00) chk_gps = (chk_gps ^ *(mensaje_gps+temp));
    *sumcheck2+1 = (chk_gps & 0x0F); /* Transforma el valor a ASCII */
    *sumcheck2 = (chk_gps >> 4);
    if(*sumcheck2 < 0x0A) *sumcheck2 += 0x30;
    else *sumcheck2 += 0x37;
    if((*sumcheck2+1) < 0x0A) *(sumcheck2+1) += 0x30;
    else *(sumcheck2+1) += 0x37;
    *sumcheck2+2 = 0x00; /* Fin de cadena */
    return;
}

/* Revisa el tipo de mensaje del GPS */
int tipomensajegps()
{
    if(strstr(mensaje_gps, "$GPGG") == mensaje_gps) return(GPGGA);
    if(strstr(mensaje_gps, "$PMG") == mensaje_gps) return(PMGLB);
    if(strstr(mensaje_gps, "$GPZ") == mensaje_gps) return(GPZDA);
    return(0);
}

/* Obtiene parametros del mensaje $GPGGA del GPS */
void gpgga()
{
    char *latitud, *longitud;
    char *signo;
    mensajes("Recibiendo Datos", VidNormal3);
    latitud = malloc(7);
    longitud = malloc(8);
    signo = malloc(1);
    strncpy(latitud, (mensaje_gps+14), 7); /* Obtiene latitud */
    *(latitud+7) = 0x00; /* Fin de cadena */
    strncpy(signo, (mensaje_gps+22), 1); /* Obtiene signo */
    *(signo+1) = 0x00; /* Fin de cadena */
    datos.latitud = atof(latitud); /* Convierte a numerico */
    if(*signo == "S")
        gotoxy(12, 5);
        printf("%8.2f S", datos.latitud);
    gotoxy(12, 5);
    printf("%8.2f N", datos.latitud);

    strncpy(longitud, (mensaje_gps+24), 8); /* Obtiene longitud */
    *(longitud+8) = 0x00; /* Fin de cadena */
    strncpy(signo, (mensaje_gps+33), 1); /* Obtiene signo */
    *(signo+1) = 0x00; /* Fin de cadena */
    datos.longitud = atof(longitud); /* Convierte a numerico */
    if(*signo == "W") {
```

## Apéndice B.

```
        gotoxy(11,6);
        printf("%9.2f W", datos.longitud);
gotoxy(11,6);
printf("%9.2f E", datos.longitud);

free(latitud);           /* Libera memoria */
free(longitud);
free(signo);
return;
}

/* Obtiene parametros del mensaje $PMGLB del GPS */
void pmglb()
{
    char *temp;
    temp = malloc(6);           /* Obtiene altitud */
    strncpy(temp, (mensaje_gps+10),6);
    *(temp+6) = 0x00;
    datos.altitud = atoi(temp);
    gotoxy(13,7);
    printf(" %d Mts.", datos.altitud);
    free(temp);
    return;
}

/* Obtiene parametros del mensaje $GPZDA del GPS */
void gpzda()
{
    char *tiempo, *fecha;
    tiempo = malloc(6);
    /* Obtiene la hora */
    fecha = malloc(10);
    /* obtiene la fecha */
    strncpy(tiempo, (mensaje_gps+7),6);
    *(tiempo+6) = 0x00;
    gotoxy(13,4);
    printf(" %s GMT", tiempo);
    strncpy(fecha, (mensaje_gps+14),10);
    *(fecha+10) = 0x00;
    gotoxy(13,3);
    printf(" %s ", fecha);
    free(tiempo);
    free(fecha);
    return;
}

/* Transmite comandos al GPS */
void tx_gps(gps_mensaje)
char *gps_mensaje;           /* Mensaje al GPS */
{
    unsigned temp;
    while(*gps_mensaje != 0x00){
        temp=inportb(0x3fd);           /* Lee estado de Comm1 */
        if((temp & 0x40) outportb(0x3f8, *gps_mensaje++);           /* Transmite */
    }
    return;
}

/* Lee Mensaje para TX al GPS */
void al_gps()
{
    char *gps_mensaje, *sumcheck, *temp;
    gps_mensaje = malloc(100);           /* Asigna memoria */
    sumcheck = malloc(3);           /* Caracter de verificación de error */
    *gps_mensaje = 0x00;           /* Fin de cadena */
    *sumcheck = 0x00;
    mensaje["Comando:
    leecomandogps(gps_mensaje);           /* Obtiene mensaje */
    ", VidNormal(3);
}
```

## Apéndice B.

```

if(!gps_mensaje==0x00){ mensajes("\nCancelado", VidNormal3);
/* Ningun mensaje al GPS */
return;}

generacheksumtx(gps_mensaje, sumcheck); /* Genera el caracter check sum */
temp = gps_mensaje;
while(*++temp != 0x00); /* Puntero al final del mensaje */
*temp++ = *sumcheck++; /* Agrega los de verificación de error */
*temp++ = *sumcheck++;
*temp++ = 0x0D; /* Agrega los de fin de mensaje */
*temp++ = 0x0A;
*temp = 0x00; /* Fin de Cadena */
tx_gps(gps_mensaje); /* Transmite mensaje al GPS */
mensajes("Transmitido el comando", VidNormal3);
free(gps_mensaje); /* Libera memoria */
free(sumcheck);
return;
}

/* Lee comando para TX al GPS */
void leeComandogps(nombre)
char *nombre, /* Mensaje al GPS */
{
union tecla{ char ch[2];
int i; /* Tecla presionada */
int k;
c.ch[0] = 1;
for(j=0;c.ch[0]!='\r';j++){ /* Sale al return */
c.i = bioskey(0); /* Lee tecla */
switch(c.ch[0]){ /* Tipo de tecla */
case '\r':nombre[j] = 0x00; /* Si enter fin de cadena */
break;
case '\b':if(j--){ /* Si tecla ← */
write_char(mensajesx-1, 10+j, 0x20, VidNormal3);
}; /* Borra anterior */
}
break;
case ESC: c.ch[0] = '\r'; nombre[0] = 0x00; /* Enter para salir */
/* Cadena vacia */
break;
default: nombre[j] = c.ch[0]; /* Almacena caracter */
nombre[j+1] = 0x00; /* Fin de cadena */
write_char(mensajesx-1, 10+j,c.ch[0], VidNormal3);
break;
}
}
if(j>100) nombre[100] = 0x00; /* Filtro de longitus de comando */
return;
}

/* Inicialza el gps */
void inicialzageps()
{
char *gps_mensaje, *sumcheck, *temp, /* Mensaje GPS */
mensajes("Inicializando GPS...", VidNormal3);
gps_mensaje = malloc(70); /* Asigna memoria */
sumcheck = malloc(3);
temp = malloc(3);
*gps_mensaje = 0x00; /* Caracteres de verificación de error */
*sumcheck = 0x00; /* Caracteres de fin de mensaje */
*temp = 0x0D;
*(temp+1) = 0x0A;
*(temp+2) = 0x00;

strcpy(gps_mensaje, "SPMGLN,00,1*"); /* Mensaje Master Reset */
generacheksumtx(gps_mensaje, sumcheck); /* Genera el caracter check sum */
strcat(gps_mensaje, sumcheck); /* Concatena check sum */
strcat(gps_mensaje, temp); /* Concatena fin de mensaje */
tx_gps(gps_mensaje); /* Transmite el mensaje al GPS */
delay(100); /* Necesario para TX despues de un reset */
}

```



## Apéndice B.

```

strcpy(gps_mensaje,"$PMGL1,00,F02,2,A,");          /* Pide información de satélites */
generachecksumbr(gps_mensaje, sumcheck);          /* Genera el caracter check sum */
strcat(gps_mensaje, sumcheck);                    /* Concatena check sum */
strcat(gps_mensaje, temp);                         /* Concatena fin de mensaje */
tx_gps(gps_mensaje);                               /* Transmite al mensaje al GPS */
delay(1);                                          /* Necesario para TX despues de un reset */

free(gps_mensaje);                                /* libera memoria */
free(sumcheck);
free(temp);
mensajes("GPS inicializado.                        ", VidNormal3);
return;
}

/* Pide los datos principales al GPS */
void pidedatosgps()
{
    char *gps_mensaje, *sumcheck, *temp;
    mensajes("Pidiendo datos...                    ", VidNormal3);
    gps_mensaje = malloc(70);                       /* Asigna memoria y obtiene el mensaje */
    sumcheck = malloc(3);
    temp = malloc(3);
    *gps_mensaje = 0x00;                             /* Mensaje a ser TX al GPS */
    *sumcheck = 0x00;                                /* Verificación de error */
    *temp = 0x0D;                                    /* Caracteres de fin de mensaje */
    *(temp+1) = 0x0A;
    *(temp+2) = 0x00;

    strcpy(gps_mensaje,"$PMGLD,00,3");              /* Modo 3D/Auto */
    generachecksumbr(gps_mensaje, sumcheck);        /* genera caracter check sum */
    strcat(gps_mensaje, sumcheck);                 /* Concatena check sum */
    strcat(gps_mensaje, temp);                     /* Concatena fin de mensaje */
    tx_gps(gps_mensaje);                           /* Transmite el mensaje al GPS */
    delay(1);
    strcpy(gps_mensaje,"$PMGL1,00,B00,2,A,");        /* Latitud, longitud */
    generachecksumbr(gps_mensaje, sumcheck);        /* genera caracter check sum */
    strcat(gps_mensaje, sumcheck);                 /* Concatena check sum */
    strcat(gps_mensaje, temp);                     /* Concatena fin de mensaje */
    tx_gps(gps_mensaje);                           /* Transmite el mensaje al GPS */
    delay(1);
    strcpy(gps_mensaje,"$PMGL1,00,B02,2,A,");        /* Altitud */
    generachecksumbr(gps_mensaje, sumcheck);        /* genera caracter check sum */
    strcat(gps_mensaje, sumcheck);                 /* Concatena check sum */
    strcat(gps_mensaje, temp);                     /* Concatena fin de mensaje */
    tx_gps(gps_mensaje);                           /* Transmite el mensaje al GPS */
    delay(1);
    strcpy(gps_mensaje,"$PMGL1,00,A00,2,A,");        /* Tiempo */
    generachecksumbr(gps_mensaje, sumcheck);        /* genera caracter check sum */
    strcat(gps_mensaje, sumcheck);                 /* Concatena check sum */
    strcat(gps_mensaje, temp);                     /* Concatena fin de mensaje */
    tx_gps(gps_mensaje);                           /* Transmite el mensaje al GPS */
    delay(1);

    free(gps_mensaje);                              /* Libera memoria */
    free(sumcheck);
    free(temp);
    mensajes("Enviando los comandos.              ", VidNormal3);
    return;
}

/* Borra la memoria del GPS */
void borragps()
{
    char *gps_mensaje, *sumcheck, *temp;
    mensajes("Borrando memoria del GPS..          ", VidNormal3);
    gps_mensaje = malloc(70);                       /* Asigna memoria */
    sumcheck = malloc(3);
    temp = malloc(3);
    *gps_mensaje = 0x00;                           /* TX al GPS */
}

```

## Apéndice B.

```
*sumcheck = 0x00;           /* Verificación de error */
*temp = 0x00;              /* Fin de mensaje */
*(temp+1) = 0x0A;
*(temp+2) = 0x00;
strcpy(gps_mensaje, "$PMGLN,00,1");           /* Master Reset */
generacheksombx(gps_mensaje, sumcheck);       /* genera caracter check sum */
strcat(gps_mensaje, sumcheck);               /* Concatena check sum */
strcat(gps_mensaje, temp);                  /* Concatena fin de mensaje */
tx_gps(gps_mensaje);                        /* Transmite el mensaje al GPS */
delay(100);
free(gps_mensaje);                          /* Libera memoria */
free(sumcheck);
free(temp);
mensajes("Memoria Borrada del GPS.          ", VidNormal3);
return;
}

/* Genera caracteres de check sum, protocolo de comunicación con GPS TX */
void generacheksombx(txpalabra, sumcheck2)
char *txpalabra;           /* Mensaje tipo GPS */
char *sumcheck2;          /* Caracter de verificación de error */
{
    unsigned chk_gps;
    int temp=2;

    chk_gps = *(txpalabra+1);           /* A partir del primer cacater */
    for(temp=2;*(txpalabra+temp)!= '\0';temp++) /* Calcula sumcheck */
        if(*(txpalabra+temp)!= 0x00) chk_gps = (chk_gps ***(txpalabra+temp));
    *(sumcheck2+1) = (chk_gps & 0x0F);   /* Convierte a ASCII */
    *sumcheck2 = (chk_gps >> 4);
    if(*sumcheck2 < 0x0A) *sumcheck2 += 0x30;
    else *sumcheck2 += 0x37;
    if>(*sumcheck2+1) < 0x0A) *(sumcheck2+1) += 0x30;
    else *(sumcheck2+1) += 0x37;
    *(sumcheck2+2) = 0x00;              /* Fin de cadena */
    return;
}
```

*Apéndice C.*

***Negativos de los circuitos.***

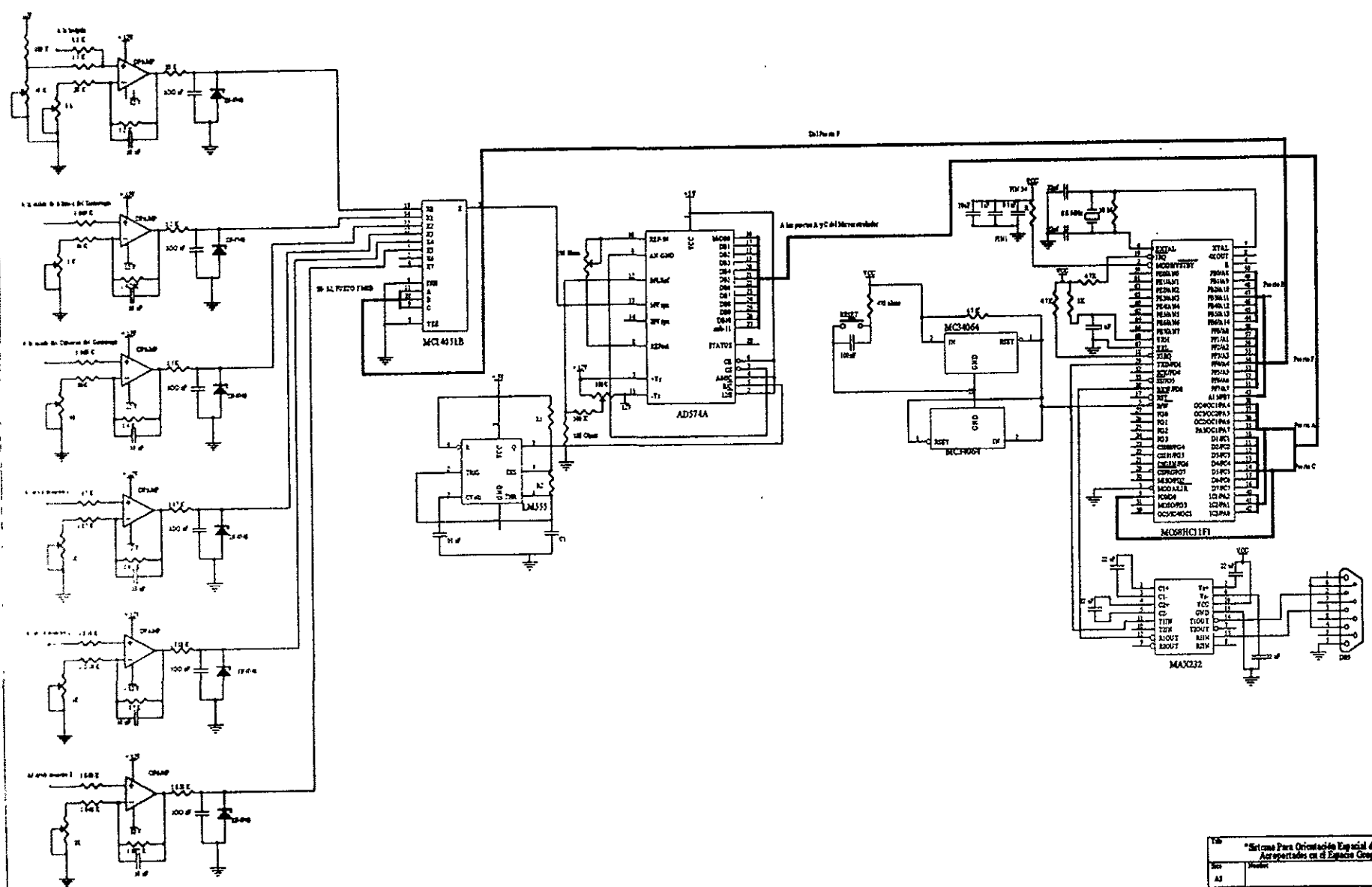
En este apéndice se presentan los negativos de los circuitos impresos, así como el diagrama eléctrico y los componentes que lo integran.

*Carátulas de la caja que contiene el Circuito.*

En estas imágenes se muestran, las carátulas frontales y posteriores del Sistema.

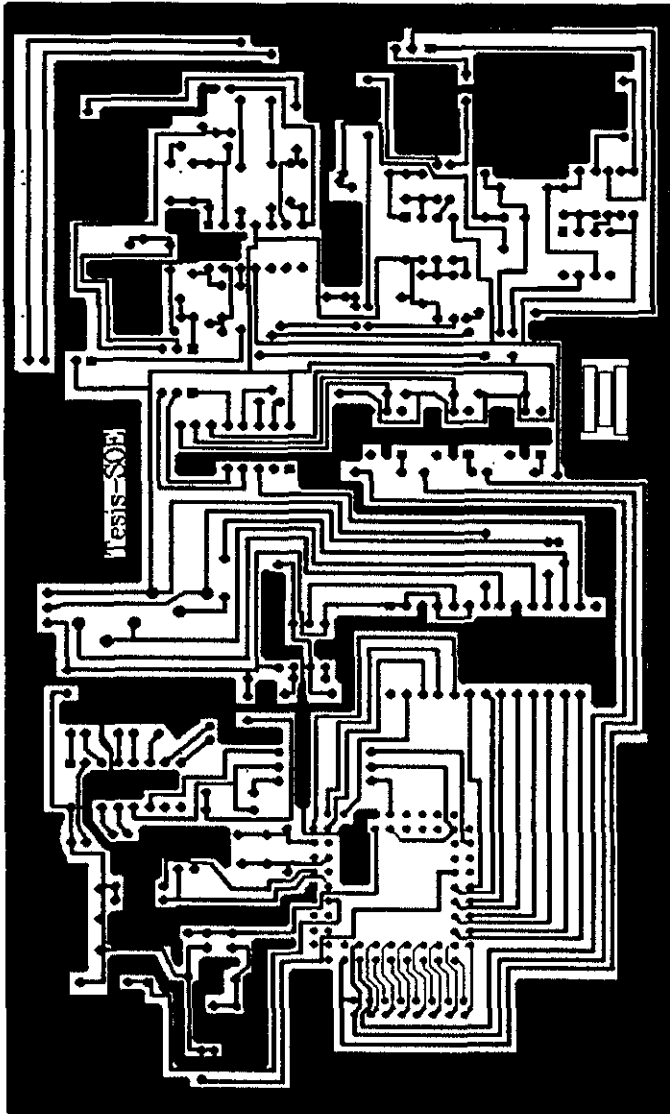
En la carátula principal (Frontal), se encuentra la entrada de la alimentación, la cual requiere de +12 V c.d., -12V c.d. y Tierra, así como el interruptor de encendido y un botón de reset para reiniciar el sistema en el caso que así se requiera.

En la cara posterior, se encuentran las entradas de los diferentes dispositivos que se usan en el sistema.

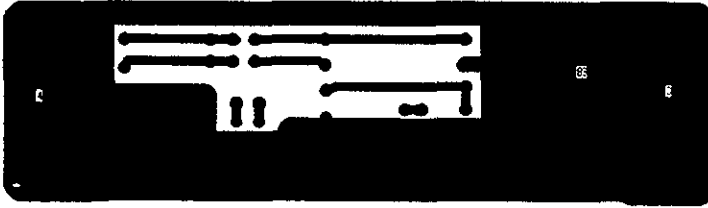


\* Sistema Para Orientación Espacial de Señales  
 Aeroperforadas en el Espacio Geográfico

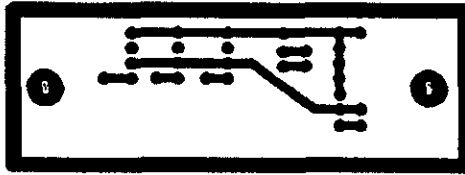
Aut		
Aut	Aut	Aut
AS		
Aut	Aut	Aut



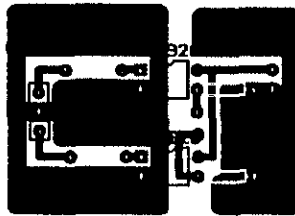
Vista Inferior del Circuito.



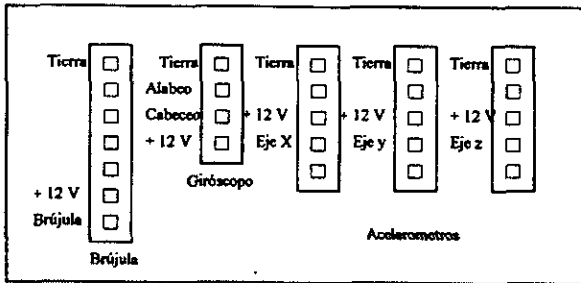
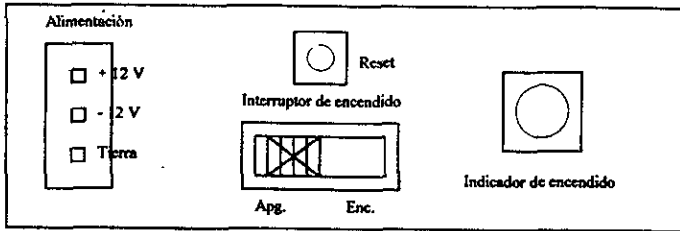
Carátula Frontal



Conectores de los componentes



Sistema de acoplo óptico para el giroscopo.



Carátulas Frontal y Posterior, con especificaciones.

*Especificaciones de los componentes.*

En el presente apéndice, anexo las hojas de especificaciones técnicas de los componentes que considero son lo de mayor relevancia para el desempeño óptimo del sistema realizado.





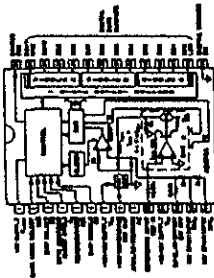
# Complete 12-Bit A/D Converter

AD574A\*

### FEATURES

- Complete 12-bit A/D Converter with Reference and Clock
- 6- and 15-bit Microprocessor Bus Interfaces
- Unparalleled Linearity Over Temperature
- PC to 17PC - AMPLIMUL, E, T, U
- 100% Conversion Accuracy
- 10-bit Clock, Over Temperature
- 10-bit Multiplexed Conversion Time
- Serial Linear Address for Lead-Time Reliability
- Low Power: 100 mW (typical) at 5V
- Available in Plastic DIP or LCC Packages
- Available in High-Speed, Power-Compatible Packages
- 175 pin JAMBGA, 96 pin JAMBGA, 96 pin JAMBGA AD574A
- Available in Variants Compliant with MIL-STD-883C and JAMB GA

### BLOCK DIAGRAM AND PIN CONFIGURATION



### PRODUCT DESCRIPTION

The AD574A is a complete 12-bit microprocessor interface, single-chip A/D converter with linear reference, accuracy, and digital interface to an 8- or 16-bit microprocessor bus. A high resolution, voltage reference and clock are provided on-chip to ensure excellent performance. Performance relative to other A/D converters is shown in Table 1.

The AD574A design is implemented using Analog Devices' Standard Cell process, and features of routing and digital logic are used to provide a high resolution, high accuracy, and high speed A/D converter. The AD574A is available in 175 pin JAMBGA, 96 pin JAMBGA, and 96 pin JAMBGA packages. The AD574A is available in 175 pin JAMBGA, 96 pin JAMBGA, and 96 pin JAMBGA packages. The AD574A is available in 175 pin JAMBGA, 96 pin JAMBGA, and 96 pin JAMBGA packages.

The AD574A is available in 175 pin JAMBGA, 96 pin JAMBGA, and 96 pin JAMBGA packages. The AD574A is available in 175 pin JAMBGA, 96 pin JAMBGA, and 96 pin JAMBGA packages. The AD574A is available in 175 pin JAMBGA, 96 pin JAMBGA, and 96 pin JAMBGA packages.

The AD574A is available in 175 pin JAMBGA, 96 pin JAMBGA, and 96 pin JAMBGA packages. The AD574A is available in 175 pin JAMBGA, 96 pin JAMBGA, and 96 pin JAMBGA packages. The AD574A is available in 175 pin JAMBGA, 96 pin JAMBGA, and 96 pin JAMBGA packages.

The AD574A is available in 175 pin JAMBGA, 96 pin JAMBGA, and 96 pin JAMBGA packages. The AD574A is available in 175 pin JAMBGA, 96 pin JAMBGA, and 96 pin JAMBGA packages. The AD574A is available in 175 pin JAMBGA, 96 pin JAMBGA, and 96 pin JAMBGA packages.

## AD574A—SPECIFICATIONS (at 25°C unless otherwise noted)

Parameter	Min.	Typ.	Max.	Units	AD574A	AD574A
Resolution	12	12	12	bits	12	12
Linearity	-1.5	0	1.5	LSB	-1.5	1.5
Conversion Error	-1.5	0	1.5	LSB	-1.5	1.5
Temperature Coefficient	-1.5	0	1.5	LSB/°C	-1.5	1.5
Reference Voltage	1.0	1.0	1.0	V	1.0	1.0
Reference Current	1.0	1.0	1.0	mA	1.0	1.0
Conversion Time	10	10	10	μs	10	10
Power Consumption	100	100	100	mW	100	100
Operating Temperature	-40	0	125	°C	-40	125
Storage Temperature	-55	0	150	°C	-55	150
Lead-Free Packages Available	Yes	Yes	Yes		Yes	Yes

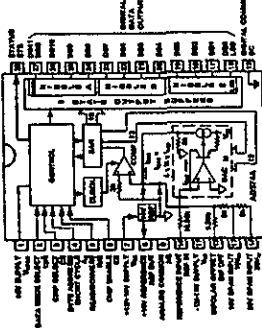
\*These specifications apply to the "Timing Diagrams" shown in the AD574A data sheet. The AD574A is not fully functional for operation in 175 pin JAMBGA packages. The AD574A is not fully functional for operation in 96 pin JAMBGA packages. The AD574A is not fully functional for operation in 96 pin JAMBGA packages.

AD574A

Model	Accuracy		Accuracy		Accuracy		Accuracy		Accuracy	
	Min	Max	Min	Max	Min	Max	Min	Max	Min	Max
Resolution	11	11	11	11	11	11	11	11	11	11
Linearity Error (% of Full Scale)	-0.15	+0.15	-0.15	+0.15	-0.15	+0.15	-0.15	+0.15	-0.15	+0.15
Temperature Coefficient	0.05	0.05	0.05	0.05	0.05	0.05	0.05	0.05	0.05	0.05
Nonlinearity Error (% of Full Scale)	-0.05	+0.05	-0.05	+0.05	-0.05	+0.05	-0.05	+0.05	-0.05	+0.05
Offset Error (% of Full Scale)	-0.05	+0.05	-0.05	+0.05	-0.05	+0.05	-0.05	+0.05	-0.05	+0.05
Gain Error (% of Full Scale)	-0.05	+0.05	-0.05	+0.05	-0.05	+0.05	-0.05	+0.05	-0.05	+0.05
Gain Temperature Coefficient	0.005	0.005	0.005	0.005	0.005	0.005	0.005	0.005	0.005	0.005
Power Supply Rejection Ratio	80	80	80	80	80	80	80	80	80	80
Power Supply Sensitivity	0.005	0.005	0.005	0.005	0.005	0.005	0.005	0.005	0.005	0.005
Temperature Sensitivity	0.005	0.005	0.005	0.005	0.005	0.005	0.005	0.005	0.005	0.005
Input Resistance	> 100 MΩ	> 100 MΩ	> 100 MΩ	> 100 MΩ	> 100 MΩ	> 100 MΩ	> 100 MΩ	> 100 MΩ	> 100 MΩ	> 100 MΩ
Input Capacitance	< 5 pF	< 5 pF	< 5 pF	< 5 pF	< 5 pF	< 5 pF	< 5 pF	< 5 pF	< 5 pF	< 5 pF
Output Resistance	< 20 Ω	< 20 Ω	< 20 Ω	< 20 Ω	< 20 Ω	< 20 Ω	< 20 Ω	< 20 Ω	< 20 Ω	< 20 Ω
Output Current	± 10 mA	± 10 mA	± 10 mA	± 10 mA	± 10 mA	± 10 mA	± 10 mA	± 10 mA	± 10 mA	± 10 mA
Operating Current	10	10	10	10	10	10	10	10	10	10
Operating Voltage	± 15 V	± 15 V	± 15 V	± 15 V	± 15 V	± 15 V	± 15 V	± 15 V	± 15 V	± 15 V

Notes:  
 1. Accuracy is guaranteed only for the digital outputs.  
 2. Output current is guaranteed only for digital outputs.  
 3. Operating current is guaranteed only for digital outputs.  
 4. Operating voltage is guaranteed only for digital outputs.  
 5. Accuracy is guaranteed only for the digital outputs.  
 6. Output current is guaranteed only for digital outputs.  
 7. Operating current is guaranteed only for digital outputs.  
 8. Operating voltage is guaranteed only for digital outputs.

AD574A



AD574A Block Diagram and Pin Configuration

ABSOLUTE MAXIMUM RATINGS\*

- V<sub>cc</sub> to Digital Common ..... 0 V to +14.5 V
- V<sub>cc</sub> to Analog Common ..... 0 V to +14.5 V
- V<sub>ee</sub> to Digital Common ..... 0 V to -14.5 V
- V<sub>ee</sub> to Analog Common ..... 0 V to -14.5 V
- Analog Input Common (I<sub>CP</sub>, I<sub>CS</sub>, I<sub>CS</sub>, I<sub>CS</sub>) ..... -0.5 V to +11 V
- Digital Input Common (I<sub>CP</sub>, I<sub>CS</sub>, I<sub>CS</sub>) ..... -0.5 V to +11 V
- Analog Input (I<sub>CP</sub>, I<sub>CS</sub>, I<sub>CS</sub>, I<sub>CS</sub>) ..... -0.5 V to +11 V
- Analog Output (I<sub>CP</sub>, I<sub>CS</sub>, I<sub>CS</sub>, I<sub>CS</sub>) ..... -0.5 V to +11 V
- Digital Output (I<sub>CP</sub>, I<sub>CS</sub>, I<sub>CS</sub>, I<sub>CS</sub>) ..... 0 V to +11 V
- Input Current (I<sub>CP</sub>, I<sub>CS</sub>, I<sub>CS</sub>, I<sub>CS</sub>) ..... -10 mA to +10 mA
- Output Current (I<sub>CP</sub>, I<sub>CS</sub>, I<sub>CS</sub>, I<sub>CS</sub>) ..... -10 mA to +10 mA
- Power Dissipation (I<sub>CP</sub>, I<sub>CS</sub>, I<sub>CS</sub>, I<sub>CS</sub>) ..... 1 W
- Storage Temperature (T<sub>stg</sub>) ..... -65°C to +150°C
- Operating Temperature (T<sub>op</sub>) ..... -40°C to +85°C
- Maximum Junction Temperature (T<sub>jmax</sub>) ..... 175°C

ORDERING GUIDE

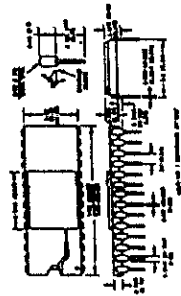
Model <sup>1</sup>	Temperature Range	Linearity Error (Max. of Full Scale)	Resolution (Chips of Full Scale)	Max. Peak Scale T.O.C. (ppm/FSC)
AD574AN(10)	0°C to +70°C	±1 LSB	11 Bits	50.0
AD574AN(15)	0°C to +70°C	±1.5 LSB	12 Bits	10.0
AD574AN(20)	0°C to +70°C	±2.0 LSB	13 Bits	50.0
AD574AN(25)	-35°C to +125°C	±1.5 LSB	12 Bits	25.0
AD574AN(30)	-55°C to +155°C	±1.5 LSB	12 Bits	12.50

\*For more information, available package see: D (DIP-20) for all grades; G (PGA) for J and K grades and 16 pin packages J, P and U grades; H (PLCC) for J, K and L grades; P (PLCC) for L, K, and M grades. Standard part numbers are shown in parentheses. For more information on pin-out, see the pin configuration diagrams.

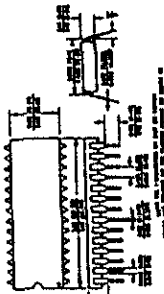
A0574A

OUTLINE DIMENSIONS  
Dimensions shown in inches and millimeters.

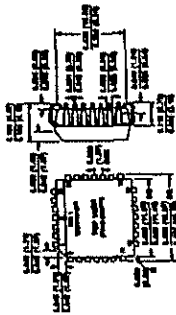
24-Pin Ceramic DIP Package (C-14)



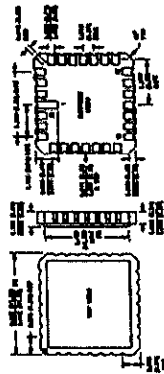
24-Lead Plastic DIP Package (D-14A)



24-Terminal PLCC Package (F-14A)



24-Terminal LCC Package (E-14A)



014-14-1408

PRINTED IN U.S.A.

# MAXIM

## +5V-Powered, Multichannel RS-232 Drivers/Receivers

**General Description**  
 The MAX222-249 family of five drivers/receivers is designed for RS-232C and V.22B applications where a 5V supply is available. The MAX222-249 family consists of:  
 • One driver/receiver with a 100kΩ pull-up resistor.  
 • One driver/receiver with a 100kΩ pull-up resistor and a 100kΩ pull-down resistor.  
 • One driver/receiver with a 100kΩ pull-up resistor and a 100kΩ pull-down resistor and a 100kΩ pull-up resistor.  
 • One driver/receiver with a 100kΩ pull-up resistor and a 100kΩ pull-down resistor and a 100kΩ pull-up resistor and a 100kΩ pull-down resistor.  
 • One driver/receiver with a 100kΩ pull-up resistor and a 100kΩ pull-down resistor and a 100kΩ pull-up resistor and a 100kΩ pull-down resistor.

**Applications**

- Portable Computers
- Low-Power Modems
- Facsimile Transmission
- Security-Powered RS-232 Systems
- Multi-Drop RS-232 Networks

## MAX222-MAX249

## +5V-Powered, Multichannel RS-232 Drivers/Receivers

**ABSOLUTE MAXIMUM RATINGS—MAX220/222/232A/233A/242/243**  
 Supply Voltage (Vcc) ..... 0 to 5V  
 Input Voltage (Vin) ..... 0 to 5V  
 Output Current (IOL) ..... 10mA  
 Storage Temperature Range ..... -55°C to 125°C  
 Lead Temperature (soldering, 10sec) ..... 300°C

Note 1: Input voltage measured with IOL = 10mA; maximum sink current of 10mA is allowed for 100ns. Note 2: Input voltage measured with IOL = 10mA; maximum sink current of 10mA is allowed for 100ns. Note 3: These are stress ratings only and functional operation is not recommended at these values. Note 4: Maximum junction temperature is 125°C. Note 5: These are stress ratings only and functional operation is not recommended at these values. Note 6: These are stress ratings only and functional operation is not recommended at these values.

**ELECTRICAL CHARACTERISTICS—MAX220/222/232A/233A/242/243**

PARAMETER	CONDITIONS	MIN	TYP	MAX	UNITS
RS-232 TRANSMITTER					
Output Voltage (Vout)	All transmitter outputs loaded with 3kΩ to GND	±1.5	±3	±4.5	V
Output Current (IOL)	All transmitter outputs loaded with 3kΩ to GND	-2	-14	-18	mA
Power Dissipation (Pd)	Vcc = 5V, IOL = 10mA	0	5	40	mW
Output Leakage Current (IOL)	Vcc = 5V, Vout = 0V, Vout1 = ±1.5V, MAX222/242	±0.01	±1	±10	μA
Output Leakage Current (IOL)	Vcc = 5V, Vout = 0V, Vout1 = ±1.5V, MAX222/242	±0.01	±10	±100	μA
Output Leakage Current (IOL)	All except MAX220, normal operation	±2	±20	±200	μA
Output Leakage Current (IOL)	MAX220	±50	±100	±1000	μA
Output Short-Circuit Current (IOS)	Vcc = 5V, Vout = 0V, Vout1 = ±2V	±1	±2	±25	mA
RS-232 RECEIVER					
Input Voltage (Vin)	All except MAX230 RS232	0.8	1.2	±2.0	V
Input Voltage (Vin)	MAX230 RS232 (note 2)	-3	1.8	2.4	V
Input Voltage (Vin)	All except MAX230 RS232	-2.5	-0.1	-0.1	V
Input Voltage (Vin)	MAX230 RS232 (note 2)	0.2	0.5	1	V
Input Current (IIL)	All except MAX230, Vcc = 5V, no transmitter at input	3	5	7	μA
Input Current (IIL)	MAX230	0.3	0.3	0.4	μA
Input Current (IIL)	Vcc = 5V, Vout = 0V	1.5	1.5	1.5	μA
Input Current (IIL)	Vcc = 5V, Vout = 0V, Vout1 = ±1.0mA	3.5	3.5	3.5	μA
Input Current (IIL)	Sourcing Vout1 = GND	-2	-10	-10	μA
Input Current (IIL)	Sinking Vout1 = Vcc	10	30	30	μA

MAXIM

**Features**

- Superior to Bipolar
- Operates from a 5V Power Supply
- Low Power Consumption
- Small Package
- High-Speed Operation
- High Accuracy
- High Reliability
- High Performance
- High Efficiency
- High Precision
- High Stability
- High Accuracy
- High Reliability
- High Performance
- High Efficiency
- High Precision
- High Stability

**Ordering Information**

PART	TEMP. RANGE	PACKAGE
MAX222E	0°C to 70°C	14 Pin DIP
MAX222E	0°C to 70°C	16 Pin SO
MAX222E	0°C to 70°C	16 Pin SSOP
MAX222E	0°C to 70°C	16 Pin DIP
MAX222E	0°C to 70°C	16 Pin SSOP
MAX222E	0°C to 70°C	16 Pin SO
MAX222E	0°C to 70°C	16 Pin DIP
MAX222E	0°C to 70°C	16 Pin SSOP
MAX222E	0°C to 70°C	16 Pin SO
MAX222E	0°C to 70°C	16 Pin DIP

**Selection Table**

Part No.	Temp. Range	Package	Features
MAX222E	0°C to 70°C	14 Pin DIP	Standard RS-232C driver/receiver
MAX222E	0°C to 70°C	16 Pin SO	Standard RS-232C driver/receiver
MAX222E	0°C to 70°C	16 Pin SSOP	Standard RS-232C driver/receiver
MAX222E	0°C to 70°C	16 Pin DIP	Standard RS-232C driver/receiver
MAX222E	0°C to 70°C	16 Pin SSOP	Standard RS-232C driver/receiver
MAX222E	0°C to 70°C	16 Pin SO	Standard RS-232C driver/receiver
MAX222E	0°C to 70°C	16 Pin DIP	Standard RS-232C driver/receiver
MAX222E	0°C to 70°C	16 Pin SSOP	Standard RS-232C driver/receiver
MAX222E	0°C to 70°C	16 Pin SO	Standard RS-232C driver/receiver
MAX222E	0°C to 70°C	16 Pin DIP	Standard RS-232C driver/receiver

MAXIM  
 For free samples & the latest literature: <http://www.maxim-ic.com>, or phone 1-800-998-8800.  
 For small orders, phone 1-408-438-8800.

# MAXIM

## +5V-Powered, Multichannel RS-232 Drivers/Receivers

- ### Superior to Bipolar
- Operates from a single +5V Power Supply (1.7V and 11.7V—MAX3231/MAX3232)
  - True ESD Protection (MAX3231)
  - Low-Power Receiver Mode in Standby (MAX3232/MAX3231)
- ### Multiple Drivers and Receivers
- Multiple Drivers and Receivers
  - 3-State Driver and Receiver Outputs
  - Open-Line Detection (MAX3231)

### Applications

Portable Computers  
Low-Power Modems  
Interface Translation  
Battery-Powered RS-232 Systems  
Multi-Chip RS-232 Networks

# MAX220-MAX249

# +5V-Powered, Multichannel RS-232 Drivers/Receivers

## ABSOLUTE MAXIMUM RATINGS—MAX220/222/232A/233A/242/243

Supply Voltage (Vcc)	— 0.5V to +6V
Input Voltages	— 0.5V to (Vcc + 0.5V)
Receiver Input Voltage (MAX220)	— 0.5V to (Vcc + 0.5V)
Receiver Input Voltage (MAX222)	— 0.5V to (Vcc + 0.5V)
Receiver Input Voltage (MAX232)	— 0.5V to (Vcc + 0.5V)
Receiver Input Voltage (MAX233)	— 0.5V to (Vcc + 0.5V)
Receiver Input Voltage (MAX242)	— 0.5V to (Vcc + 0.5V)
Receiver Input Voltage (MAX243)	— 0.5V to (Vcc + 0.5V)
Operating Temperature Range	MAX220, MAX232, MAX242, MAX243: — 40°C to +125°C MAX222, MAX233: — 40°C to +110°C
Storage Temperature Range	— 65°C to +180°C
Lead Temperature (soldering, 10sec)	— 300°C

Note 1: Input voltages measured with  $I_{OUT}$  in high-impedance state. RS232 to Vcc = 0V.  
 Note 2: Input voltages measured with  $I_{OUT}$  in high-impedance state. RS232 to Vcc, but their absolute differences cannot exceed 15V.  
 Note 3: Input voltages measured with  $I_{OUT}$  in high-impedance state. RS232 to Vcc, but their absolute differences cannot exceed 15V.  
 Note 4: Input voltages measured with  $I_{OUT}$  in high-impedance state. RS232 to Vcc, but their absolute differences cannot exceed 15V.  
 Note 5: Input voltages measured with  $I_{OUT}$  in high-impedance state. RS232 to Vcc, but their absolute differences cannot exceed 15V.  
 Note 6: Input voltages measured with  $I_{OUT}$  in high-impedance state. RS232 to Vcc, but their absolute differences cannot exceed 15V.

## ELECTRICAL CHARACTERISTICS—MAX220/222/232A/233A/242/243

PARAMETER	CONDITIONS	MIN	TYP	MAX	UNITS
Output Voltage Swing	All Parameters (Output loaded with 3kΩ to GND)	±5	±8		V
Trip Logic Threshold Low		2	1.4	0.5	V
Trip Logic Threshold High			5	4.0	VA
Logic PUL-Output Current	All except MAX220, normal operation SHOOT = 0V, MAX222/242, shutdown, MAX220 VCC = 5.5V, R <sub>LOAD</sub> = 0V, V <sub>OUT</sub> = ±10V, MAX222/242 VCC = 5.5V, R <sub>LOAD</sub> = 0V, V <sub>OUT</sub> = ±15V	±0.01	±1.0		mA
Output Leakage Current	All except MAX220, normal operation MAX220	±0.01	±1.0		mA
Idle Rate	All except MAX220, normal operation MAX220	±2.0	±2.0		mA
Transmitter Output Resistance	VCC = 5V, I <sub>V</sub> = 0V, V <sub>OUT</sub> = 2.5V	300	100		Ω
Output Drive Current	VCC = 5V, I <sub>V</sub> = 0V, V <sub>OUT</sub> = 2.5V	300	100		mA
RS-232 RECEIVERS					
RS-232 Input Voltage Operating Range		±7	±22		V
RS-232 Input Threshold Low	All except MAX233 RS232 MAX232 RS232 (lines 2)	0.8	1.3		V
RS-232 Input Threshold High	All except MAX233 RS232 MAX232 RS232 (lines 2)		1.8	2.4	V
RS-232 Input Hysteresis	All except MAX233, Vcc = 5V, no hysterisis in rxn. MAX233	0.2	0.5		V
RS-232 Input Resistance		3	1	7	kΩ
T <sub>1</sub> , T <sub>2</sub> Output Voltage Low	V <sub>OUT</sub> = 3.0V	0.8	0.8	0.4	V
T <sub>1</sub> , T <sub>2</sub> Output Voltage High	V <sub>OUT</sub> = 3.0V	5.5	5.5	6.0	V
T <sub>1</sub> , T <sub>2</sub> Output Drive Current	Standing V <sub>OUT</sub> = GND Switching V <sub>OUT</sub> = Vcc	4	5.0		mA

# MAX220-MAX249

# MAX220-MAX249

- ### Ordering Information
- | PART       | TEMP. RANGE     | MAX220/222 | MAX232/233 |
|------------|-----------------|------------|------------|
| MAX220SE   | 0°C to 175°C    | 18 Pin DIP | 18 Pin DIP |
| MAX220SSE  | 0°C to 175°C    | 18 Pin SO  | 18 Pin SO  |
| MAX220E    | 0°C to 175°C    | 14 Wide SO | 14 Wide SO |
| MAX220D    | 0°C to 175°C    | DO         | DO         |
| MAX220DE   | -40°C to +85°C  | 18 Pin DIP | 18 Pin DIP |
| MAX220DS   | -40°C to +85°C  | 18 Pin SO  | 18 Pin SO  |
| MAX220DEE  | -40°C to +85°C  | 18 Wide SO | 18 Wide SO |
| MAX220DESE | -40°C to +85°C  | 18 CSPDP   | 18 CSPDP   |
| MAX220DSE  | -55°C to +125°C | 18 CSPDP   | 18 CSPDP   |
- Ordering information dependent on size or data sheet.  
 Contact factory for other specifications.

### Selection Table

Part No.	Package	No. of Pins	Temp. Range	Notes
MAX220SE	18 Pin DIP	18	0°C to 175°C	ESD Protected, Lead-Free
MAX220SSE	18 Pin SO	18	0°C to 175°C	ESD Protected, Lead-Free
MAX220E	14 Wide SO	14	0°C to 175°C	ESD Protected, Lead-Free
MAX220D	DO	14	0°C to 175°C	ESD Protected, Lead-Free
MAX220DE	18 Pin DIP	18	-40°C to +85°C	ESD Protected, Lead-Free
MAX220DS	18 Pin SO	18	-40°C to +85°C	ESD Protected, Lead-Free
MAX220DEE	18 Wide SO	18	-40°C to +85°C	ESD Protected, Lead-Free
MAX220DESE	18 CSPDP	18	-40°C to +85°C	ESD Protected, Lead-Free
MAX220DSE	18 CSPDP	18	-55°C to +125°C	ESD Protected, Lead-Free

© 1994 Maxim Integrated Products, Inc.

Maxim Integrated Products

For free samples & the latest literature: <http://www.maxim-ic.com>, or phone 1-800-998-8800.  
 For small orders, phone 1-408-853-4788.





LM555 Timer

February 2005

National Semiconductor

LM555  
Timer

General Description

The LM555 is a highly stable device for generating accurate time delays or oscillations. Additional functions are provided for triggering or resetting (available only on the standard operation). The timing period is adjustable by one external component. The timing period and duty cycle are accurate over the full operating temperature range. The LM555 is available in both standard and low-power versions, and can operate at supply currents as low as 100 nA.

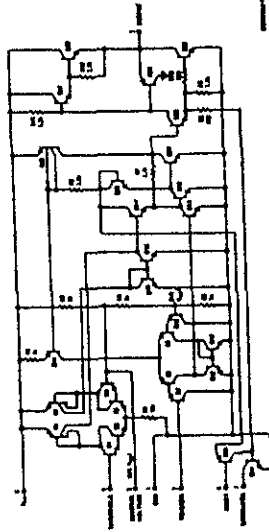
Features

- Operates from 1.5V to 18V
- Operates from microampere through 100mA supply currents
- Operates in both active and monostable modes
- Adjustable duty cycle
- Output can source or sink 200 mA
- Output and supply TTL compatible
- Temperature stability of  $\pm 0.01\%$  per  $^{\circ}\text{C}$
- Available in 8-pin MSOP package

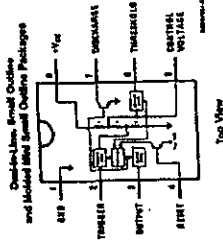
Applications

- Precision timing
- Pulse generation
- Squarewave timing
- Time delay generator
- Pulse width modulation
- Linear ramp generator

Schematic Diagram



Connection Diagram



Ordering Information

Package	Pin Number	Package Marking	Media Transport	NSC Drawing
8-Pin SOIC	LM555CN	LM555CN	Reel	MSA
8-Pin MSOP	LM555CN	Z55	2.5k Units Tape and Reel	MLA00A
8-Pin MSOP	LM555CN	Z55	1k Units Tape and Reel	MSA
8-Pin MSOP	LM555CN	Z55	2.5k Units Tape and Reel	MSA
8-Pin MSOP	LM555CN	Z55	1k Units Tape and Reel	MSA











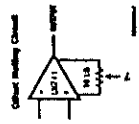
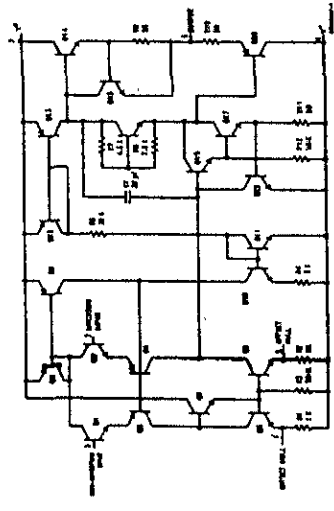
National Semiconductor

LM741

Operational Amplifier

**General Description**  
 The LM741 series are precision monolithic operational amplifiers which feature high performance and excellent stability over a wide temperature range. They are available in the 8-pin DIP, 8-pin SOIC, and 14-pin DIP packages. The amplifiers offer many features which make them suitable for a wide range of applications. They are available in the following package configurations: 8-pin DIP, 8-pin SOIC, and 14-pin DIP. They are also available in the 14-pin DIP package with a built-in test point.

Schematic Diagram



LM741 Operational Amplifier

**Absolute Maximum Ratings (Note 1)**  
 If multiple-stresses specified devices are required, please consult the National Semiconductor Sales Office or your distributor for reliability and applications.  
 (Note 4)

Parameter	LM741	LM741E	LM741A	LM741C
Supply Voltage	-3.2V to 3.2V	-5.0V to 5.0V	-5.0V to 5.0V	-5.0V to 5.0V
Power Dissipation (Note 2)	500 mW	500 mW	500 mW	500 mW
Differential Input Voltage	±15V	±15V	±15V	±15V
Input Voltage (Note 3)	Continuous	Continuous	Continuous	Continuous
Output Current (Note 3)	±50 mA	±50 mA	±50 mA	±50 mA
Short-Circuit Current	±50 mA	±50 mA	±50 mA	±50 mA
Storage Temperature Range	-55°C to +125°C	-55°C to +125°C	-55°C to +125°C	-55°C to +125°C
Operating Temperature Range	-45°C to +150°C	-45°C to +150°C	-45°C to +150°C	-45°C to +150°C
Temperature Range	150°C	100°C	100°C	100°C
Soldering Information	260°C	260°C	260°C	260°C
Wave Soldering (10 seconds)	300°C	300°C	300°C	300°C
Wave Soldering (30 seconds)	350°C	350°C	350°C	350°C
Wave Soldering (60 seconds)	310°C	310°C	310°C	310°C
Wave Soldering (15 seconds)	210°C	210°C	210°C	210°C
See AN-107 Surface Mounting Methods and Their Effect on Product Reliability for other methods of soldering surface mount devices.				
ESD Sensitivity (Note 7)	400V	400V	400V	400V

Electrical Characteristics (Note 4)

Parameter	LM741/LM741E			LM741A			LM741C		
	Min	Typ	Max	Min	Typ	Max	Min	Typ	Max
Input Offset Voltage	$V_A = 25^\circ\text{C}$			1.0	3.0	2.0	6.0		
	$R_{\text{eq}} \leq 10 \text{ k}\Omega$								
	$R_{\text{eq}} \leq 500 \Omega$	0.8	1.0						
Input Offset Current	$V_A = 25^\circ\text{C}$			4.0			7.5		
	$R_{\text{eq}} \leq 500 \Omega$								
	$R_{\text{eq}} \leq 10 \text{ k}\Omega$			15					
Input Offset Voltage Drift	$V_A = 25^\circ\text{C}$								
	$R_{\text{eq}} \leq 10 \text{ k}\Omega$								
	$R_{\text{eq}} \leq 500 \Omega$								
Adjustment Range	$V_A = 25^\circ\text{C}$			20	200	20	200		
	$R_{\text{eq}} \leq 10 \text{ k}\Omega$								
	$R_{\text{eq}} \leq 500 \Omega$								
Average Input Offset Current Drift	$V_A = 25^\circ\text{C}$			0.1			0.1		
	$R_{\text{eq}} \leq 10 \text{ k}\Omega$								
	$R_{\text{eq}} \leq 500 \Omega$								
Input Bias Current	$V_A = 25^\circ\text{C}$			50	500	50	500		
	$R_{\text{eq}} \leq 10 \text{ k}\Omega$								
	$R_{\text{eq}} \leq 500 \Omega$								
Input Resistance	$V_A = 25^\circ\text{C}$			1.0	8.0	0.1	2.0		
	$R_{\text{eq}} \leq 10 \text{ k}\Omega$								
	$R_{\text{eq}} \leq 500 \Omega$								
Input Voltage Range	$V_A = 25^\circ\text{C}$								
	$R_{\text{eq}} \leq 10 \text{ k}\Omega$								
	$R_{\text{eq}} \leq 500 \Omega$								

**Electrical Characteristics (See 4) (Continued)**

Parameter	LPT10A/10A1E		LPT21		LPT11C	
	Min	Typ	Min	Typ	Min	Typ
Logic Signal Voltage Gain	$V_1 = 25\text{ C, } V_2 = 2.7\text{ V}$	90				
	$V_1 = 2.5\text{ V, } V_2 = 2.5\text{ V}$		50	200	20	200
	$V_1 = 1.5\text{ V, } V_2 = 1.5\text{ V}$					
	$T_{amb} = 175^\circ\text{ C}$					
Output Voltage Swing	$V_1 = 2.5\text{ V, } V_2 = 2.5\text{ V}$				15	
	$V_1 = 1.5\text{ V, } V_2 = 1.5\text{ V}$					
	$V_1 = 2.5\text{ V, } V_2 = 2.5\text{ V}$	0.14				
	$V_1 = 1.5\text{ V, } V_2 = 1.5\text{ V}$	0.13				
Output Rise Time	$V_1 = 2.5\text{ C}$	10	23	36		
	$V_1 = 1.5\text{ C}$				112	114
	$V_1 = 1.5\text{ V, } V_2 = 1.5\text{ V}$				130	133
	$V_1 = 2.5\text{ V, } V_2 = 2.5\text{ V}$				28	28
Output Fall Time	$V_1 = 2.5\text{ C}$	10	23	36		
	$V_1 = 1.5\text{ C}$				112	114
	$V_1 = 1.5\text{ V, } V_2 = 1.5\text{ V}$				130	133
	$V_1 = 2.5\text{ V, } V_2 = 2.5\text{ V}$				28	28
Propagation Delay	$V_1 = 2.5\text{ C, } V_2 = 2.5\text{ V}$	10	36			
	$V_1 = 1.5\text{ C, } V_2 = 1.5\text{ V}$				70	70
	$V_1 = 1.5\text{ V, } V_2 = 1.5\text{ V}$				80	80
	$V_1 = 2.5\text{ V, } V_2 = 2.5\text{ V}$				36	36
Rise/Fall Propagation Rate	$V_1 = 2.5\text{ C, } V_2 = 2.5\text{ V}$	10	36			
	$V_1 = 1.5\text{ C, } V_2 = 1.5\text{ V}$				70	70
	$V_1 = 1.5\text{ V, } V_2 = 1.5\text{ V}$				80	80
	$V_1 = 2.5\text{ V, } V_2 = 2.5\text{ V}$				36	36
Temperature Ranges	Storage				77	80
	Operating				6.3	6.3
	Extended				1	1
	Maximum				8.8	8.8
Supply Current	$V_1 = 2.5\text{ C}$	0.67	1.1			
	$V_1 = 2.5\text{ C, } V_2 = 2.5\text{ V}$	0.3	0.7	2.0	1.7	2.8
	$V_1 = 2.5\text{ C}$				1.0	1.0
	$V_1 = 2.5\text{ C, } V_2 = 2.5\text{ V}$				1.0	1.0
Power Consumption	$V_1 = 2.5\text{ C}$	1.0	1.0			
	$V_1 = 2.5\text{ C, } V_2 = 2.5\text{ V}$	1.0	1.0			
	$V_1 = 2.5\text{ C}$				0.9	0.9
	$V_1 = 2.5\text{ C, } V_2 = 2.5\text{ V}$				0.9	0.9

Note 4: Maximum absolute maximum ratings. Exceeding any one of these limits may cause permanent damage to the device and may affect its reliability. Operating at any of these limits may affect device reliability.

**Electrical Characteristics (See 4) (Continued)**

Note 4: Maximum absolute maximum ratings. Exceeding any one of these limits may cause permanent damage to the device and may affect its reliability. Operating at any of these limits may affect device reliability.

Parameter	Symbol	Unit	Min	Typ	Max
Supply Current	$I_{CC}$	mA	0.67	1.1	
Supply Current	$I_{CC1}$	mA	0.3	0.7	2.0
Supply Current	$I_{CC2}$	mA	1.0	1.0	
Supply Current	$I_{CC3}$	mA	1.0	1.0	
Power Consumption	$P_{CC}$	mW	1.0	1.0	
Power Consumption	$P_{CC1}$	mW	1.0	1.0	
Power Consumption	$P_{CC2}$	mW	0.9	0.9	
Power Consumption	$P_{CC3}$	mW	0.9	0.9	

**Connection Diagram**

**Generic Over-the-Line Package**

**Generic Flipchip**

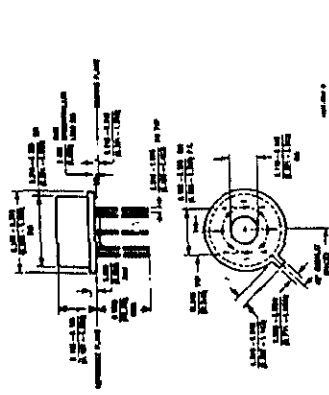
**Other Member PART NUMBER**

See 88 Package Number 214A

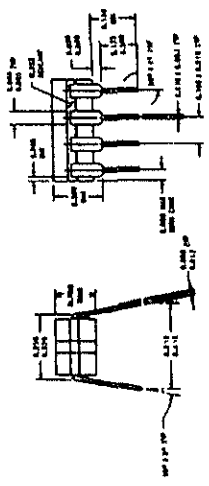
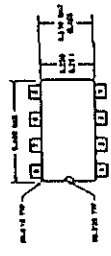
ESTA TESIS NO SALE  
DE LA BIBLIOTECA

Apéndice D.

Physical Dimensions shown (millimeters) unless otherwise noted.



Model Code Package (M)  
 Order Number: L0770000, L0771000, L0772000 or L0773000  
 or Package Number 1000.



Order Number: L0770000, L0771000, L0772000 or L0773000  
 or Package Number 1000.









MOTOROLA

### Quad Low Power Operational Amplifiers

The LM224 series are low-cost, quad operational amplifiers with the standard LM224 pin connections. They have many of the same characteristics as operational amplifiers used in single supply applications. The quad amplifier can operate at single supply operation as low as 3.0 V or as high as 32 V with a common emitter load. The common emitter load is associated with the LM224 (on a single supply load). The common emitter load includes the negative supply pin which allows the flexibility to internal biasing. The negative supply pin allows the flexibility to internal biasing. The negative supply pin allows the flexibility to internal biasing. The negative supply pin allows the flexibility to internal biasing.

- Short Circuit Protected Output
- True Differential Input Stage
- Single Supply Operation: 3.0 V to 32 V
- Low Input Bias Current: 500 pA maximum (LM224)
- Four Amplifiers Per Package
- Internally Compensated
- Common Mode Range Extends to Negative Supply
- Industry Standard Pinouts
- 850 Ohm on the Inputs Increase Impedance without Affecting Output Operation

Order this document by LM224D  
**LM324, LM324A,  
LM224, LM224,  
LM2902V**

### QUAD DIFFERENTIAL INPUT OPERATIONAL AMPLIFIERS TECHNICAL DATA

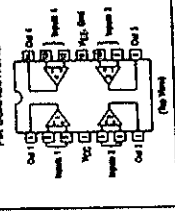


8-BUFFER, QUAD PULL-UP, QUAD COMMON MODE  
LM224 (LM224A, LM224B)



8-BUFFER, QUAD PULL-UP, QUAD COMMON MODE  
LM2902V (LM2902A, LM2902B)

### THE CONNECTIONS



### ORDERING INFORMATION

Device	Ordering	Package
LM224	LM224	SO-14
LM224A	LM224A	SO-14
LM224B	LM224B	SO-14
LM2902V	LM2902V	SO-14
LM2902A	LM2902A	SO-14
LM2902B	LM2902B	SO-14

MAXIMUM RATINGS (TA = +25°C, unless otherwise noted)		LM224, LM224A, LM224B	LM2902V
Supply Voltage	VCC	32	32
Power Supply Voltage Range	VCC - VEE	32V	32V
Input Voltage	VIN	32	32
Output Voltage	VOUT	-0.3 to 32	-0.3 to 28
Common Mode Voltage Range	VCM	-0.3 to 32	-0.3 to 28
Operating Temperature	Tj	-40 to +150	-40 to +150
Storage Temperature	Tstg	-65 to +175	-65 to +175
Operating Ambient Temperature Range	TA	-40 to +125	-40 to +125

LM324, LM324A, LM224, LM224, LM2902, LM2902V

### ELECTRICAL CHARACTERISTICS VCC = 5.0V, VEE = 0V, TA = +25°C, unless otherwise noted.

Characteristic	LM324		LM324A		LM224		LM224A		LM2902		LM2902V	
	Min	Typ	Min	Typ	Min	Typ	Min	Typ	Min	Typ	Min	Typ
Input Offset Voltage	0	1.5	0	1.5	0	1.5	0	1.5	0	1.5	0	1.5
Input Offset Current	0	10	0	10	0	10	0	10	0	10	0	10
Input Bias Current	0	100	0	100	0	100	0	100	0	100	0	100
Input Resistance	100k	100k	100k	100k	100k	100k	100k	100k	100k	100k	100k	100k
Common Mode Rejection Ratio	60	80	60	80	60	80	60	80	60	80	60	80
Differential Mode Rejection Ratio	60	80	60	80	60	80	60	80	60	80	60	80
Open Loop Gain	100	100	100	100	100	100	100	100	100	100	100	100
Output Resistance	100	100	100	100	100	100	100	100	100	100	100	100
Power Supply Rejection	100	100	100	100	100	100	100	100	100	100	100	100
Common Mode Input Range	-0.3 to 32	-0.3 to 32	-0.3 to 32	-0.3 to 32	-0.3 to 32	-0.3 to 32	-0.3 to 32	-0.3 to 32	-0.3 to 28	-0.3 to 28	-0.3 to 28	-0.3 to 28
Differential Input Range	-0.3 to 32	-0.3 to 32	-0.3 to 32	-0.3 to 32	-0.3 to 32	-0.3 to 32	-0.3 to 32	-0.3 to 32	-0.3 to 28	-0.3 to 28	-0.3 to 28	-0.3 to 28
Output Voltage Swing	0 to 32	0 to 32	0 to 32	0 to 32	0 to 32	0 to 32	0 to 32	0 to 32	0 to 28	0 to 28	0 to 28	0 to 28
Output Current	10	10	10	10	10	10	10	10	10	10	10	10
Short Circuit Current	10	10	10	10	10	10	10	10	10	10	10	10
Operating Temperature Range	-40 to +125	-40 to +125	-40 to +125	-40 to +125	-40 to +125	-40 to +125	-40 to +125	-40 to +125	-40 to +125	-40 to +125	-40 to +125	-40 to +125

1. TA = +25°C for LM224, LM224A, LM224B, LM2902V, LM2902A, LM2902B.  
 2. This is the maximum output current available for the output stage of the device. The output current must not be allowed to go negative by more than 0.5V. The output will be in the linear region if the output current is less than 0.5V. The output will be in the linear region if the output current is less than 0.5V. The output will be in the linear region if the output current is less than 0.5V.

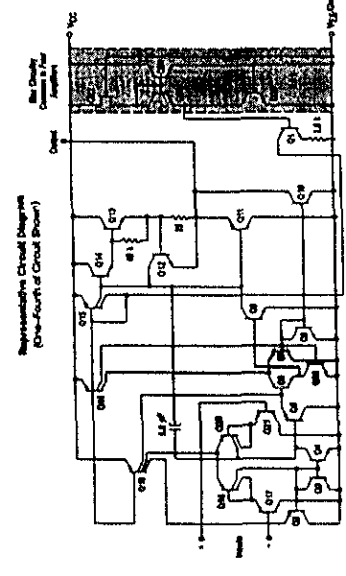
Apéndice D.

LM224, LM224A, LM224, LM2902, LM2902V

ELECTRICAL CHARACTERISTICS (V<sub>CC</sub> = 15 V, I<sub>CC</sub> = 1 mA, V<sub>CE</sub> = 5 V, unless otherwise noted)

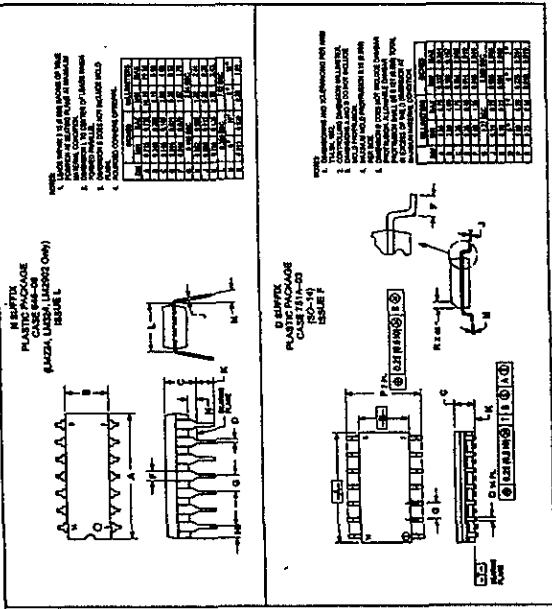
Characteristics	LM224		LM224A		LM2902		LM2902V	
	Min	Max	Min	Max	Min	Max	Min	Max
Output Voltage, V <sub>OC</sub>	14.5	15.5	14.5	15.5	14.5	15.5	14.5	15.5
Output Current, I <sub>OC</sub>	0	10	0	10	0	10	0	10
Output Resistance, R <sub>OC</sub>	0	10	0	10	0	10	0	10
Output Voltage, V <sub>OC</sub>	14.5	15.5	14.5	15.5	14.5	15.5	14.5	15.5
Output Current, I <sub>OC</sub>	0	10	0	10	0	10	0	10
Output Resistance, R <sub>OC</sub>	0	10	0	10	0	10	0	10
Output Voltage, V <sub>OC</sub>	14.5	15.5	14.5	15.5	14.5	15.5	14.5	15.5
Output Current, I <sub>OC</sub>	0	10	0	10	0	10	0	10
Output Resistance, R <sub>OC</sub>	0	10	0	10	0	10	0	10

Typical values are shown in parentheses.   
 1. The output voltage is measured with the output open circuit.   
 2. The output current is measured with the output shorted to ground.   
 3. The output resistance is measured with the output open circuit.   
 4. The output resistance is measured with the output shorted to ground.   
 5. The output resistance is measured with the output open circuit.   
 6. The output resistance is measured with the output shorted to ground.   
 7. The output resistance is measured with the output open circuit.   
 8. The output resistance is measured with the output shorted to ground.   
 9. The output resistance is measured with the output open circuit.   
 10. The output resistance is measured with the output shorted to ground.



LM224, LM224A, LM224, LM2902, LM2902V

OUTLINE DIMENSIONS



1. DIMENSIONS ARE GIVEN IN MILLIMETERS UNLESS OTHERWISE SPECIFIED.   
 2. DIMENSIONS ARE GIVEN IN INCHES UNLESS OTHERWISE SPECIFIED.   
 3. DIMENSIONS ARE GIVEN IN MILLIMETERS UNLESS OTHERWISE SPECIFIED.   
 4. DIMENSIONS ARE GIVEN IN INCHES UNLESS OTHERWISE SPECIFIED.   
 5. DIMENSIONS ARE GIVEN IN MILLIMETERS UNLESS OTHERWISE SPECIFIED.   
 6. DIMENSIONS ARE GIVEN IN INCHES UNLESS OTHERWISE SPECIFIED.   
 7. DIMENSIONS ARE GIVEN IN MILLIMETERS UNLESS OTHERWISE SPECIFIED.   
 8. DIMENSIONS ARE GIVEN IN INCHES UNLESS OTHERWISE SPECIFIED.   
 9. DIMENSIONS ARE GIVEN IN MILLIMETERS UNLESS OTHERWISE SPECIFIED.   
 10. DIMENSIONS ARE GIVEN IN INCHES UNLESS OTHERWISE SPECIFIED.

Motorola Semiconductor Products, Inc.   
 Motorola Building 6300 North   
 Chicago, Illinois 60646   
 Motorola Building 6300 North   
 Chicago, Illinois 60646   
 Motorola Building 6300 North   
 Chicago, Illinois 60646

---

---

## *Bibliografía*

---

---

***Bibliografía.***

- ♦ *User guide for the Magellan OEM GPS Module.*  
Magellan Systems Corporation  
USA 1992
  
- ♦ *GPS satellite surveying.*  
Leick, Alfred.  
Ed. Wiley.  
Nueva York 1995.
  
- ♦ *Manual técnico de giróscopo*  
URSS, Abril 1978
  
- ♦ *Manual de referencia MCU MC68HC11E1*  
México 1997
  
- ♦ *Microcontroller technology the 68HC11.*  
Spasov, Peter.  
Ed. Prentice-Hall.  
Nueva Jersey 1996.
  
- ♦ *Automatic Flight Control.*  
Pallett E.H.J.  
Ed. BPS Professional Books  
Gran Bretaña 1989

## Bibliografía

---

- ✦ Los sistemas eléctricos en aviación.  
Pallett E.H.J.  
Ed. Paraninfo.  
Madrid 1979.
  
- ✦ Avionic systems.  
Middlenton D. H.  
Ed. Longman Scientific & Technical.  
Gran Bretaña 1989.
  
- ✦ El libro de las comunicaciones del PC.  
José A. Carballar.  
Ed. Alfa-Omega  
México 1998.
  
- ✦ C Manual de referencia.  
Schildt, Herbert.  
Ed. Osborne McGraw Hill.  
Madrid 1990.
  
- ✦ Programming in c whit numerical methods for engineers.  
Riojani K. B  
USA 1996
  
- ✦ <http://www.mot-sps.com> (Motorola Semiconductors).
  
- ✦ <http://www.analogdevices.com>
  
- ✦ <http://www.national.com>